

บทที่ 4

ผลการทดลอง

ตารางที่ 1 ผลทดสอบความต้านแรงดึงที่จุดขาด PVC 100 ส่วน

ปริมาณรังสี ดูดกลืน (kGy)	ค่ามัธยฐานความต้านแรงดึง (เมกะพาสคัล)					
	สภาวะปกติ		สูญญากาศ		ก๊าซเฉื่อยไนโตรเจน	
	ก่อนเร่งอายุ	หลังเร่งอายุ	ก่อนเร่งอายุ	หลังเร่งอายุ	ก่อนเร่งอายุ	หลังเร่งอายุ
0	19.06	18.90	19.06	18.90	19.06	18.90
25	19.02	18.79	20.24	18.61	17.94	16.67
50	11.06	16.57	19.91	18.47	18.29	17.39
75	15.37	16.16	18.96	18.40	20.06	17.39
100	15.28	16.04	18.72	19.12	18.58	17.64
150	12.47	11.26	19.17	20.12	17.40	18.75
200	10.13	10.54	19.84	19.32		

ตารางที่ 2 ผลทดสอบความต้านแรงดึงที่จุดขาด PVC 100 ส่วน + DOP 5 ส่วน

ปริมาณรังสี ดูดกลืน (kGy)	ค่ามัธยฐานความต้านแรงดึง (เมกะพาสคัล)					
	สภาวะปกติ		สูญญากาศ		ก๊าซเฉื่อยไนโตรเจน	
	ก่อนเร่งอายุ	หลังเร่งอายุ	ก่อนเร่งอายุ	หลังเร่งอายุ	ก่อนเร่งอายุ	หลังเร่งอายุ
0	18.60	18.08	18.60	18.08	18.60	18.08
25	18.08	17.84	19.26	18.30	18.47	15.63
50	15.92	13.91	20.64	18.75	17.18	16.65
75	14.17	13.88	18.85	18.07	18.16	16.60
100	14.12	15.75	18.42	18.28	17.34	17.08
150	9.84	9.06	19.29	19.48	17.25	17.35
200	7.84	7.48	19.50	18.46		

ตารางที่ 3 ผลทดสอบความต้านแรงดึงที่จุดขาด PVC 100 ส่วน + DOP 10 ส่วน

ปริมาณรังสี ดูดกลืน (kGy)	ค่ามัธยฐานความต้านแรงดึง (เมกะพาสคัล)					
	สภาวะปกติ		สุญญากาศ		ก๊าซเฉื่อยไนโตรเจน	
	ก่อนเร่งอายุ	หลังเร่งอายุ	ก่อนเร่งอายุ	หลังเร่งอายุ	ก่อนเร่งอายุ	หลังเร่งอายุ
0	18.75	18.08	18.75	18.08	18.75	18.08
25	19.68	17.33	18.10	16.37	15.53	10.21
50	16.27	12.57	18.16	16.28	15.45	14.74
75	12.25	11.69	18.57	18.18	17.29	15.56
100	12.68	14.96	17.52	14.86	15.72	16.13
150	10.14	9.74	18.49	18.25	15.37	16.09
200	7.62	7.57	17.95	18.64		

ตารางที่ 4 ผลทดสอบความต้านแรงดึงที่จุดขาด PVC 100 ส่วน + DOP 15 ส่วน

ปริมาณรังสี ดูดกลืน (kGy)	ค่ามัธยฐานความต้านแรงดึง (เมกะพาสคัล)					
	สภาวะปกติ		สุญญากาศ		ก๊าซเฉื่อยไนโตรเจน	
	ก่อนเร่งอายุ	หลังเร่งอายุ	ก่อนเร่งอายุ	หลังเร่งอายุ	ก่อนเร่งอายุ	หลังเร่งอายุ
0	18.90	18.75	18.90	18.75	18.90	18.75
25	18.47	14.87	17.24	14.93	16.31	21.30
50	14.76	11.37	18.52	16.21	15.41	14.59
75	13.23	16.05	23.57	21.17	14.78	15.06
100	12.19	15.74	17.40	16.61	16.52	15.21
150	9.06	7.70	18.22	18.42	15.66	15.33
200	7.30	7.47	18.02	18.31		

ตารางที่ 5 ผลทดสอบความต้านแรงดึงที่จุดขาด PVC 100 ส่วน + EG 5 ส่วน

ปริมาณรังสี ดูดกลืน (kGy)	ค่ามัธยฐานความต้านแรงดึง (เมกะพาสคัล)					
	สภาวะปกติ		สุญญากาศ		ก๊าซเฉื่อยไนโตรเจน	
	ก่อนเร่งอายุ	หลังเร่งอายุ	ก่อนเร่งอายุ	หลังเร่งอายุ	ก่อนเร่งอายุ	หลังเร่งอายุ
0	20.11	19.78	20.11	19.78	20.11	19.78
25	19.83	19.54	21.50	20.43	18.99	17.93
50	25.34	17.51	18.38	13.20	17.60	17.23
75	18.13	15.86	22.19	19.78	19.07	17.95
100	15.03	14.79	22.15	21.20	19.11	18.02
150	12.57	11.69	21.35	22.00	18.61	18.64
200	10.34	10.54	21.16	19.80		

ตารางที่ 6 ผลทดสอบความต้านแรงดึงที่จุดขาด PVC 100 ส่วน + EG 10 ส่วน

ปริมาณรังสี ดูดกลืน (kGy)	ค่ามัธยฐานความต้านแรงดึง (เมกะพาสคัล)					
	สภาวะปกติ		สุญญากาศ		ก๊าซเฉื่อยไนโตรเจน	
	ก่อนเร่งอายุ	หลังเร่งอายุ	ก่อนเร่งอายุ	หลังเร่งอายุ	ก่อนเร่งอายุ	หลังเร่งอายุ
0	18.88	18.46	18.88	18.46	18.88	18.46
25	18.30	18.46	20.90	20.34	18.30	17.12
50	12.46	17.30	20.19	19.78	17.52	17.98
75	17.27	16.03	21.53	19.26	18.30	17.07
100	15.26	16.68	19.57	17.08	19.02	18.02
150	12.86	12.05	20.24	18.54	19.76	18.54
200	9.70	9.66	18.42	20.28		

ตารางที่ 7 ผลทดสอบความต้านแรงดึงที่จุดขาด PVC 100 ส่วน + EG 15 ส่วน

ปริมาณรังสี ดูดกลืน (kGy)	ค่ามัธยฐานความต้านแรงดึง (เมกะพาสคัล)					
	สภาวะปกติ		สุญญากาศ		ก๊าซเฉื่อยไนโตรเจน	
	ก่อนเร่งอายุ	หลังเร่งอายุ	ก่อนเร่งอายุ	หลังเร่งอายุ	ก่อนเร่งอายุ	หลังเร่งอายุ
0	18.50	18.34	18.50	18.34	18.50	18.34
25	15.68	14.39	11.65	11.26	20.79	18.65
50	18.34	16.65	22.74	19.98	13.83	18.44
75	16.07	16.70	16.25	16.41	19.81	15.76
100	14.38	11.35	19.09	17.77	19.26	17.29
150	10.96	11.92	21.25	20.76	17.46	17.43
200	10.08	4.89	18.05	17.56		

ตารางที่ 8 ผลทดสอบความต้านแรงดึงที่จุดขาด PVC 100 ส่วน + DOP 5 ส่วน + EG 5 ส่วน

ปริมาณรังสี ดูดกลืน (kGy)	ค่ามัธยฐานความต้านแรงดึง (เมกะพาสคัล)					
	สภาวะปกติ		สุญญากาศ		ก๊าซเฉื่อยไนโตรเจน	
	ก่อนเร่งอายุ	หลังเร่งอายุ	ก่อนเร่งอายุ	หลังเร่งอายุ	ก่อนเร่งอายุ	หลังเร่งอายุ
0	17.91	16.77	17.91	16.77	17.91	16.77
25	19.52	17.30	17.94	16.30	18.31	16.73
50	15.92	15.06	18.67	16.77	15.17	10.21
75	14.82	12.02	20.27	18.32	9.52	16.10
100	12.59	12.69	16.83	17.89	17.10	16.24
150	10.31	6.92	19.28	17.11	15.94	16.05
200	7.34	7.76	19.14	18.74		

ตารางที่ 9 ผลทดสอบความต้านแรงดึงที่จุดขาด PVC 100 ส่วน + DOP 5 ส่วน + EG 10 ส่วน

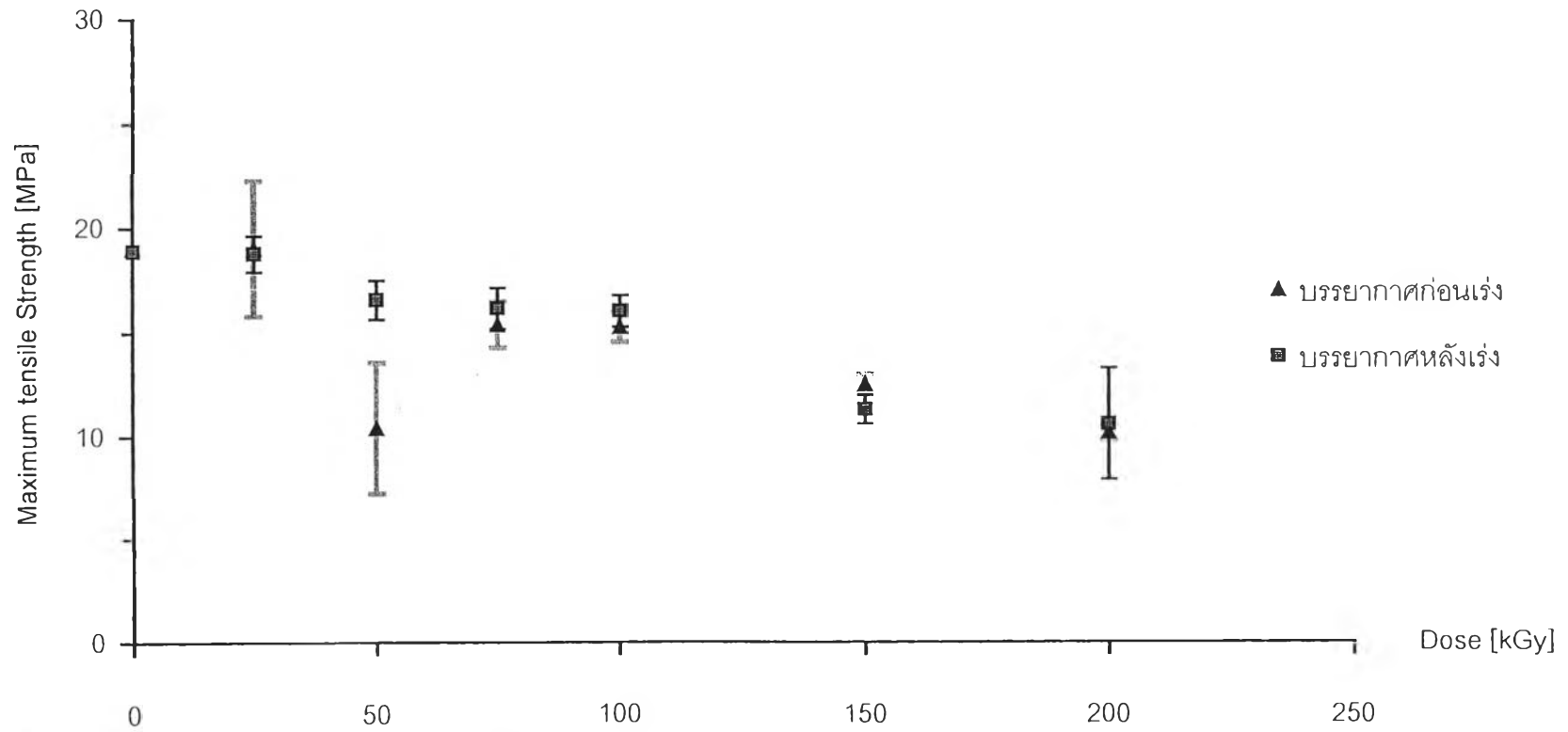
ปริมาณรังสี ดูดกลืน (kGy)	ค่ามัธยฐานความต้านแรงดึง (เมกะพาสคัล)					
	สภาวะปกติ		สูญญากาศ		ก๊าซเฉื่อยไนโตรเจน	
	ก่อนเร่งอายุ	หลังเร่งอายุ	ก่อนเร่งอายุ	หลังเร่งอายุ	ก่อนเร่งอายุ	หลังเร่งอายุ
0	18.83	17.48	18.83	17.48	18.83	17.48
25	17.12	17.64	19.21	16.00	17.15	16.37
50	16.37	15.74	18.96	16.88	17.48	16.44
75	15.74	14.93	18.23	17.21	17.09	16.97
100	13.44	12.31	17.68	18.56	16.98	17.73
150	10.12	9.32	19.26	19.17	16.36	16.80
200	8.53	8.57	14.72	15.53		

ตารางที่ 10 ผลทดสอบความต้านแรงดึงที่จุดขาด PVC 100 ส่วน + DOP 10 ส่วน + EG 5 ส่วน

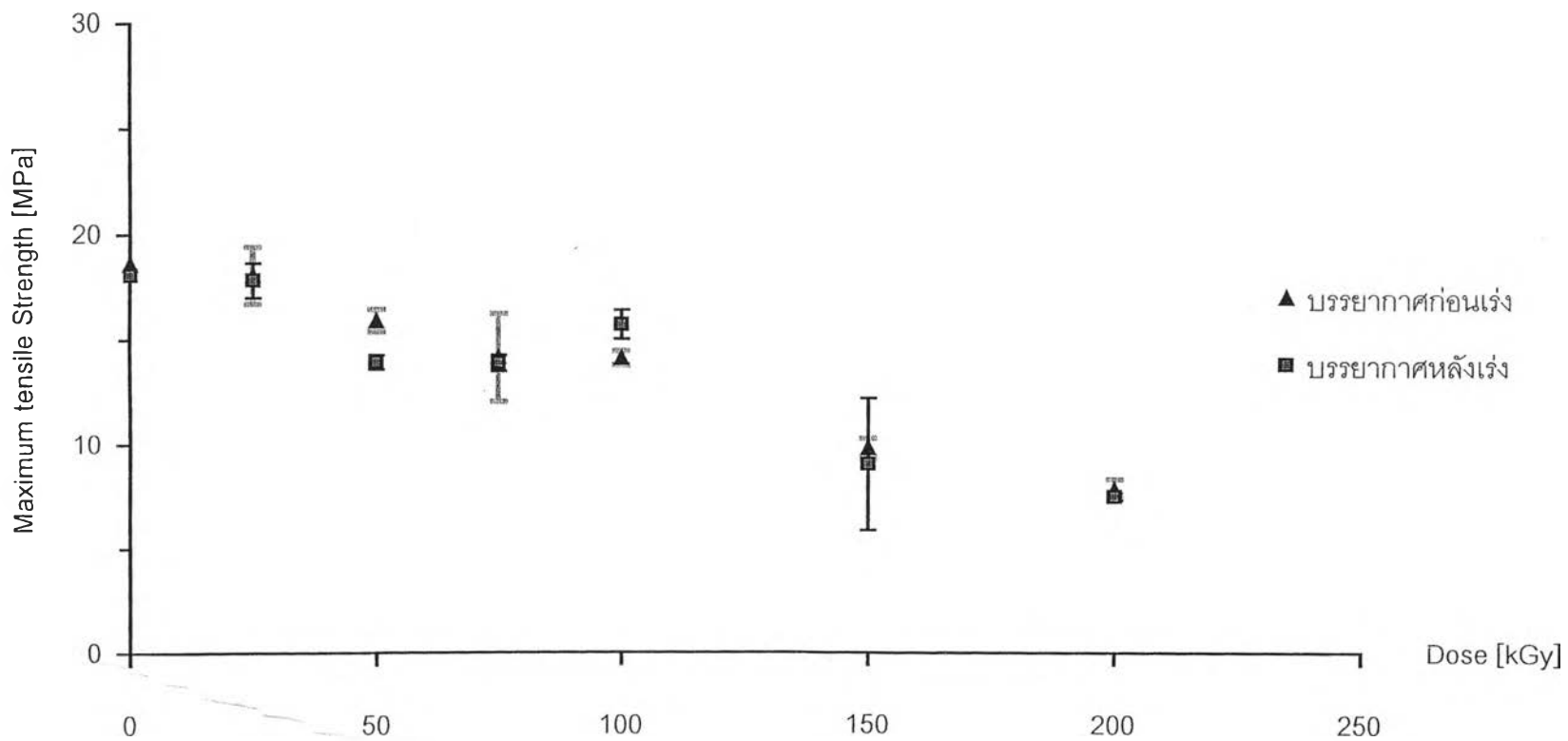
ปริมาณรังสี ดูดกลืน (kGy)	ค่ามัธยฐานความต้านแรงดึง (เมกะพาสคัล)					
	สภาวะปกติ		สูญญากาศ		ก๊าซเฉื่อยไนโตรเจน	
	ก่อนเร่งอายุ	หลังเร่งอายุ	ก่อนเร่งอายุ	หลังเร่งอายุ	ก่อนเร่งอายุ	หลังเร่งอายุ
0	18.10	16.37	18.10	16.37	18.10	16.37
25	17.37	15.28	18.02	15.28	17.94	16.56
50	13.11	14.44	17.18	16.68	17.31	16.90
75	13.70	13.38	17.77	17.62	17.37	16.13
100	13.08	11.84	18.03	17.38	15.44	12.52
150	11.68	10.77	18.10	17.77	16.37	16.82
200	8.35	7.93	13.18	16.70		

ตารางที่ 11 ผลทดสอบความต้านแรงดึงที่จุดขาด PVC 100 ส่วน + DOP 10 ส่วน + EG 10 ส่วน

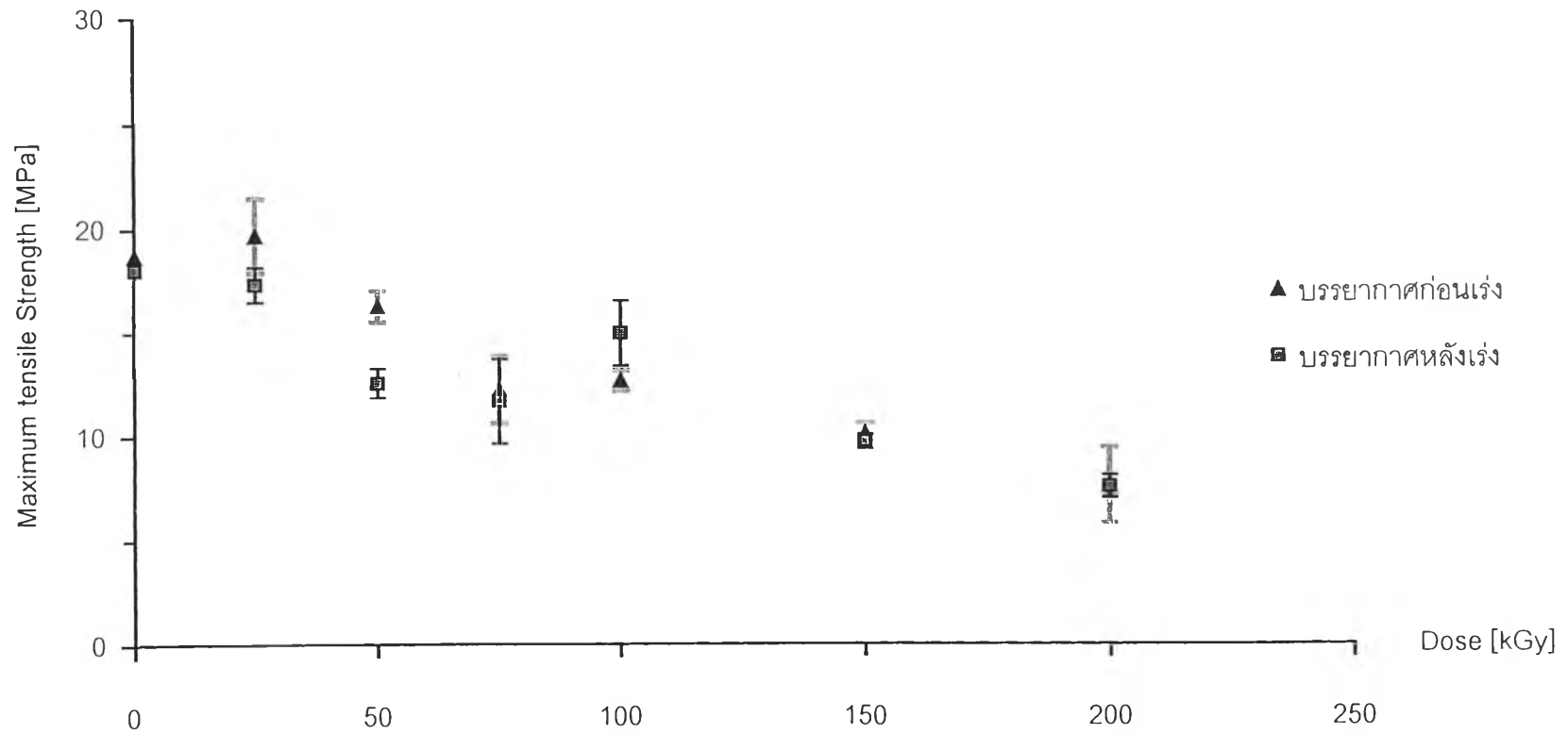
ปริมาณรังสี ดูดกลืน (kGy)	ค่ามัธยฐานความต้านแรงดึง (เมกะพาสคัล)					
	สภาวะปกติ		สุญญากาศ		ก๊าซเฉื่อยไนโตรเจน	
	ก่อนเร่งอายุ	หลังเร่งอายุ	ก่อนเร่งอายุ	หลังเร่งอายุ	ก่อนเร่งอายุ	หลังเร่งอายุ
0	16.10	15.26	16.10	15.26	16.10	15.26
25	17.17	14.59	16.64	14.84	13.38	14.36
50	16.43	9.03	15.93	14.07	16.45	14.11
75	12.91	12.38	17.75	15.23	14.60	14.67
100	11.36	10.36	9.90	9.01	16.29	14.09
150	9.71	8.97	17.46	17.62	15.20	15.51
200	7.14	7.10	16.21	17.03		



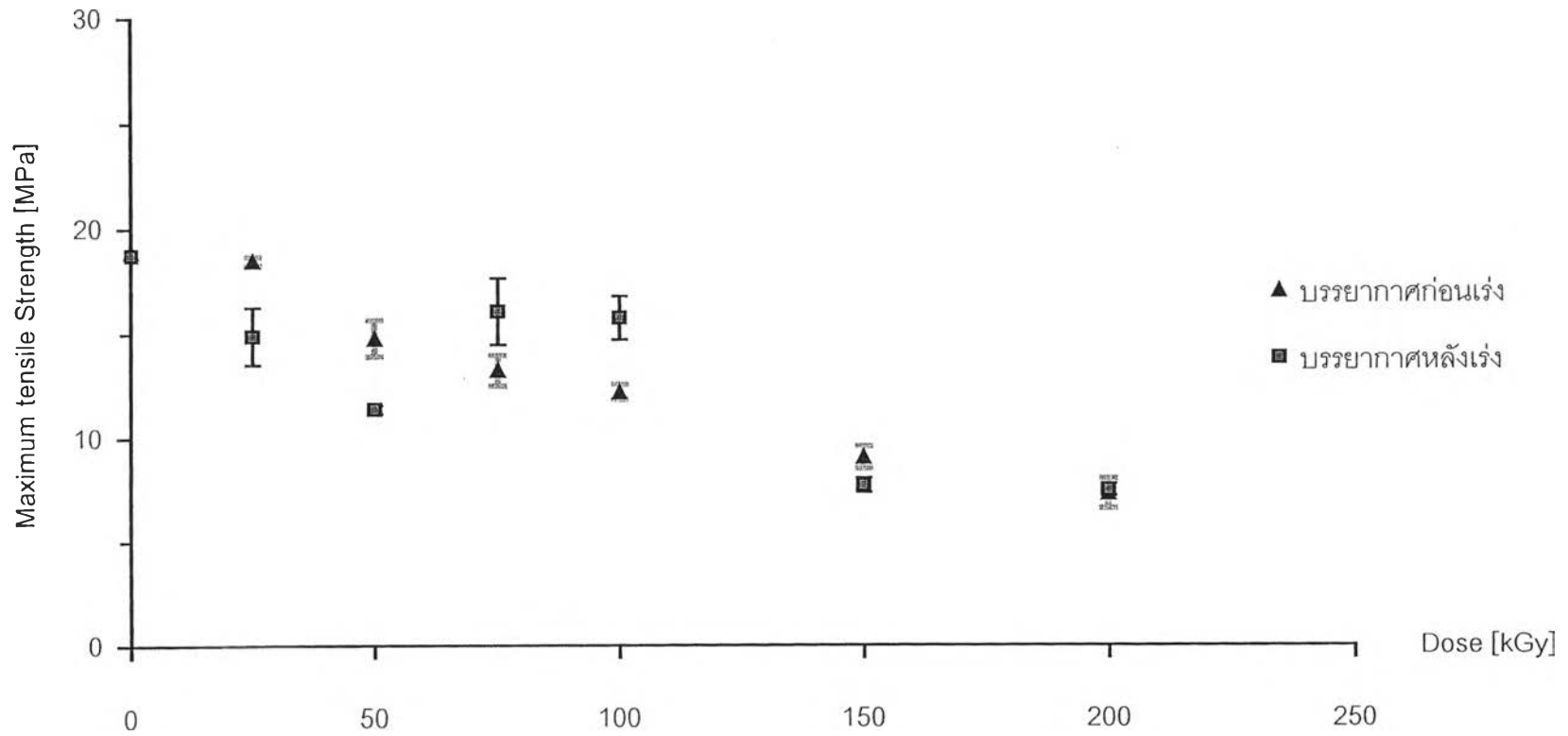
รูปที่ 4.1 กราฟผลทดสอบความต้านแรงดึงที่จุดขาดชิ้นงานพีวีซี 100 ส่วน ฉายรังสีภายใต้สภาวะบรรยากาศ



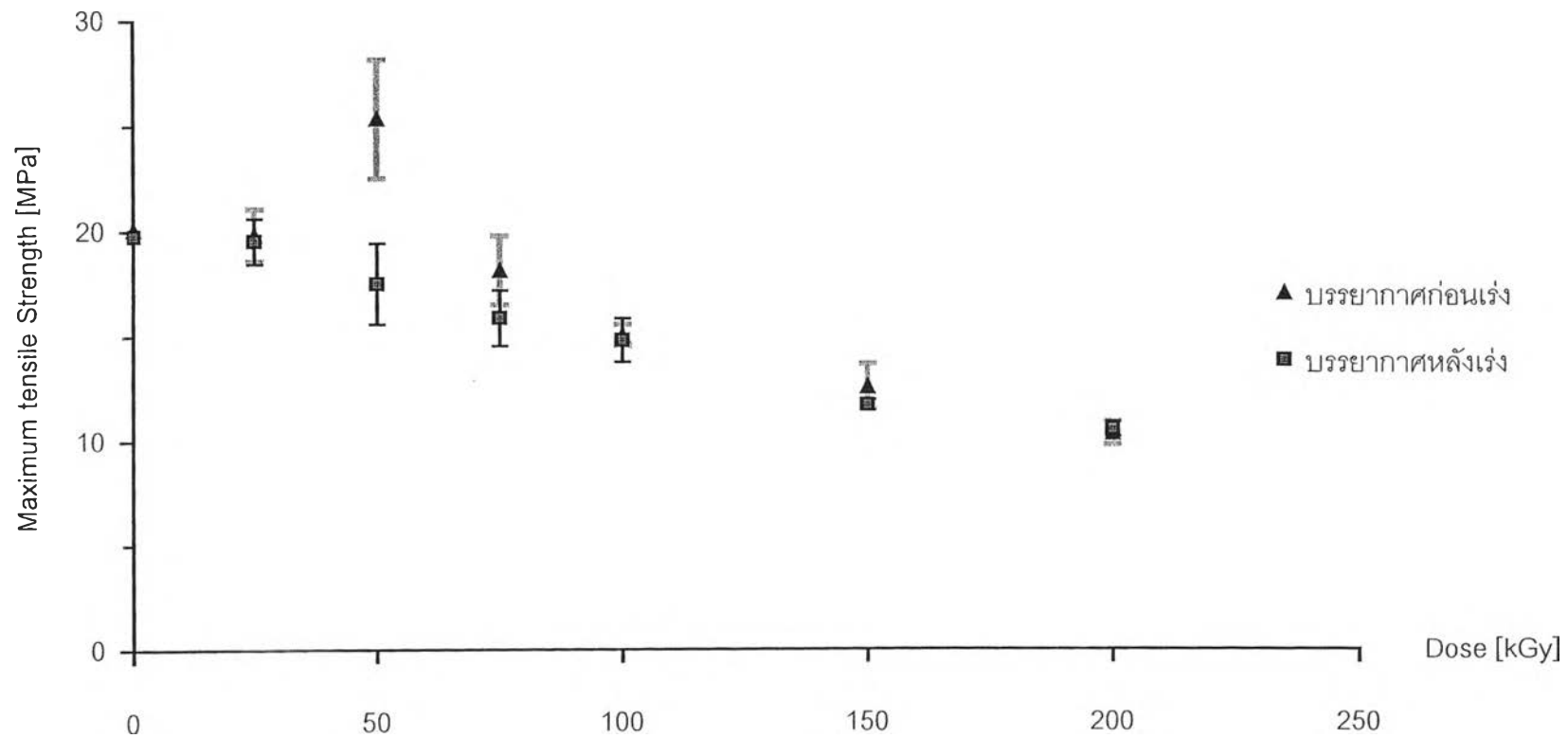
รูปที่ 4.2 กราฟผลทดสอบความต้านแรงดึงที่จุดขาดชิ้นงานพีวีซี 100 ส่วน + DOP 5 ส่วน ฉายรังสีภายใต้สภาวะบรรยากาศ



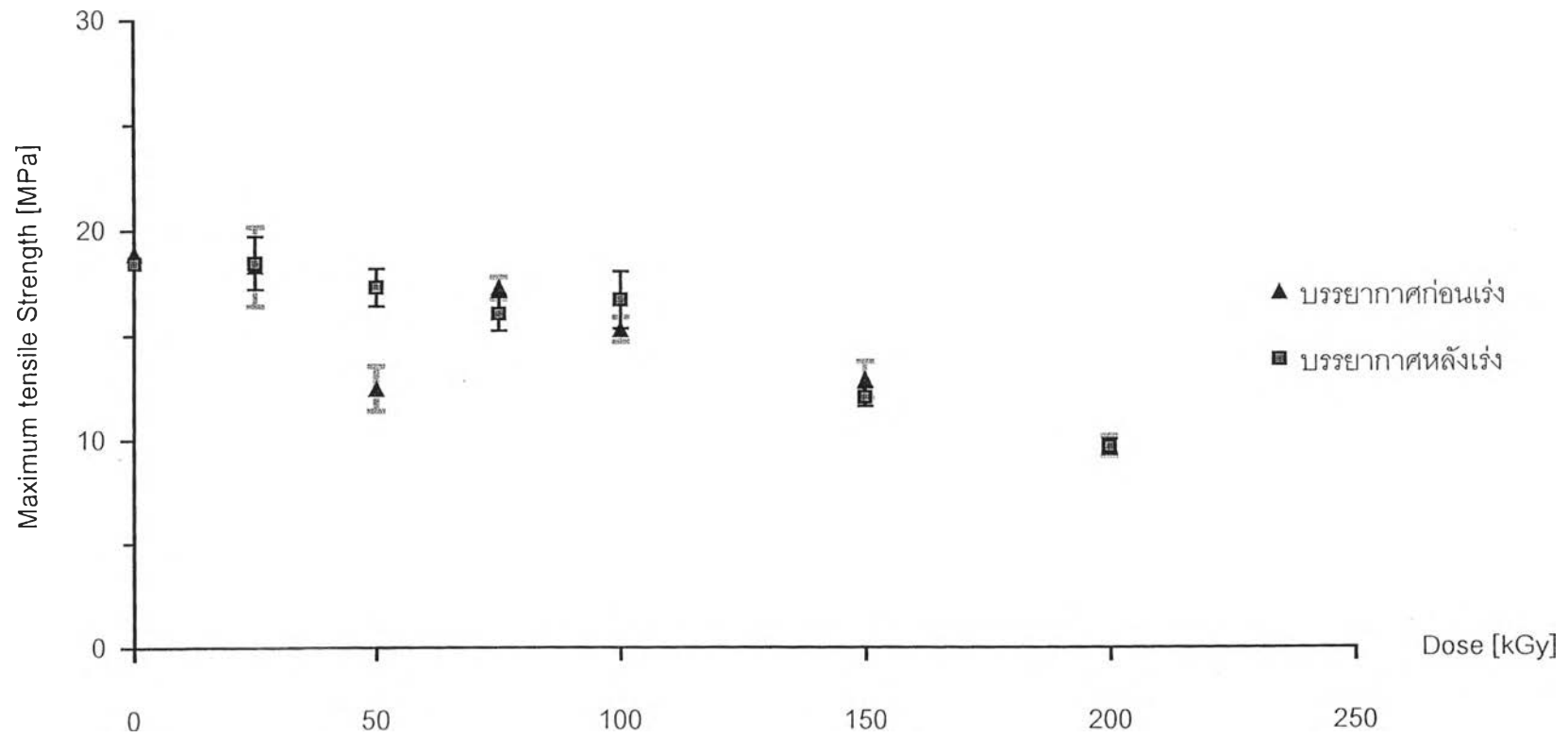
รูปที่ 4.3 กราฟผลทดสอบความต้านแรงดึงที่จุดขาดชิ้นงานพีวีซีที่ 100 ส่วน + DOP 10 ส่วน ฉายรังสีภายใต้สภาวะบรรยากาศ



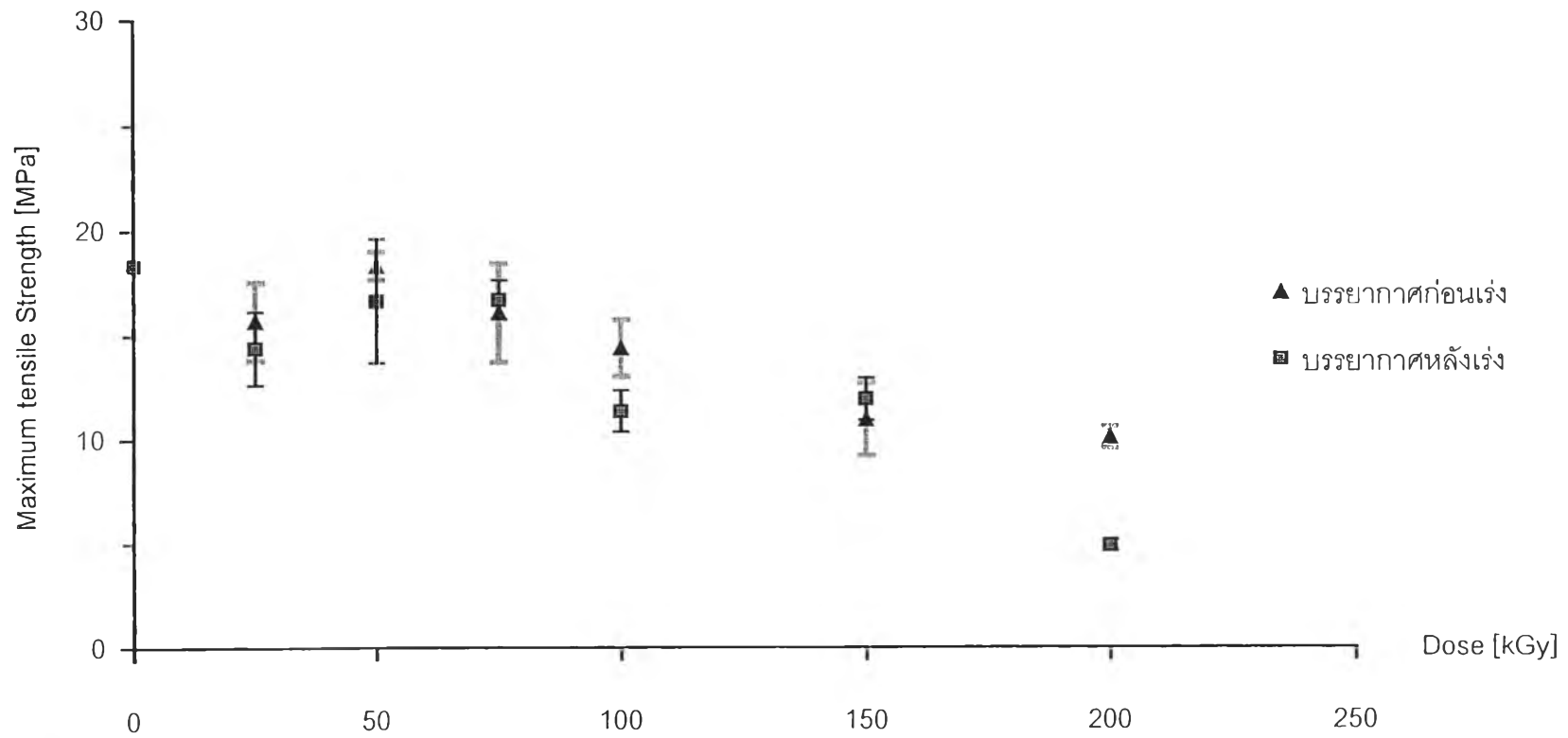
รูปที่ 4.4 กราฟผลทดสอบความต้านแรงดึงที่จุดขาดชิ้นงานพีวีซีที่ 100 ส่วน + DOP 15 ส่วน ฉายรังสีภายใต้สภาวะบรรยากาศ



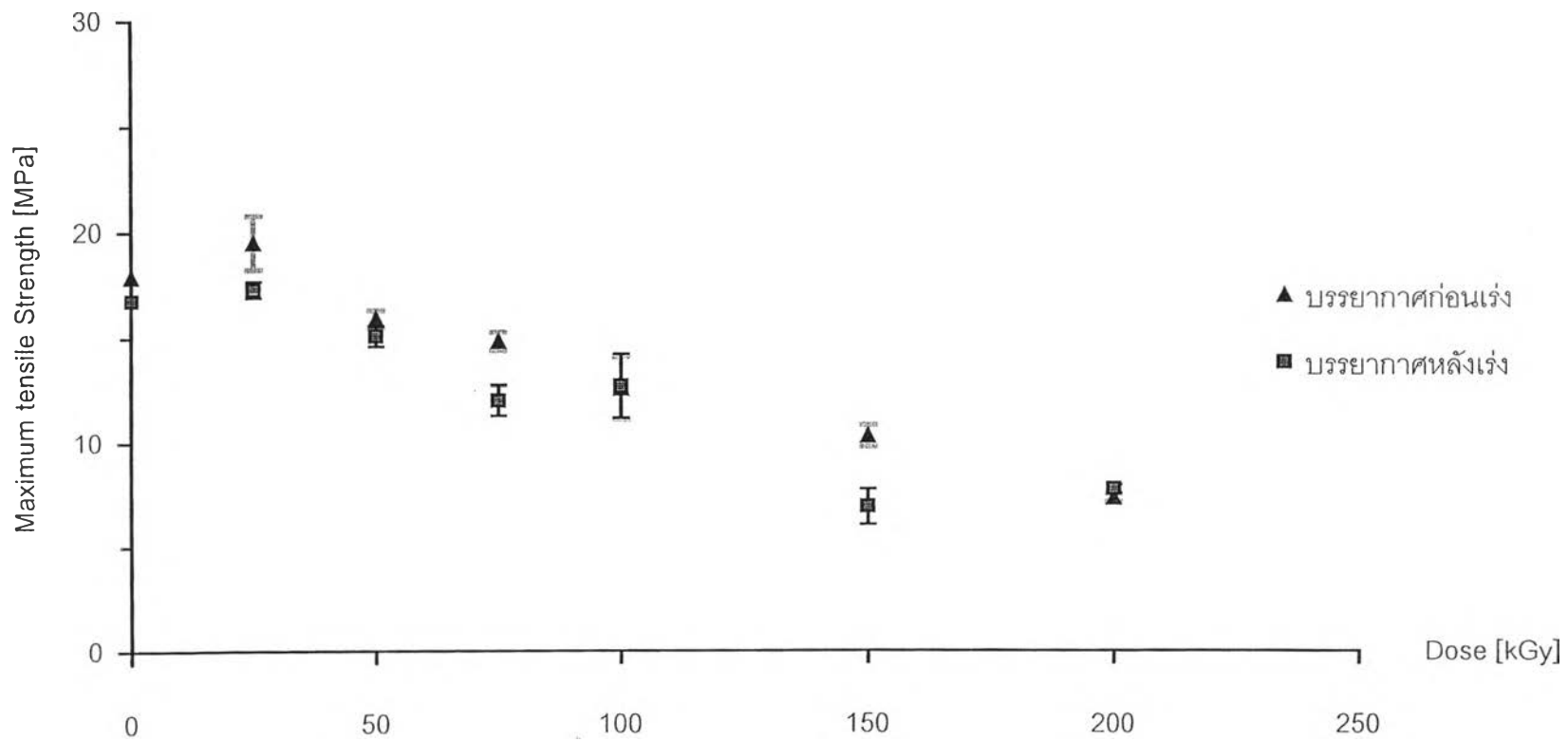
รูปที่ 4.5 กราฟผลทดสอบความต้านแรงดึงที่จุดขาดชิ้นงานพีวีซี 100 ส่วน + EG 5 ส่วน ฉายรังสีภายใต้สภาวะบรยากาศ



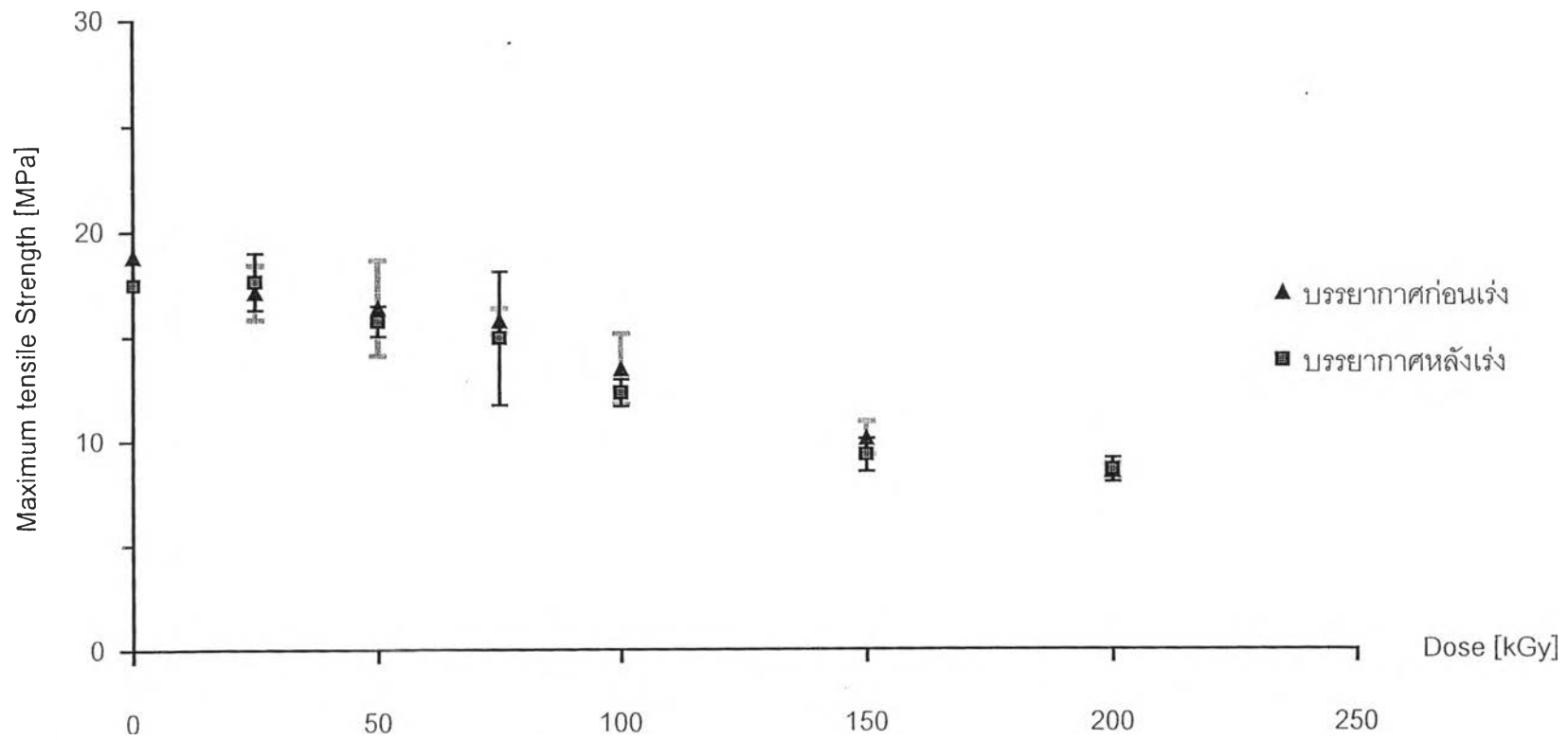
รูปที่ 4.6 กราฟผลทดสอบความต้านแรงดึงที่จุดขาดชิ้นงานพีวีซี 100 ส่วน + EG 10 ส่วน ฉายรังสีภายใต้สภาวะบรรยากาศ



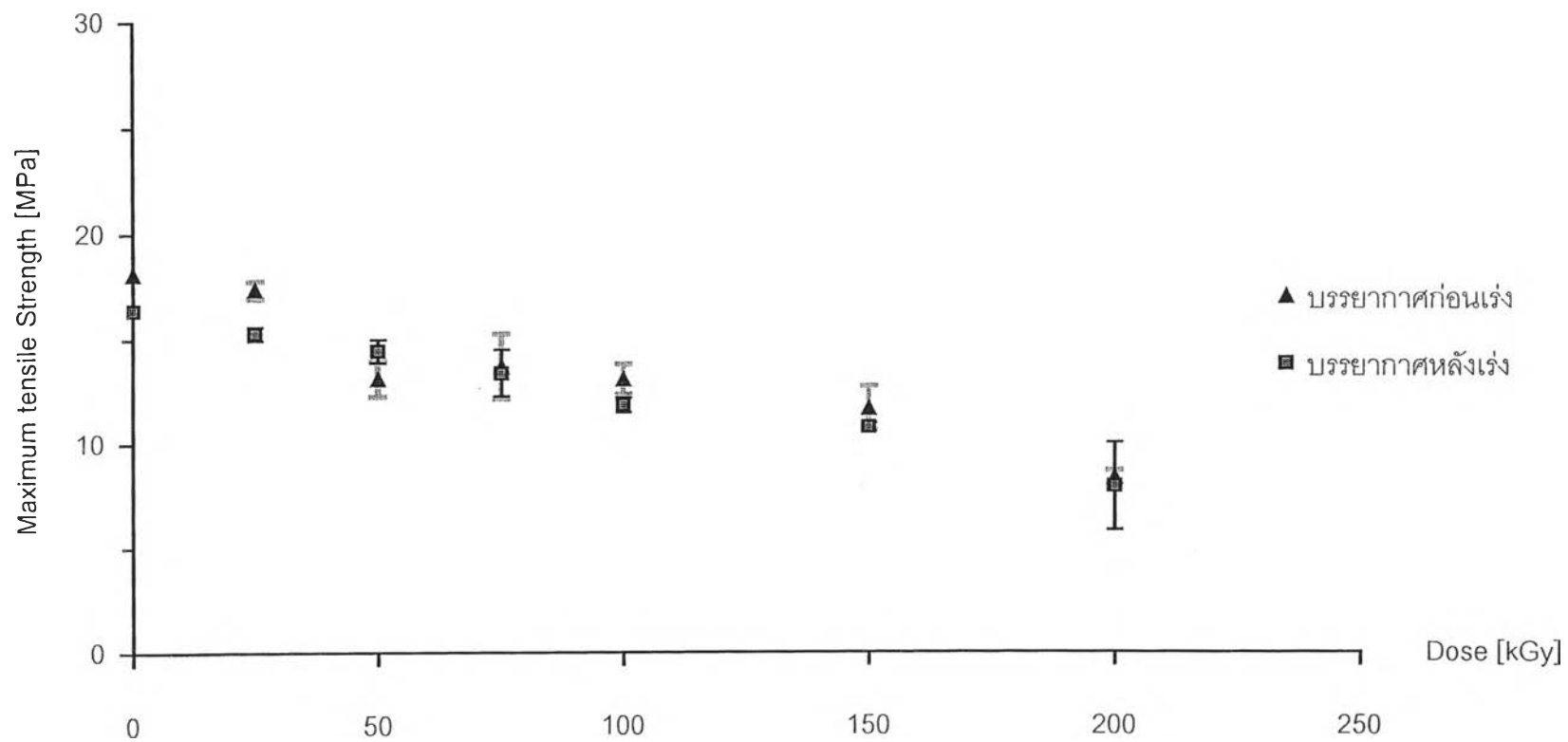
รูปที่ 4.7 กราฟผลทดสอบความต้านแรงดึงที่จุดขาดชิ้นงานพีวีซี 100 ส่วน + EG 15 ส่วน ฉายรังสีภายใต้สภาวะบรยากาศ



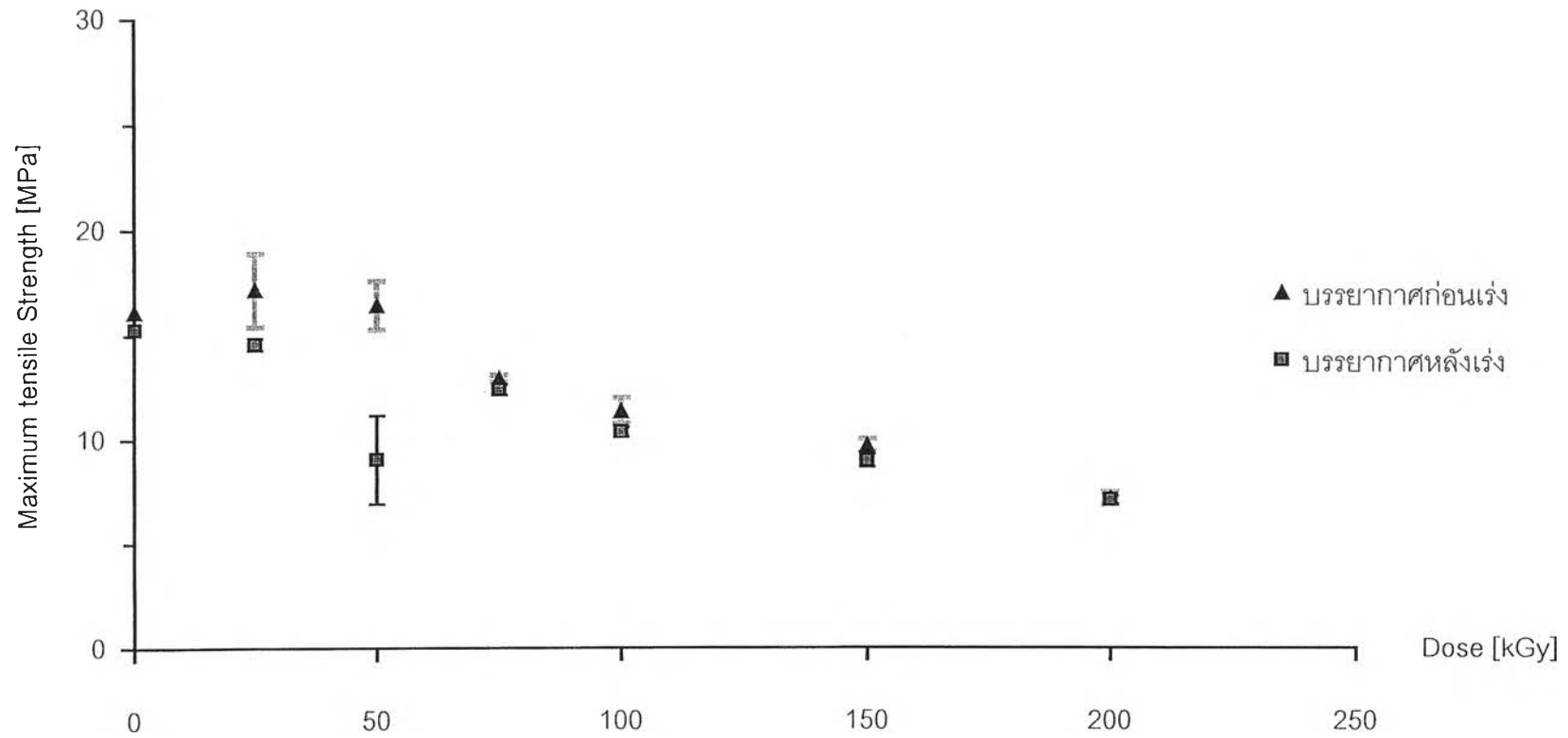
รูปที่ 4.8 กราฟผลทดสอบความต้านแรงดึงที่จุดขาดชิ้นงานพีวีซี 100 ส่วน + DOP 5 ส่วน + EG 5 ส่วน ฉายรังสีภายใต้สภาวะบรรยากาศ



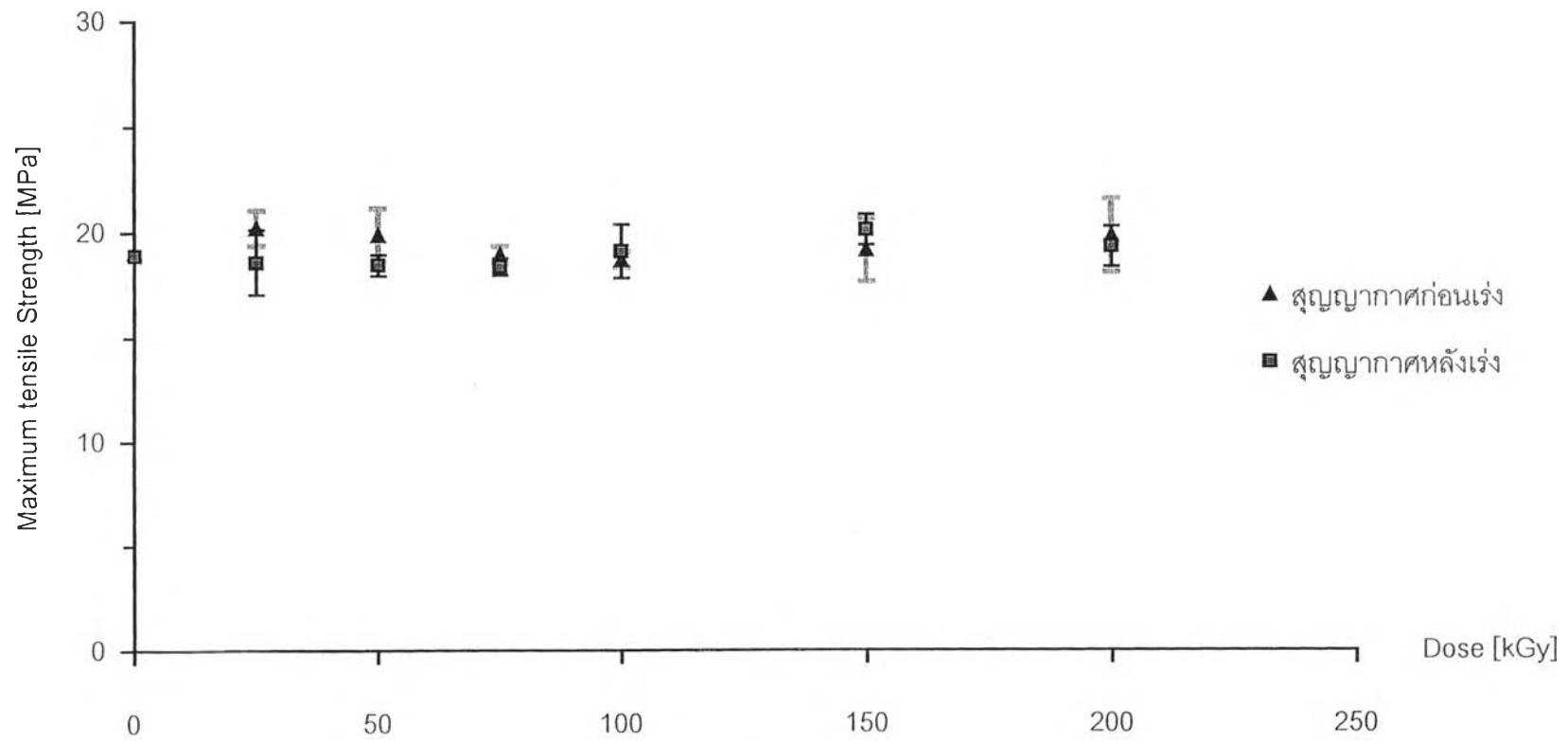
รูปที่ 4.9 กราฟผลทดสอบความต้านแรงดึงที่จุดขาดชิ้นงานพีวีซี 100 ส่วน + DOP 5 ส่วน + EG 10 ส่วน ฉายรังสีภายใต้สภาวะบรยากาศ



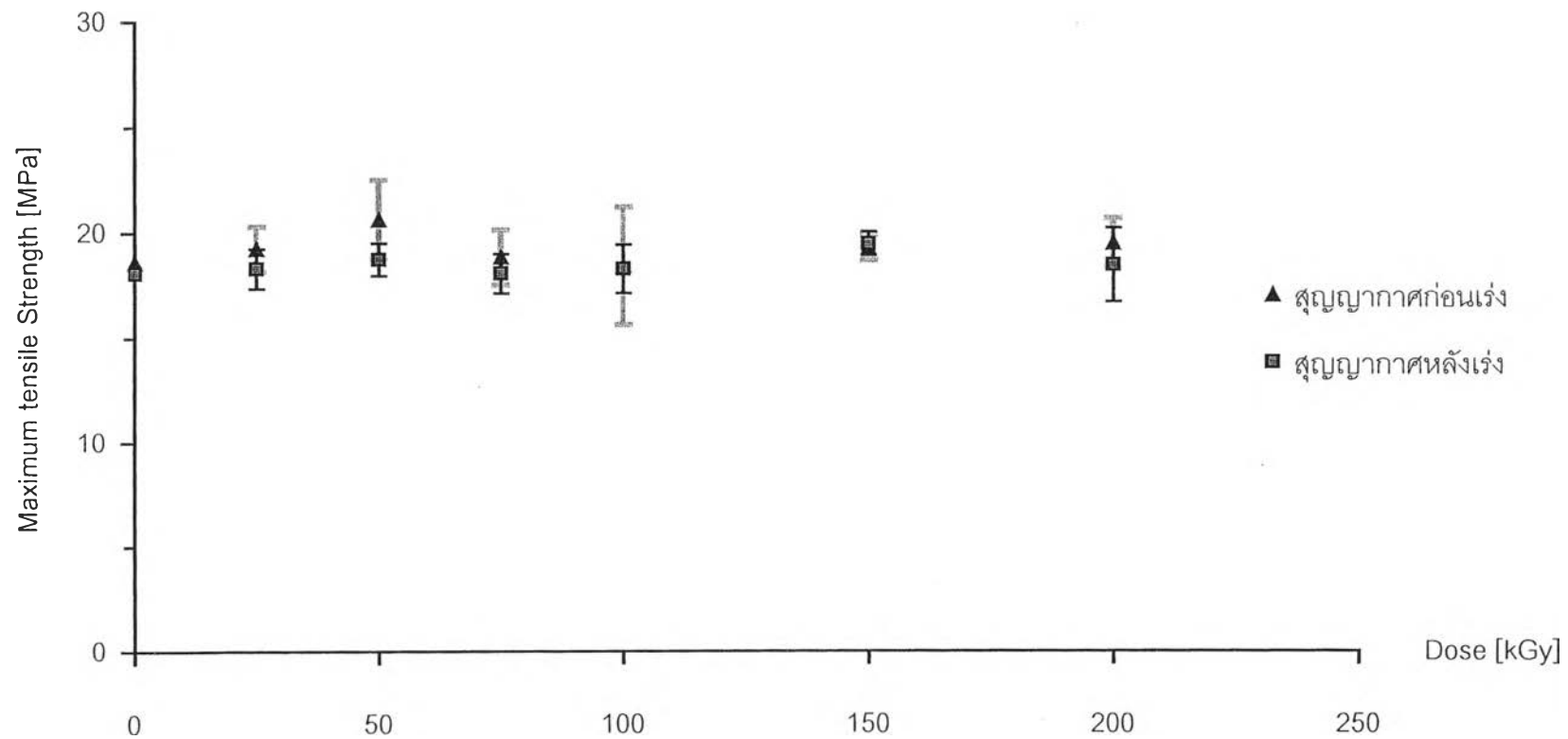
รูปที่ 4.10 กราฟผลทดสอบความต้านแรงดึงที่จุดขาดชิ้นงานพีวีซี 100 ส่วน + DOP 10 ส่วน + EG 5 ส่วน ฉายรังสีภายใต้สภาวะบรรยากาศ



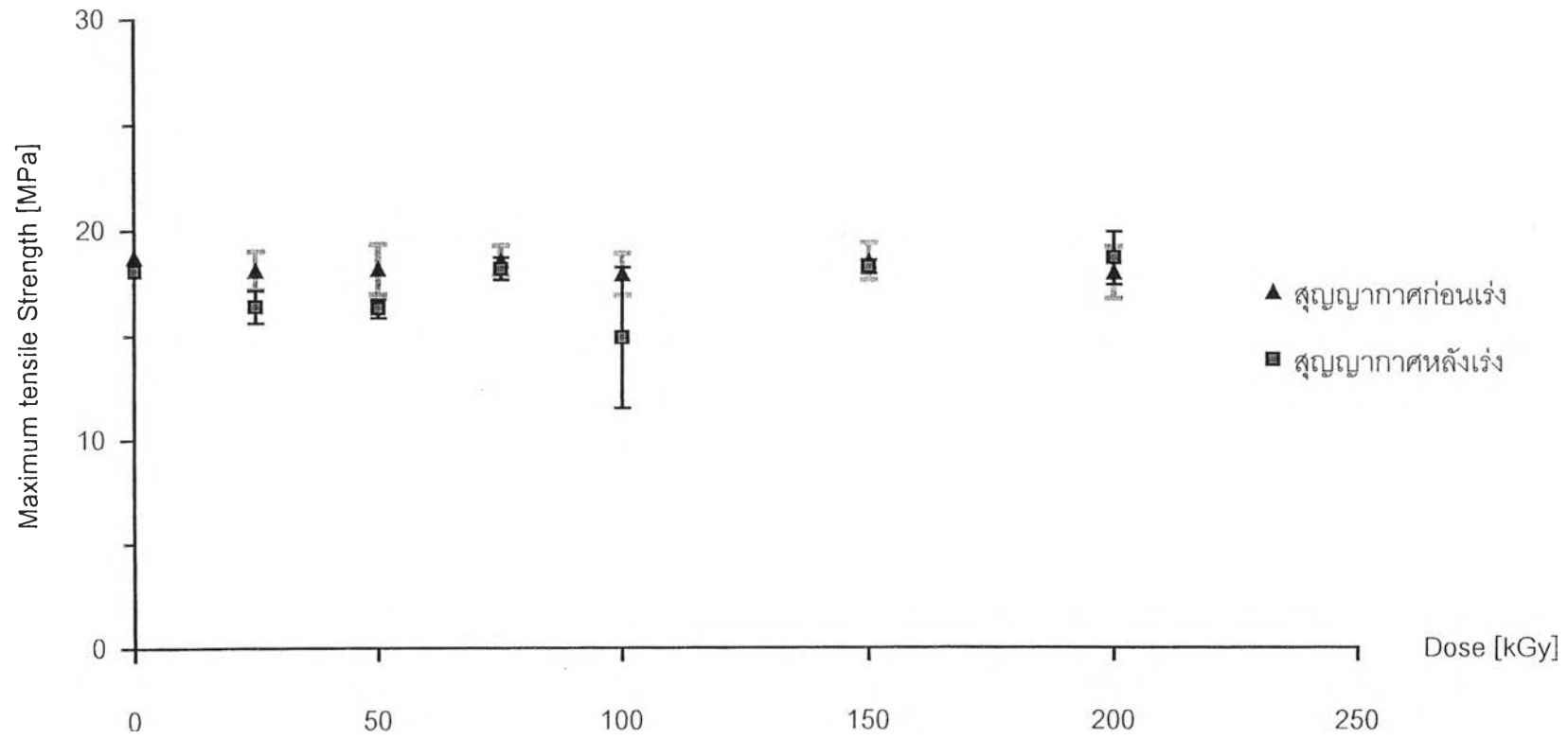
รูปที่ 4.11 กราฟผลทดสอบความต้านแรงดึงที่จุดขาดชิ้นงานพีวีซี 100 ส่วน + DOP 10 ส่วน + EG 10 ส่วน ฉายรังสีภายใต้สภาวะบรรยากาศ



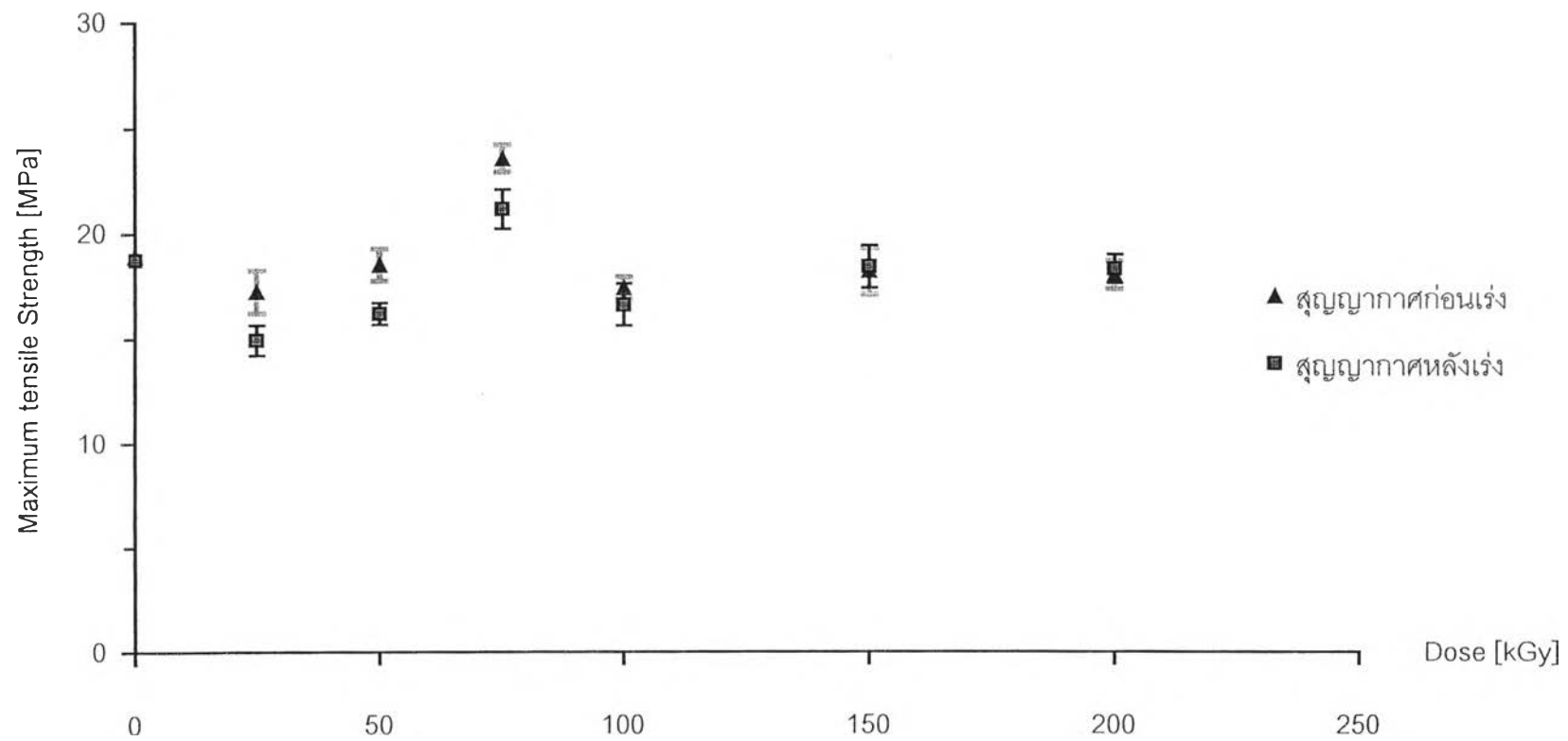
รูปที่ 4.12 กราฟผลทดสอบความต้านแรงดึงที่จุดขาดที่ในงานพีวีซี 100 ส่วน ฉายรังสีภายใต้สภาวะสุญญากาศ



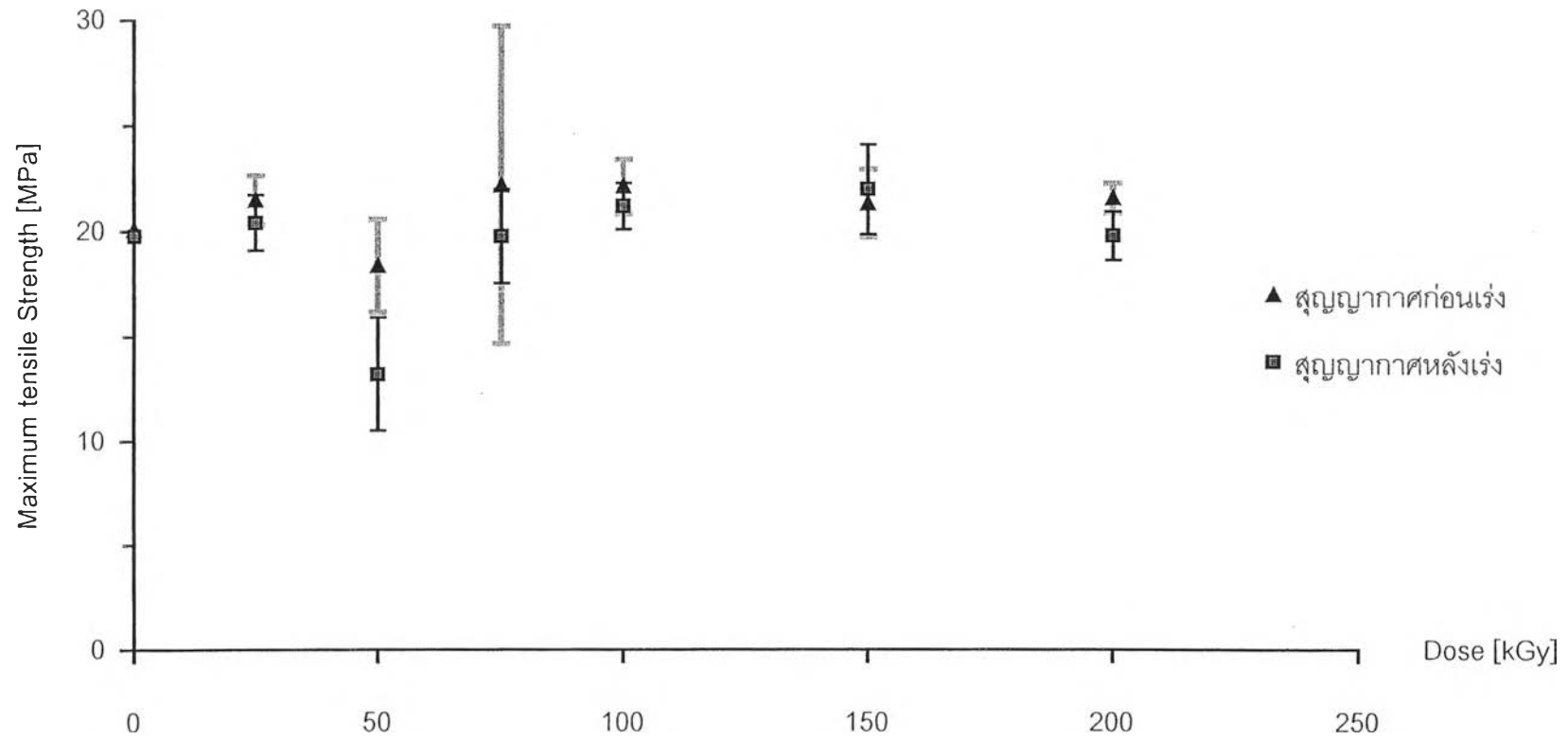
รูปที่ 4.13 กราฟผลทดสอบความต้านแรงดึงที่จุดขาดชิ้นงานพีวีซี 100 ส่วน + DOP 5 ส่วน ฉายรังสีภายใต้สภาวะสุญญากาศ



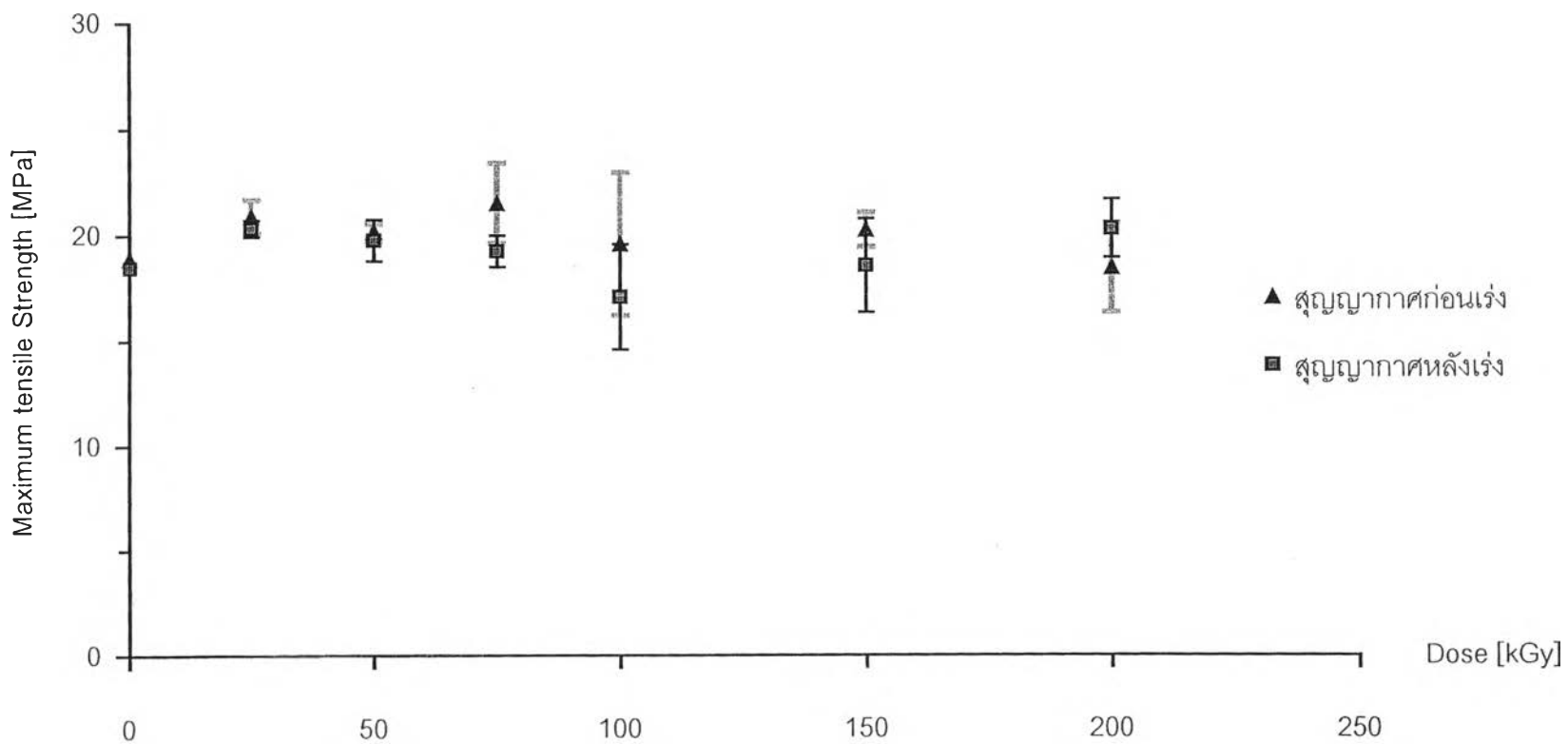
รูปที่ 4.14 กราฟผลทดสอบความต้านแรงดึงที่จุดขาดชิ้นงานพีวีซี 100 ส่วน + DOP 10 ส่วน ฉายรังสีภายใต้สภาวะสุญญากาศ



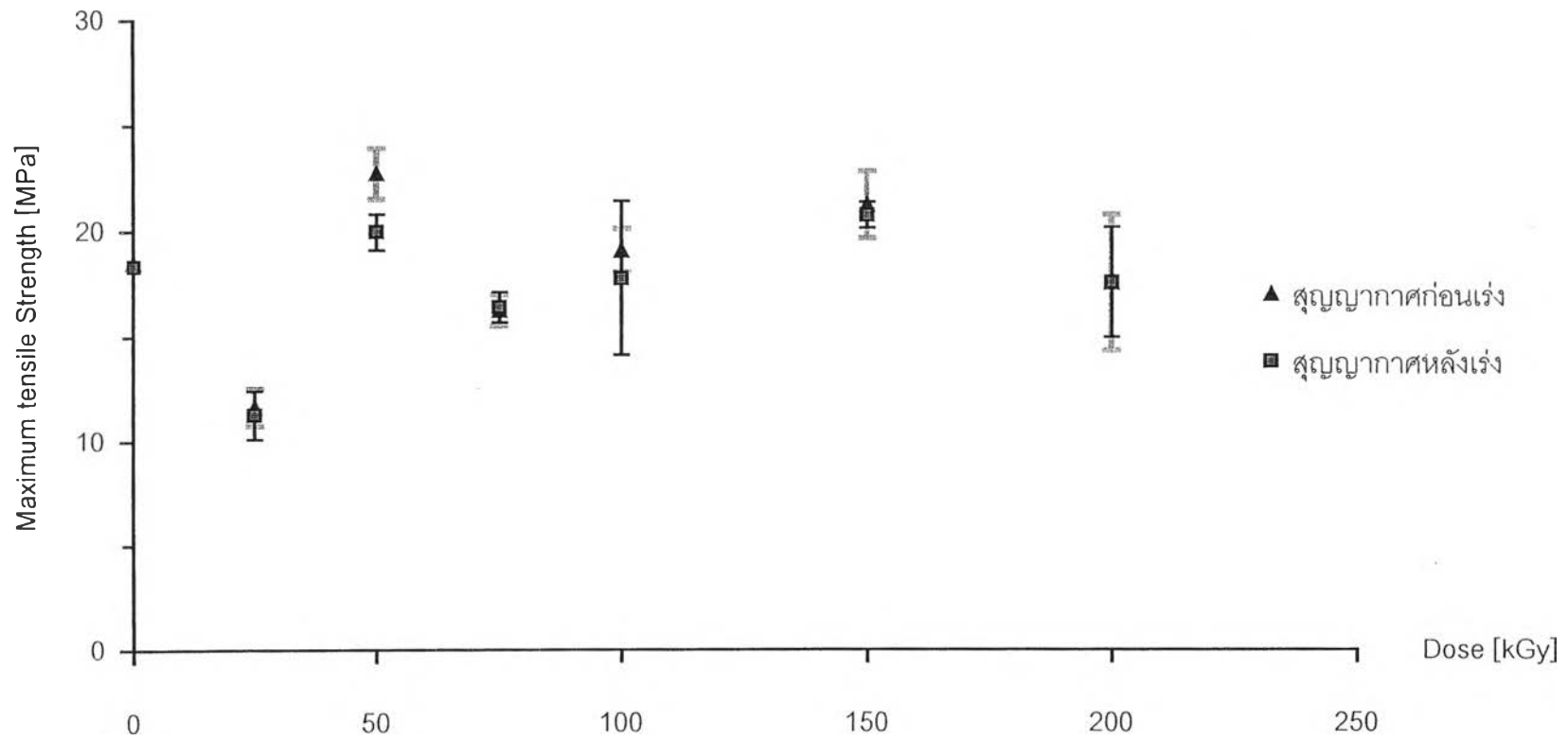
รูปที่ 4.15 กราฟผลทดสอบความต้านแรงดึงที่จุดขาดชิ้นงานพีวีซี 100 ส่วน + DOP 15 ส่วน ฉายรังสีภายใต้สภาวะสุญญากาศ



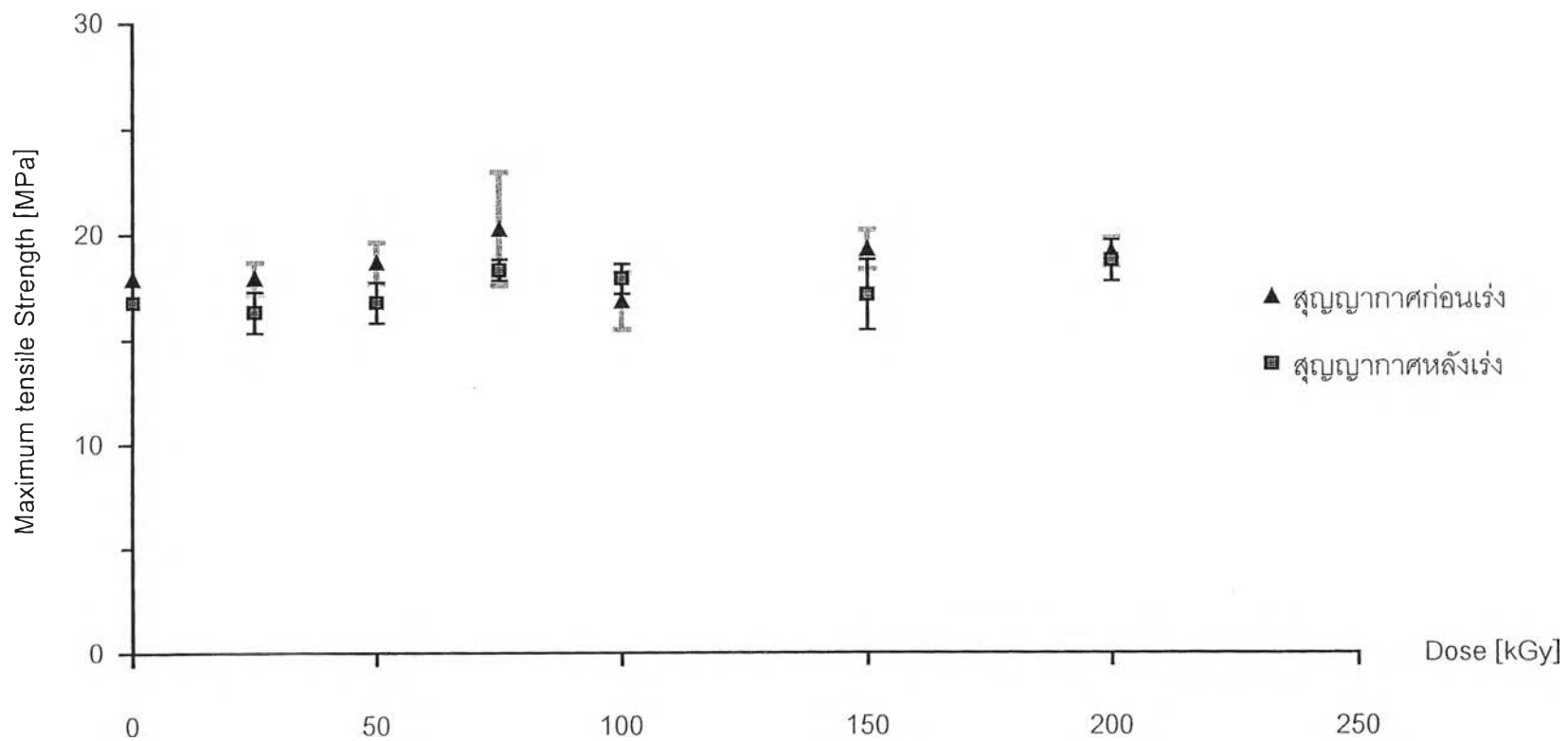
รูปที่ 4.16 กราฟผลทดสอบความต้านแรงดึงที่จุดขาดชิ้นงานพีวีซี 100 ส่วน + EG 5 ส่วน ฉายรังสีภายใต้สภาวะสุญญากาศ



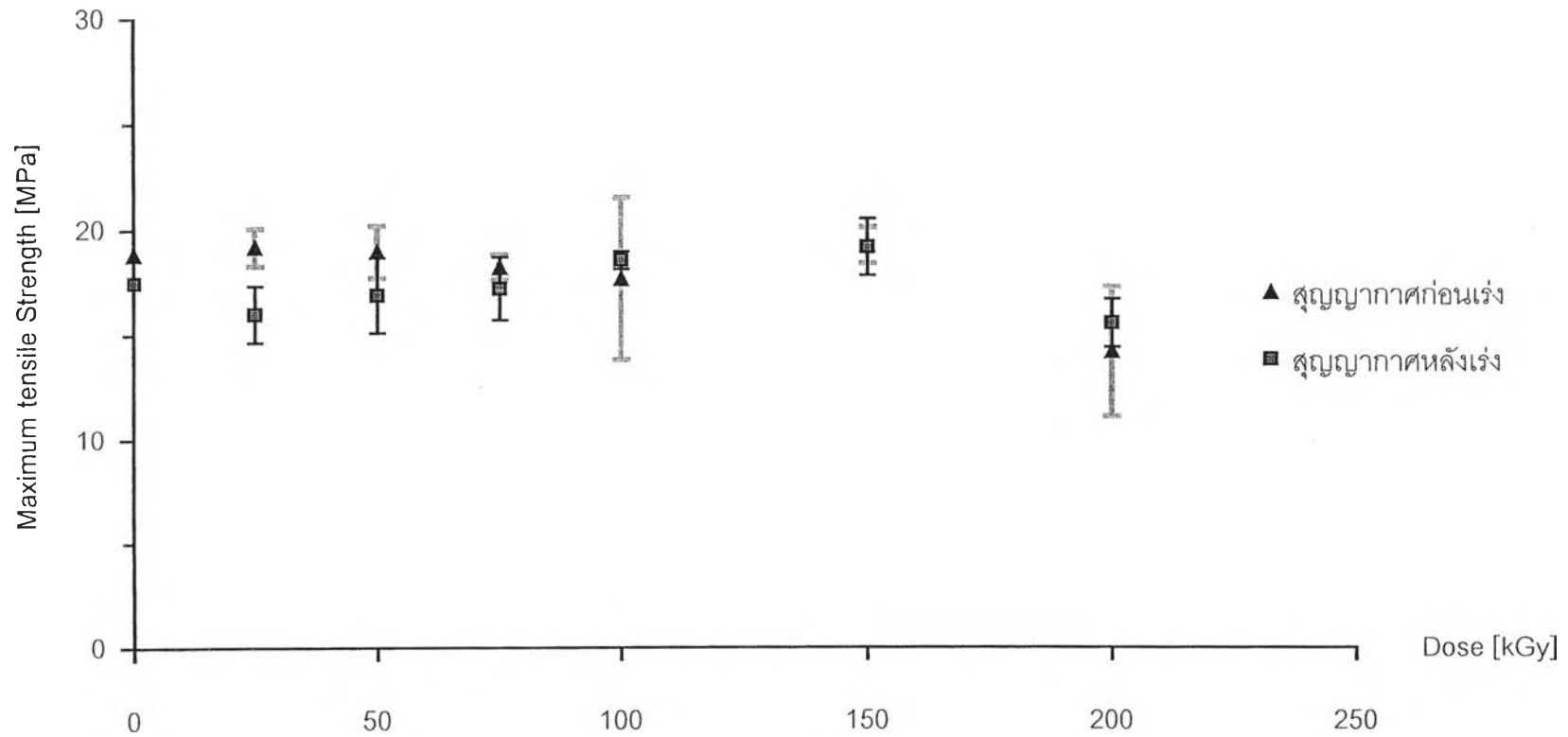
รูปที่ 4.17 กราฟผลทดสอบความต้านแรงดึงที่จุดขาดชิ้นงานพีวีซี 100 ส่วน + EG 10 ส่วน ฉายรังสีภายใต้สภาวะสุญญากาศ



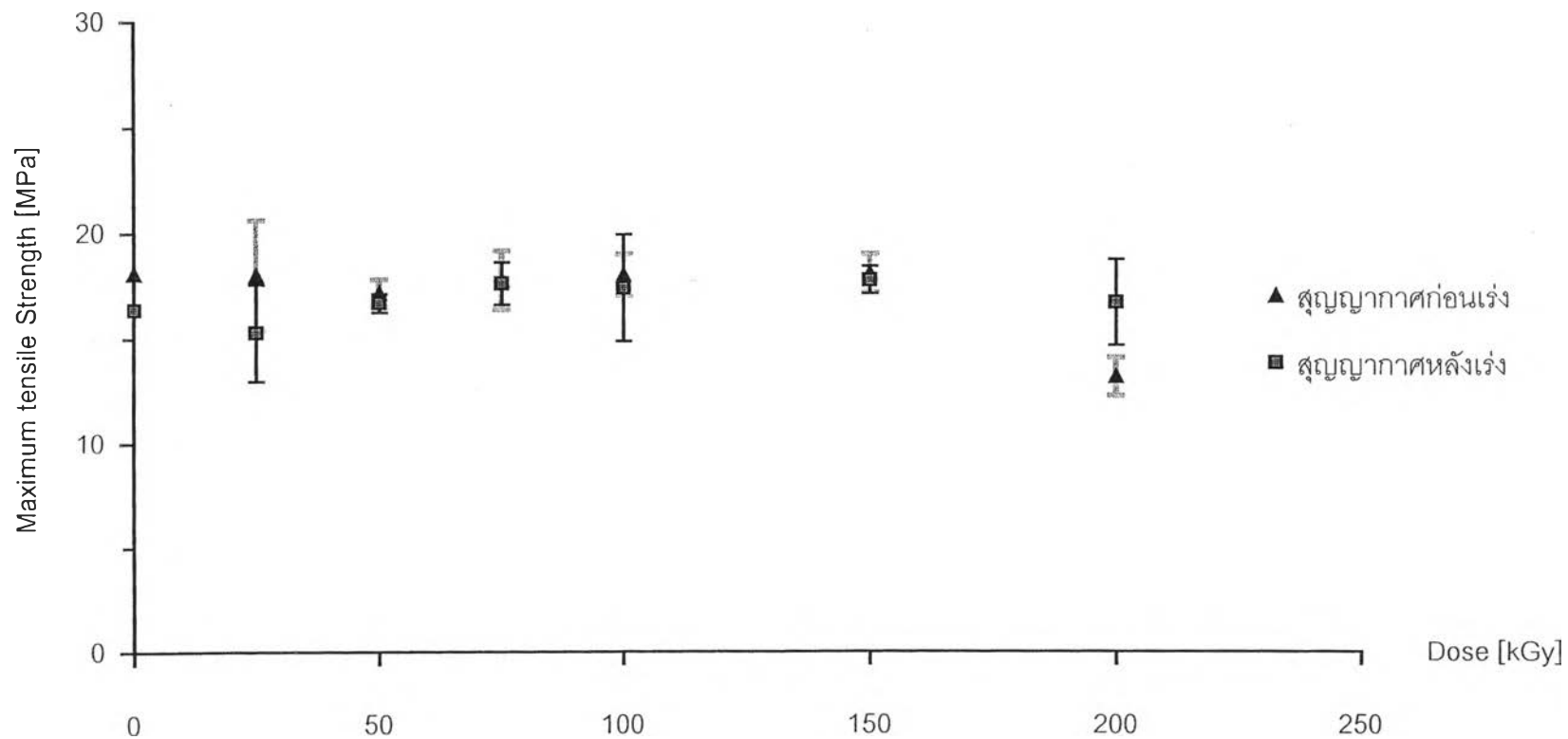
รูปที่ 4.18 กราฟผลทดสอบความต้านแรงดึงที่จุดขาดชิ้นงานพีวีซี 100 ส่วน + EG 15 ส่วน ฉายรังสีภายใต้สภาวะสุญญากาศ



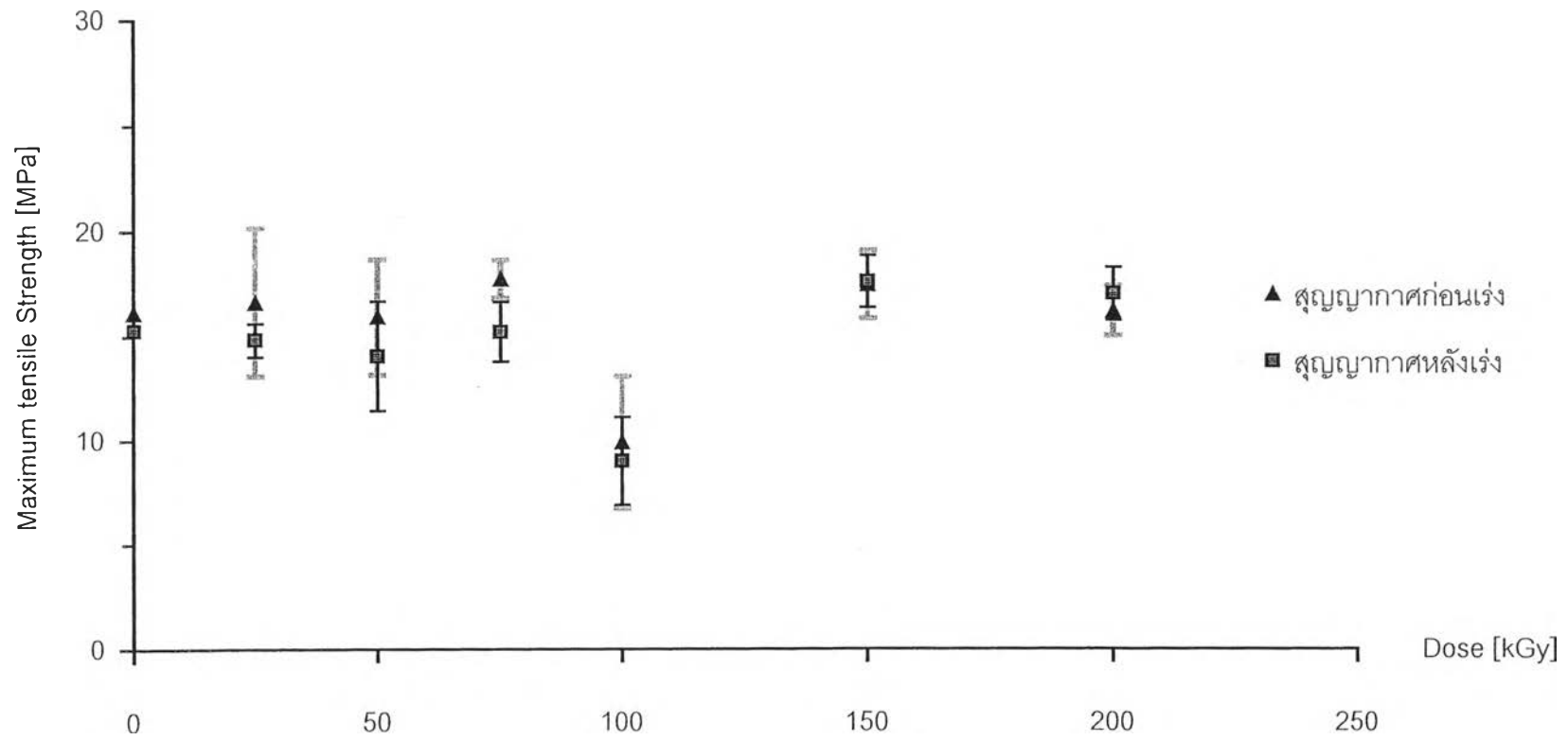
รูปที่ 4.19 กราฟผลทดสอบความต้านแรงดึงที่จุดขาดชิ้นงานพีวีซีที่ 100 ส่วน + DOP 5 ส่วน + EG 5 ส่วน ฉายรังสีภายใต้สภาวะสุญญากาศ



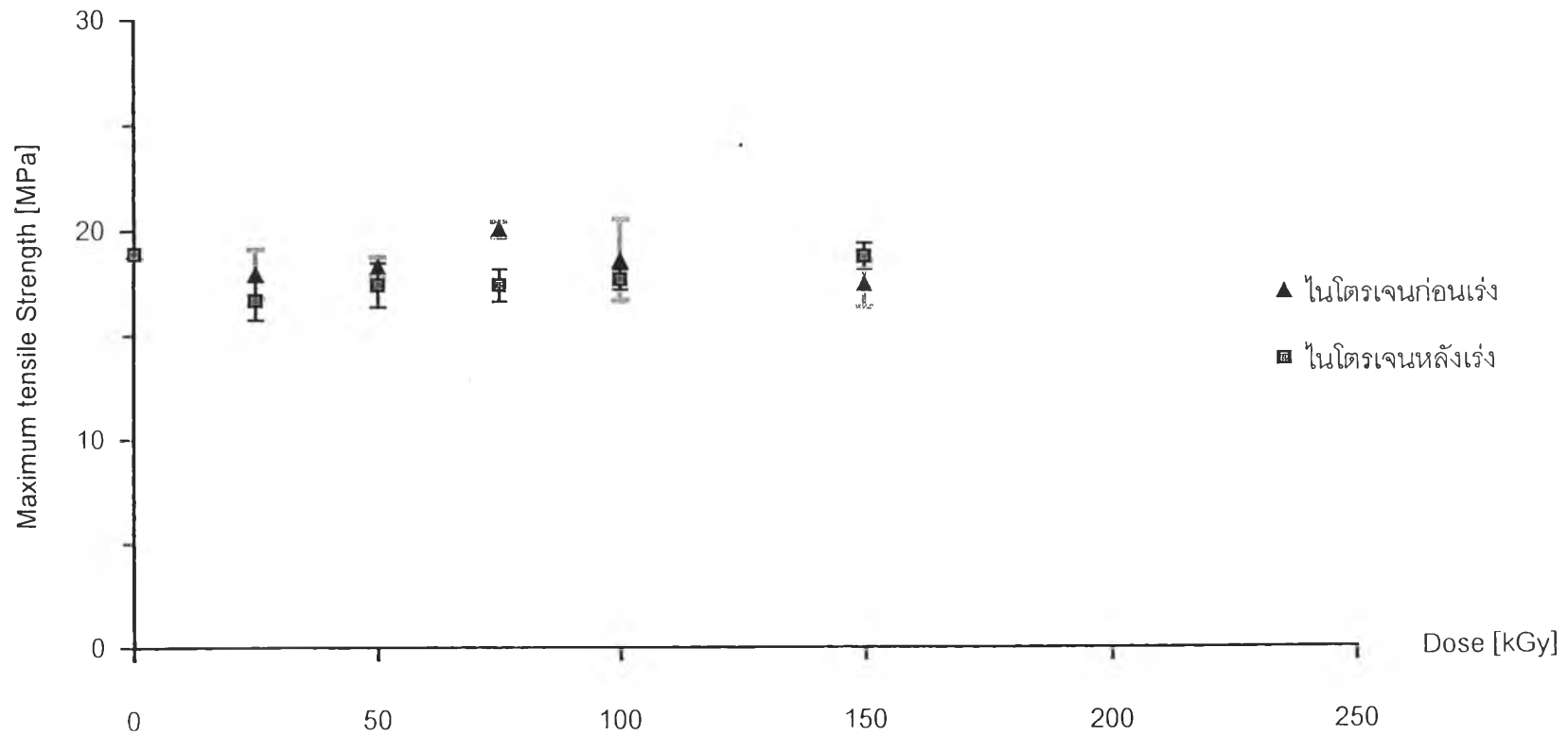
รูปที่ 4.20 กราฟผลทดสอบความต้านแรงดึงที่จุดขาดชิ้นงานพีวีซี 100 ส่วน + DOP 5 ส่วน + EG 10 ส่วน ฉายรังสีภายใต้สภาวะสุญญากาศ



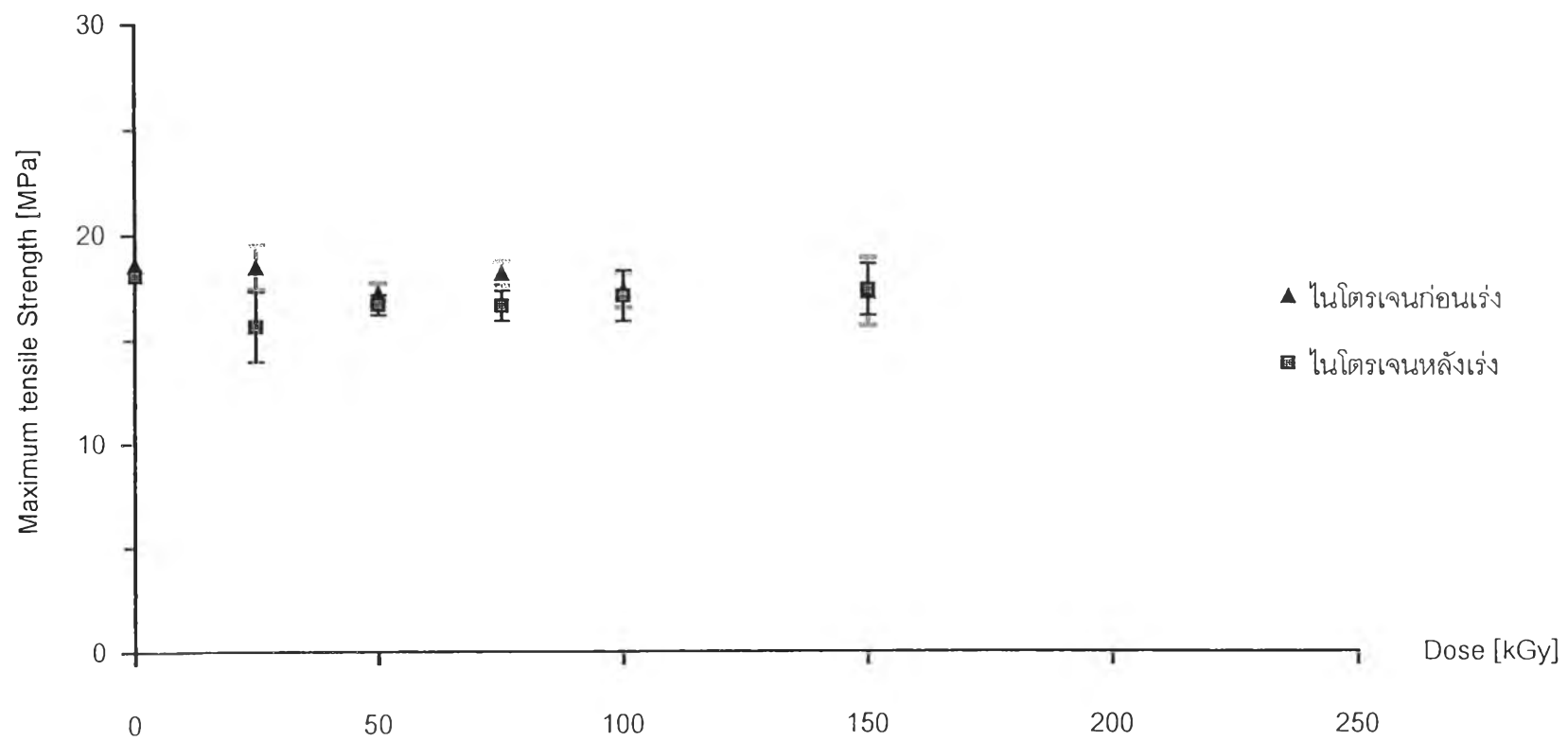
รูปที่ 4.21 กราฟผลทดสอบความต้านแรงดึงที่จุดขาดชิ้นงานพีวีซี 100 ส่วน + DOP 10 ส่วน + EG 5 ส่วน ฉายรังสีภายใต้สภาวะสุญญากาศ



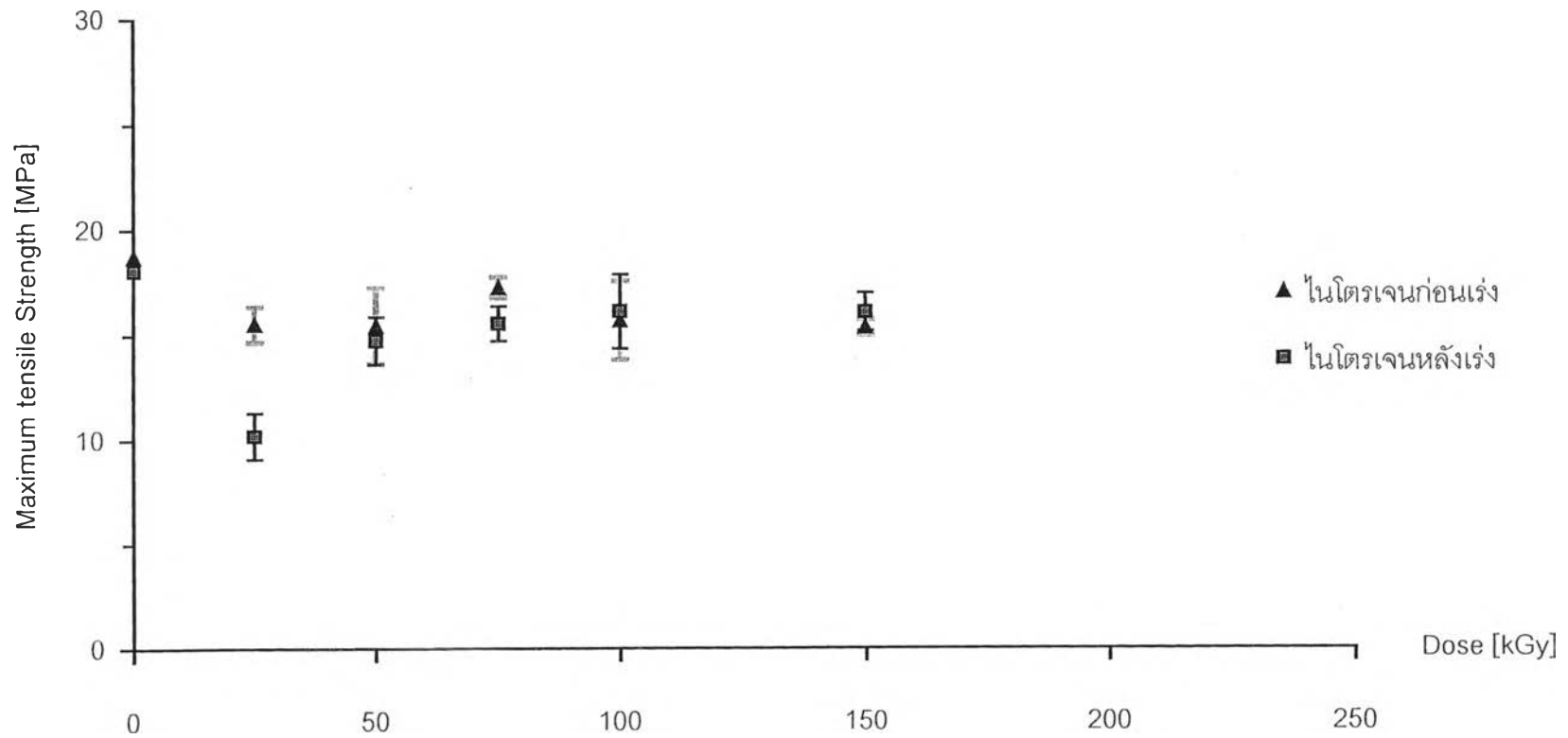
รูปที่ 4.22 กราฟผลทดสอบความต้านแรงดึงที่จุดขาดชิ้นงานพีวีซี 100 ส่วน + DOP 10 ส่วน + EG 10 ส่วน ฉายรังสีภายใต้สภาวะสุญญากาศ



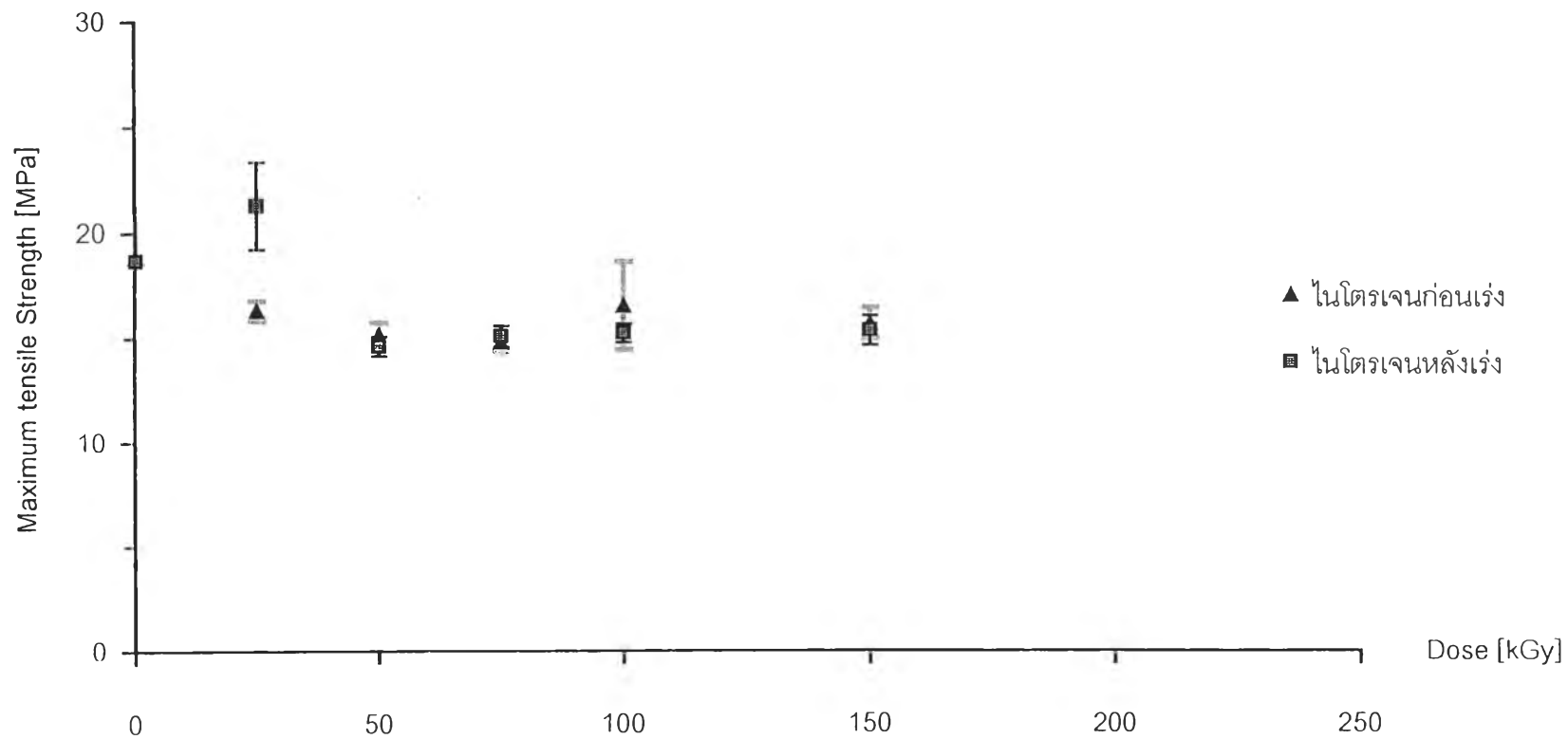
รูปที่ 4.23 กราฟผลทดสอบความต้านแรงดึงที่จุดขาดชิ้นงานพีวีซี 100 ส่วน ฉายรังสีภายใต้สภาวะก๊าซเฉื่อยไนโตรเจน



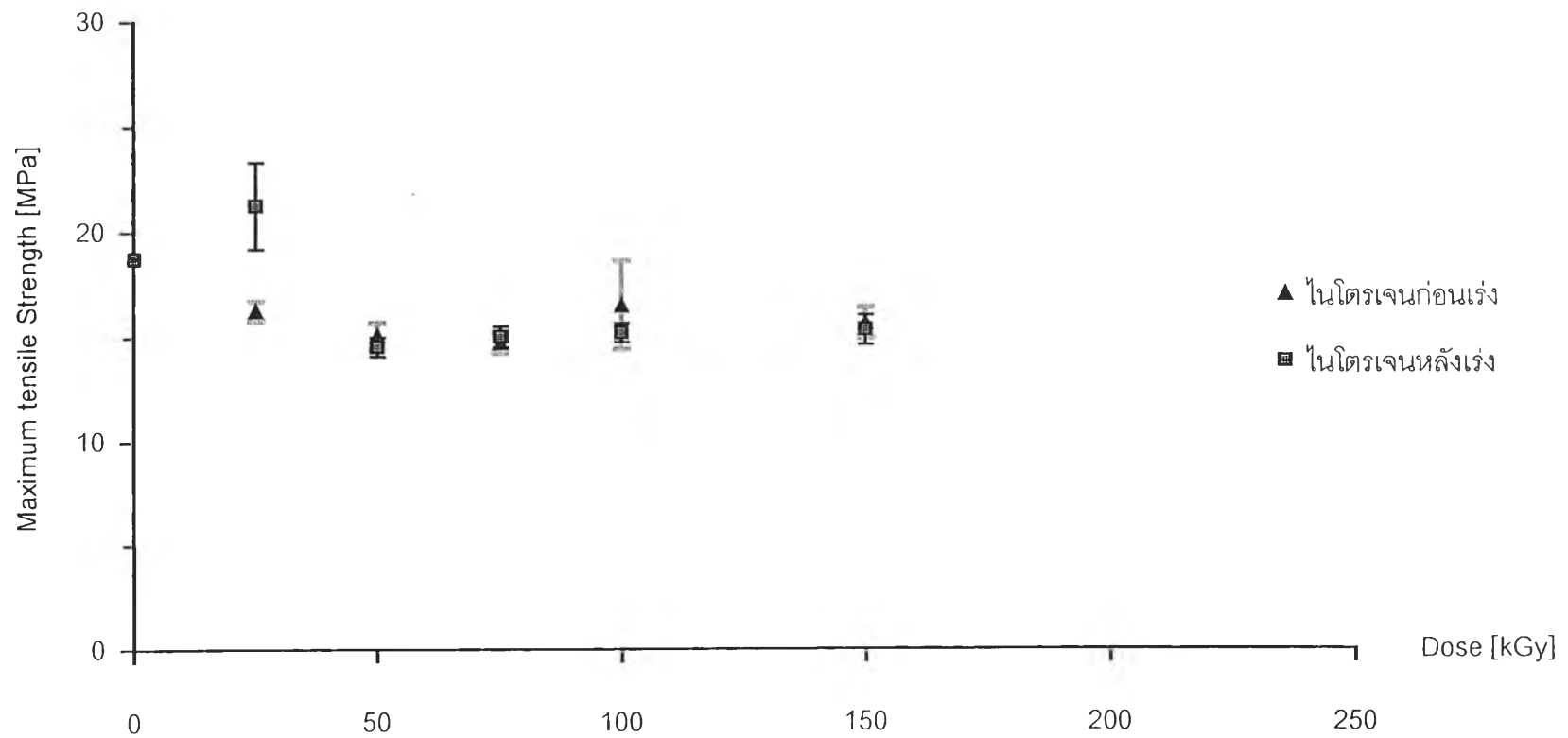
รูปที่ 4.24 กราฟผลทดสอบความต้านแรงดึงที่จุดขาดชิ้นงานพีวีซี 100 ส่วน + DOP 5 ส่วน ฉายรังสีภายใต้สภาวะก๊าซเฉื่อยไนโตรเจน



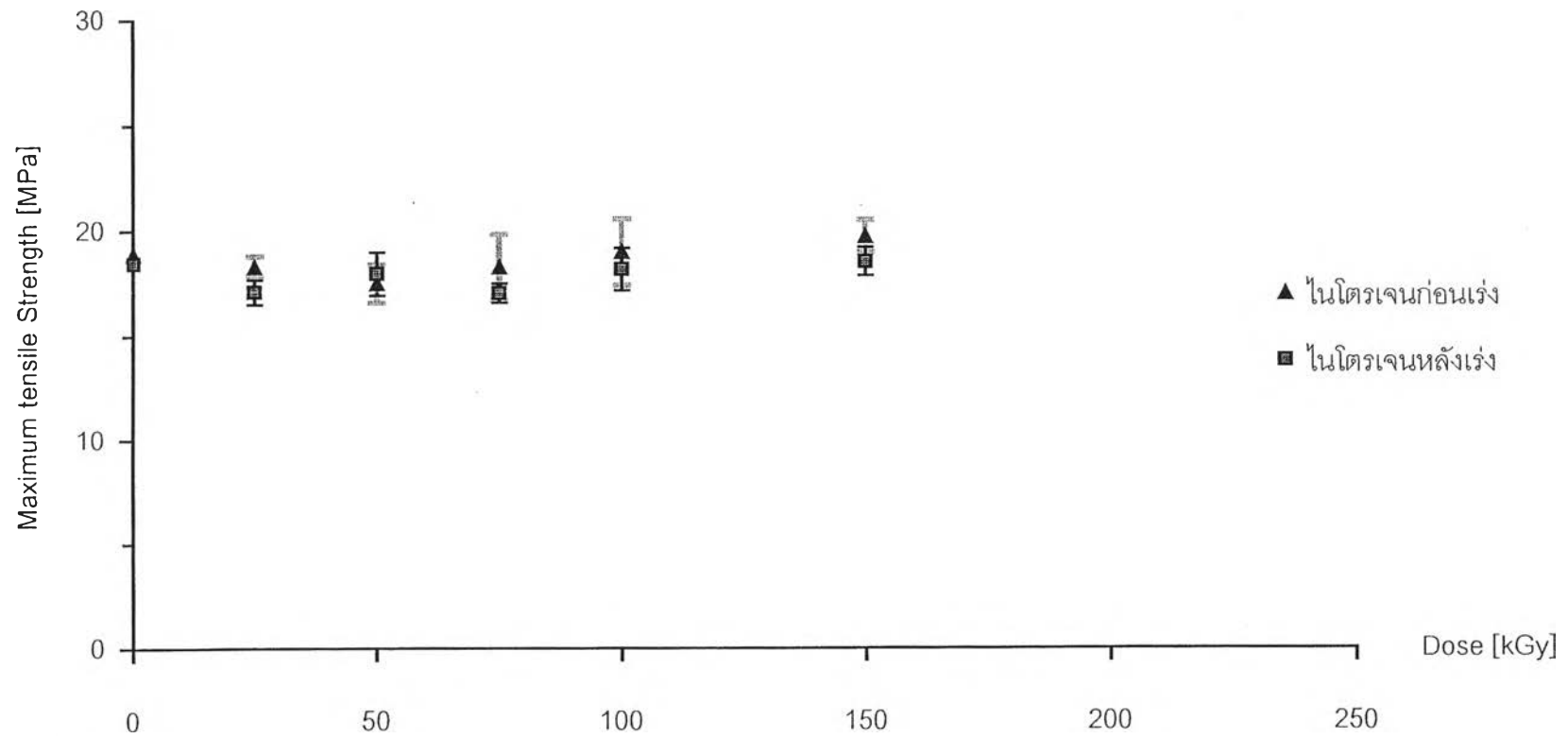
รูปที่ 4.25 กราฟผลทดสอบความต้านแรงดึงที่จุดขาดชิ้นงานพีวีซี 100 ส่วน + DOP 10 ส่วน ฉายรังสีภายใต้สภาวะก๊าซเฉื่อยไนโตรเจน



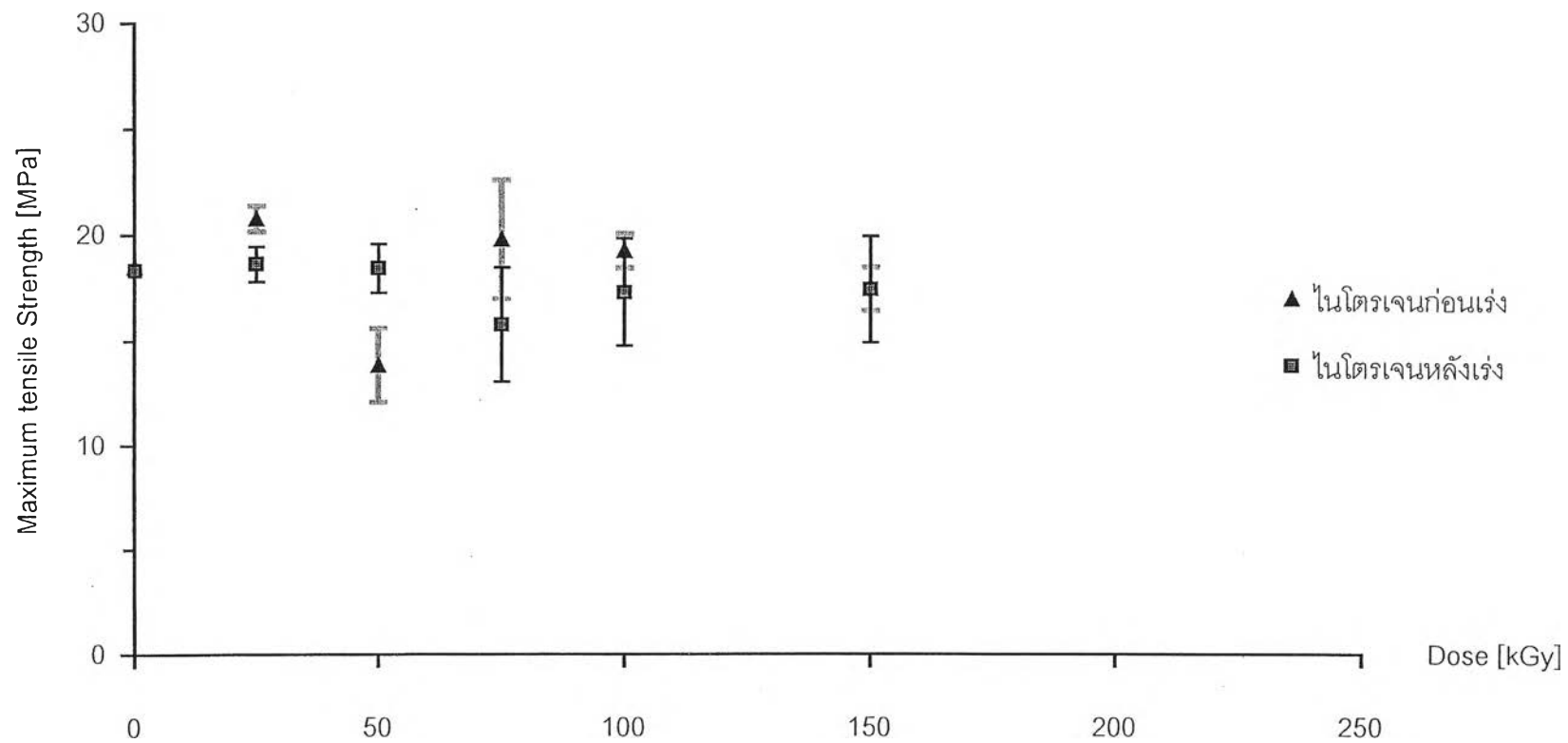
รูปที่ 4.26 กราฟผลทดสอบความต้านแรงดึงที่จุดขาดชิ้นงานพีวีซี 100 ส่วน + DOP 15 ส่วน ฉายรังสีภายใต้สภาวะก๊าซเฉื่อยไนโตรเจน



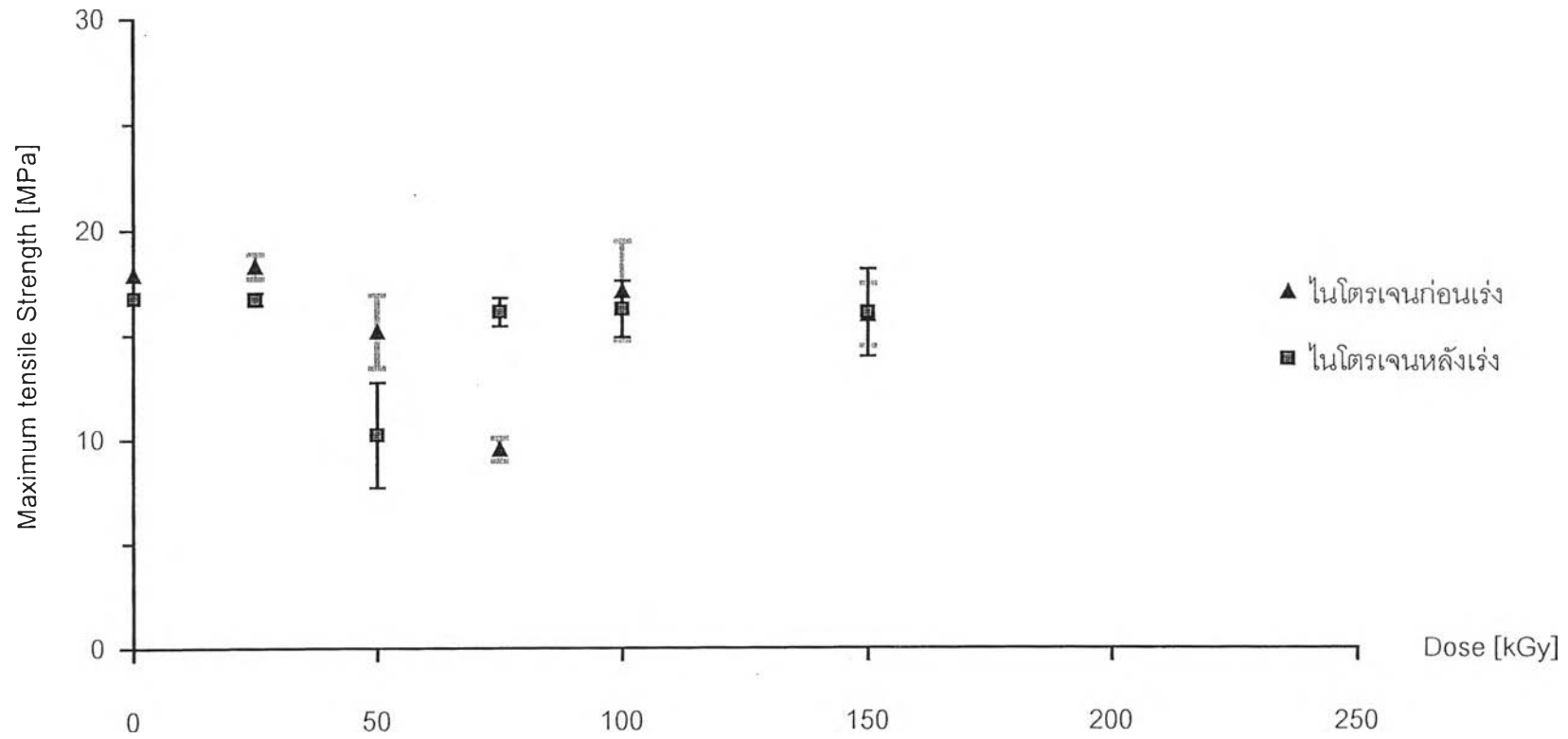
รูปที่ 4.27 กราฟผลทดสอบความต้านแรงดึงที่จุดขาดชิ้นงานพีวีซี 100 ส่วน + EG 5 ส่วน ฉายรังสีภายใต้สภาวะก๊าซเฉื่อยไนโตรเจน



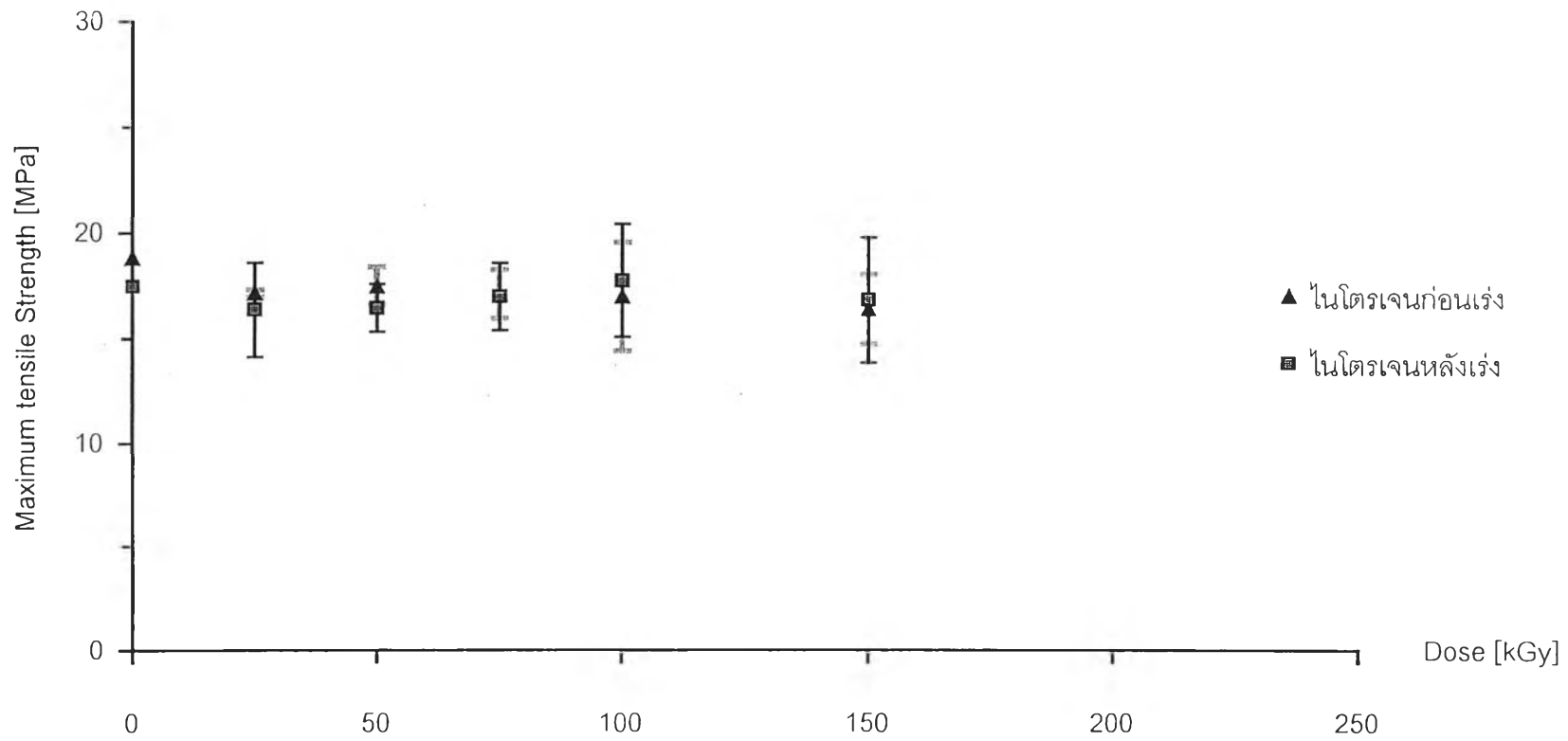
รูปที่ 4.28 กราฟผลทดสอบความต้านแรงดึงที่จุดขาดชิ้นงานพีวีซี 100 ส่วน + EG 10 ส่วน ฉายรังสีภายใต้สภาวะก๊าซเฉื่อยไนโตรเจน



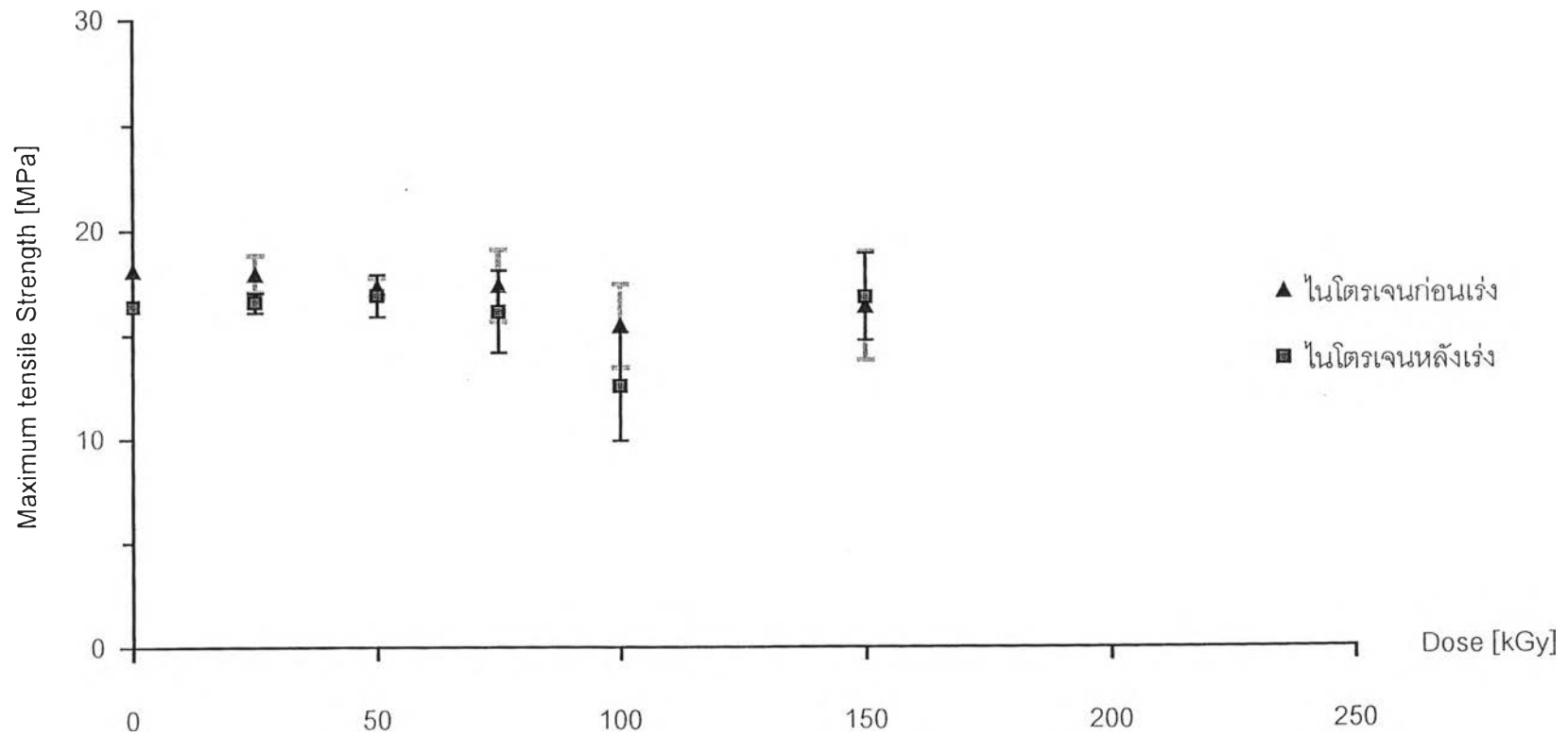
รูปที่ 4.29 กราฟผลทดสอบความต้านแรงดึงที่จุดขาดชิ้นงานพีวีซี 100 ส่วน + EG 15 ส่วน ฉายรังสีภายใต้สภาวะก๊าซเฉื่อยไนโตรเจน



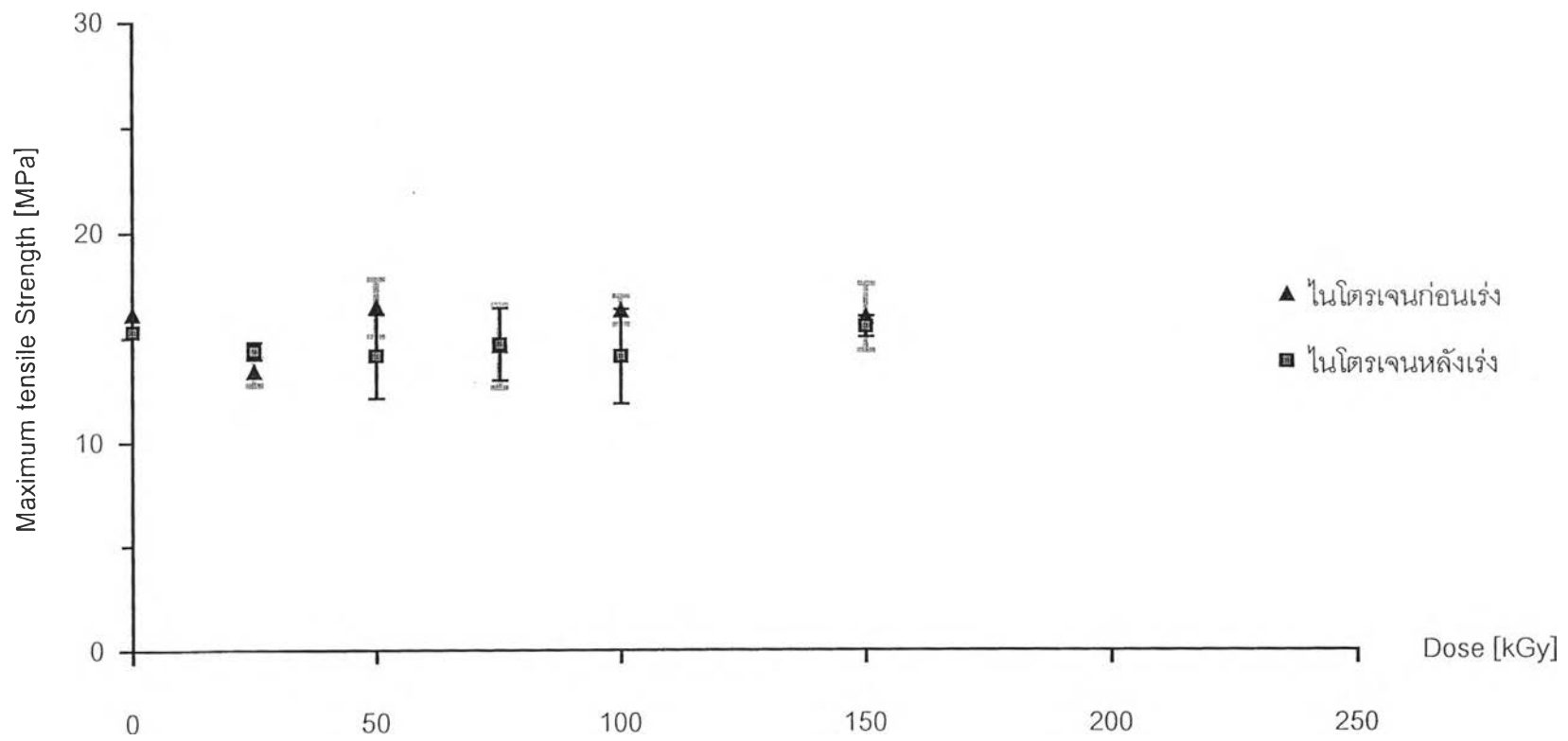
รูปที่ 4.30 กราฟผลทดสอบความต้านแรงดึงที่จุดขาดชิ้นงานพีวีซี 100 ส่วน + DOP 5 ส่วน + EG 5 ส่วน ฉายรังสีภายใต้สภาวะก๊าซเฉื่อยไนโตรเจน



รูปที่ 4.31 กราฟผลทดสอบความต้านแรงดึงที่จุดขาดชิ้นงานพีวีซี 100 ส่วน + DOP 5 ส่วน + EG 10 ส่วน ฉายรังสีภายใต้สภาวะก๊าซเฉื่อยไนโตรเจน



รูปที่ 4.32 กราฟผลทดสอบความต้านแรงดึงที่จุดขาดชิ้นงานพีวีซี 100 ส่วน + DOP 10 ส่วน + EG 5 ส่วน ฉายรังสีภายใต้สภาวะก๊าซเฉื่อยไนโตรเจน



รูปที่ 4.33 กราฟผลทดสอบความต้านแรงดึงที่จุดขาดชิ้นงานพีวีซี 100 ส่วน + DOP 10 ส่วน + EG 10 ส่วน ฉายรังสีภายใต้สภาวะก๊าซเฉื่อยไนโตรเจน

ตารางที่ 12 ผลทดสอบความยืดที่จุดขาด PVC 100 ส่วน

ปริมาณรังสี ดูดกลืน (kGy)	ค่ามัธยฐานความยืด (เมกะพาสคัล)					
	สภาวะปกติ		สุญญากาศ		ก๊าซเฉื่อยไนโตรเจน	
	ก่อนเร่งอายุ	หลังเร่งอายุ	ก่อนเร่งอายุ	หลังเร่งอายุ	ก่อนเร่งอายุ	หลังเร่งอายุ
0						
25	234.00	235.00	226.00	225.80	190.90	201.00
50	153.90	207.70	246.00	236.00	210.20	179.20
75	196.40	187.10	239.00	240.00	202.50	205.80
100	154.88	155.12	246.00	254.00	200.90	190.50
150	124.20	121.88	231.00	219.60	190.60	186.20
200	92.80	94.20	248.00	235.00		

ตารางที่ 13 ผลทดสอบความยืดที่จุดขาด PVC 100 ส่วน + DOP 5 ส่วน

ปริมาณรังสี ดูดกลืน (kGy)	ค่ามัธยฐานความยืด (เมกะพาสคัล)					
	สภาวะปกติ		สุญญากาศ		ก๊าซเฉื่อยไนโตรเจน	
	ก่อนเร่งอายุ	หลังเร่งอายุ	ก่อนเร่งอายุ	หลังเร่งอายุ	ก่อนเร่งอายุ	หลังเร่งอายุ
0						
25	227.00	243.00	249.00	254.00	212.50	218.50
50	210.90	203.13	245.00	248.00	248.00	230.00
75	211.00	194.20	235.00	235.00	218.90	227.00
100	183.80	176.00	272.00	270.00	221.80	217.90
150	101.44	105.83	257.00	242.00	207.80	219.80
200	82.40	81.20	262.00	249.00		

ตารางที่ 14 ผลทดสอบความยืดที่จุดขาด

PVC 100 ส่วน + DOP 10 ส่วน

ปริมาณรังสี ดูดกลืน (kGy)	ค่ามัธยฐานความยืด (เมกะพาสคัล)					
	สภาวะปกติ		สุญญากาศ		ก๊าซเฉื่อยไนโตรเจน	
	ก่อนเร่งอายุ	หลังเร่งอายุ	ก่อนเร่งอายุ	หลังเร่งอายุ	ก่อนเร่งอายุ	หลังเร่งอายุ
0						
25	263.00	266.00	275.00	274.00	232.00	241.00
50	246.00	234.00	271.00	269.00	253.00	242.00
75	198.38	191.10	253.00	273.00	242.00	241.00
100	172.10	170.70	270.00	240.00	224.00	234.00
150	140.11	143.10	272.00	262.00	245.00	223.80
200	94.88	100.27	288.00	275.00		

ตารางที่ 15 ผลทดสอบความยืดที่จุดขาด

PVC 100 ส่วน + DOP 15 ส่วน

ปริมาณรังสี ดูดกลืน (kGy)	ค่ามัธยฐานความยืด (เมกะพาสคัล)					
	สภาวะปกติ		สุญญากาศ		ก๊าซเฉื่อยไนโตรเจน	
	ก่อนเร่งอายุ	หลังเร่งอายุ	ก่อนเร่งอายุ	หลังเร่งอายุ	ก่อนเร่งอายุ	หลังเร่งอายุ
0						
25	270.00	250.00	216.50	218.80	193.10	181.20
50	202.30	216.90	268.00	278.00	209.00	214.50
75	219.30	203.10	255.00	238.00	245.00	276.00
100	196.00	200.25	258.00	209.00	233.00	228.00
150	120.83	138.68	234.00	227.00	246.00	228.00
200	79.50	92.60	268.00	271.00		

ตารางที่ 16 ผลทดสอบความยืดที่จุดขาด PVC 100 ส่วน + EG 5 ส่วน

ปริมาณรังสี ดูดกลืน (kGy)	ค่ามัธยฐานความยืด (เมกะพาสคัล)					
	สภาวะปกติ		สุญญากาศ		ก๊าซเฉื่อยไนโตรเจน	
	ก่อนเร่งอายุ	หลังเร่งอายุ	ก่อนเร่งอายุ	หลังเร่งอายุ	ก่อนเร่งอายุ	หลังเร่งอายุ
0						
25	201.40	210.00	239.00	231.00	190.60	206.40
50	207.30	200.00	252.00	180.60	201.48	199.00
75	198.95	171.60	225.00	211.90	203.10	200.00
100	157.60	157.04	223.30	223.00	192.20	177.60
150	127.73	127.88	238.00	225.00	208.90	204.70
200	87.40	89.60	261.00	238.00		

ตารางที่ 17 ผลทดสอบความยืดที่จุดขาด PVC 100 ส่วน + EG 10 ส่วน

ปริมาณรังสี ดูดกลืน (kGy)	ค่ามัธยฐานความยืด (เมกะพาสคัล)					
	สภาวะปกติ		สุญญากาศ		ก๊าซเฉื่อยไนโตรเจน	
	ก่อนเร่งอายุ	หลังเร่งอายุ	ก่อนเร่งอายุ	หลังเร่งอายุ	ก่อนเร่งอายุ	หลังเร่งอายุ
0						
25	208.60	216.30	238.00	232.00	190.20	201.90
50	197.20	187.50	238.00	236.00	198.80	193.80
75	202.90	174.20	216.50	222.80	195.80	196.30
100	179.60	182.90	236.00	222.80	217.10	209.40
150	125.38	117.22	233.00	220.00	231.00	215.00
200	81.70	84.50	226.90	219.10		

ตารางที่ 18 ผลทดสอบความยืดที่จุดขาด PVC 100 ส่วน + EG 15 ส่วน

ปริมาณรังสี ดูดกลืน (kGy)	ค่ามัธยฐานความยืด (เมกะพาสคัล)					
	สภาวะปกติ		สุญญากาศ		ก๊าซเฉื่อยไนโตรเจน	
	ก่อนเร่งอายุ	หลังเร่งอายุ	ก่อนเร่งอายุ	หลังเร่งอายุ	ก่อนเร่งอายุ	หลังเร่งอายุ
0						
25	168.30	163.10	131.74	100.28	199.40	216.80
50	218.00	204.40	249.00	233.00	134.26	209.25
75	197.40	186.90	205.00	211.00	206.30	184.80
100	161.20	142.52	250.00	228.90	214.30	203.80
150	100.63	129.01	229.00	220.00	210.80	192.60
200	90.68	92.93	229.00	196.30		

ตารางที่ 19 ผลทดสอบความยืดที่จุดขาด PVC 100 ส่วน + DOP 5 ส่วน + EG 5 ส่วน

ปริมาณรังสี ดูดกลืน (kGy)	ค่ามัธยฐานความยืด (เมกะพาสคัล)					
	สภาวะปกติ		สุญญากาศ		ก๊าซเฉื่อยไนโตรเจน	
	ก่อนเร่งอายุ	หลังเร่งอายุ	ก่อนเร่งอายุ	หลังเร่งอายุ	ก่อนเร่งอายุ	หลังเร่งอายุ
0						
25	240.00	273.00	292.00	296.00	252.00	271.00
50	240.00	231.00	274.00	256.00	207.10	117.90
75	209.50	192.30	228.00	233.00	233.00	221.40
100	183.30	186.50	270.00	284.00	226.00	217.90
150	120.16	119.20	286.00	245.00	231.00	228.00
200	78.62	90.38	288.00	252.00		

ตารางที่ 20 ผลทดสอบความยืดที่จุดขาด

PVC 100 ส่วน + DOP 5 ส่วน + EG 10 ส่วน

ปริมาณรังสี ดูดกลืน (kGy)	ค่ามัธยฐานความยืด (เมกะพาสคัล)					
	สภาวะปกติ		สุญญากาศ		ก๊าซเฉื่อยไนโตรเจน	
	ก่อนเร่งอายุ	หลังเร่งอายุ	ก่อนเร่งอายุ	หลังเร่งอายุ	ก่อนเร่งอายุ	หลังเร่งอายุ
0						
25	228.00	255.00	272.00	262.00	225.00	248.00
50	220.00	229.00	212.40	200.73	238.00	231.00
75	206.60	175.80	227.00	233.00	232.00	226.90
100	151.29	161.18	252.00	273.00	229.00	232.00
150	108.00	103.88	268.00	260.00	245.00	233.00
200	87.20	89.10	224.50	204.10		

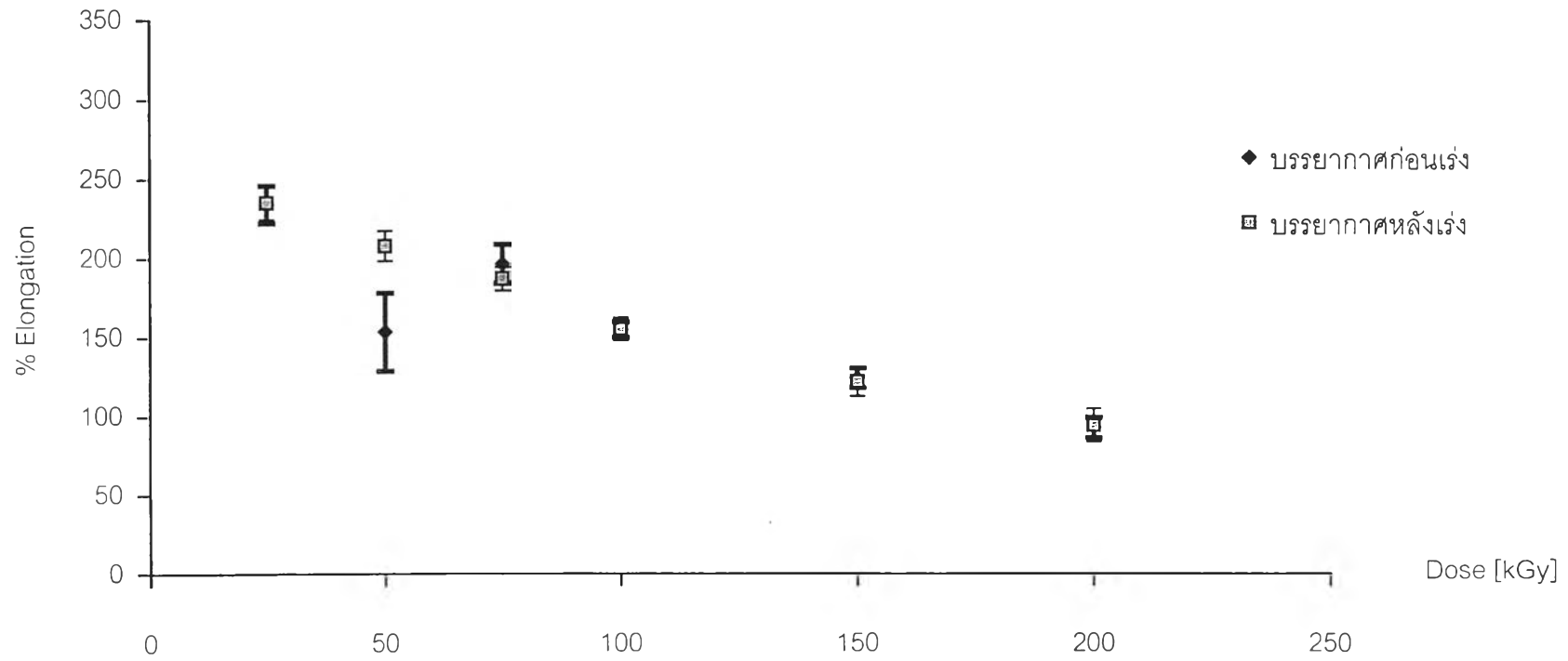
ตารางที่ 21 ผลทดสอบความยืดที่จุดขาด

PVC 100 ส่วน + DOP 10 ส่วน + EG 5 ส่วน

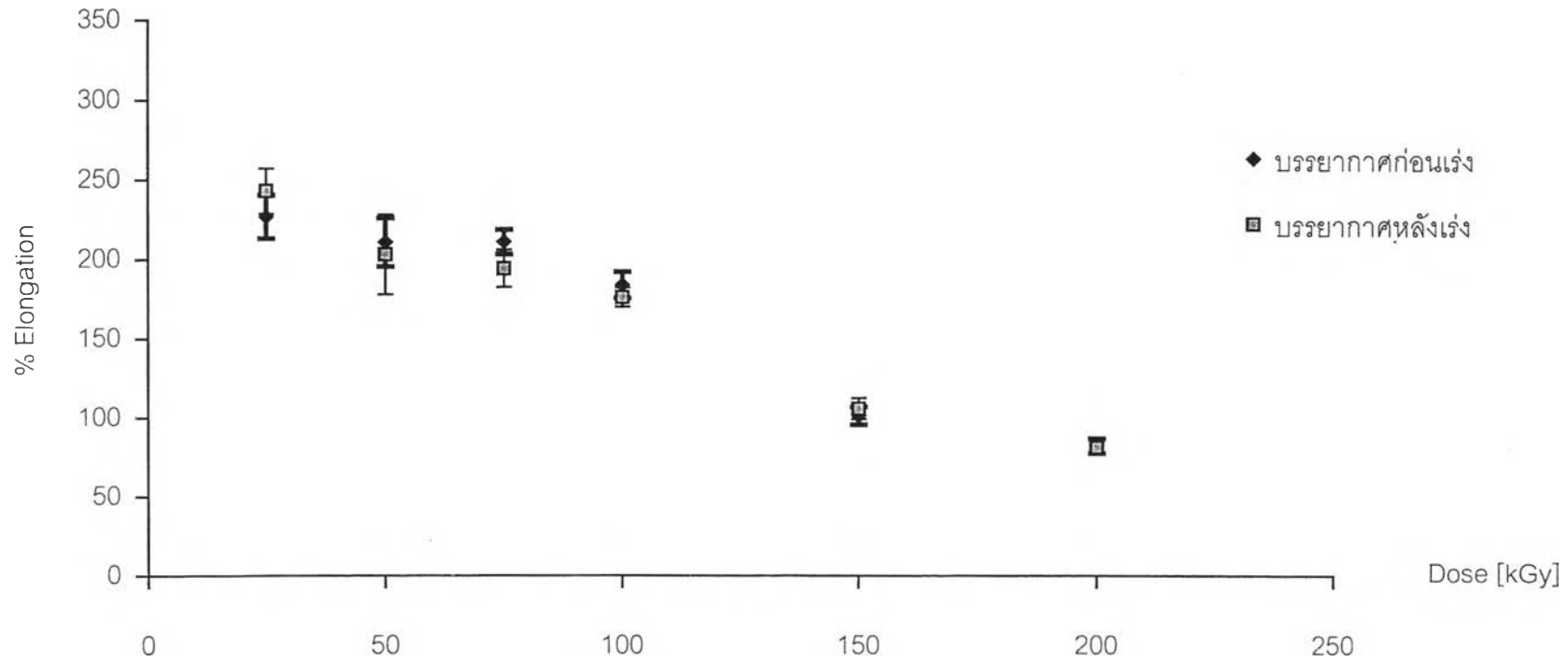
ปริมาณรังสี ดูดกลืน (kGy)	ค่ามัธยฐานความยืด (เมกะพาสคัล)					
	สภาวะปกติ		สุญญากาศ		ก๊าซเฉื่อยไนโตรเจน	
	ก่อนเร่งอายุ	หลังเร่งอายุ	ก่อนเร่งอายุ	หลังเร่งอายุ	ก่อนเร่งอายุ	หลังเร่งอายุ
0						
25	169.70	176.30	268.00	235.00	227.00	247.00
50	228.00	225.00	204.00	214.10	229.00	223.00
75	219.70	213.90	241.00	265.00	267.00	266.00
100	128.62	132.29	227.90	228.00	224.00	97.20
150	141.60	138.60	274.00	256.00	232.00	235.00
200	105.01	93.30	187.40	246.00		

ตารางที่ 22 ผลทดสอบความยืดที่จุดขาด PVC 100 ส่วน + DOP 10 ส่วน + EG 10 ส่วน

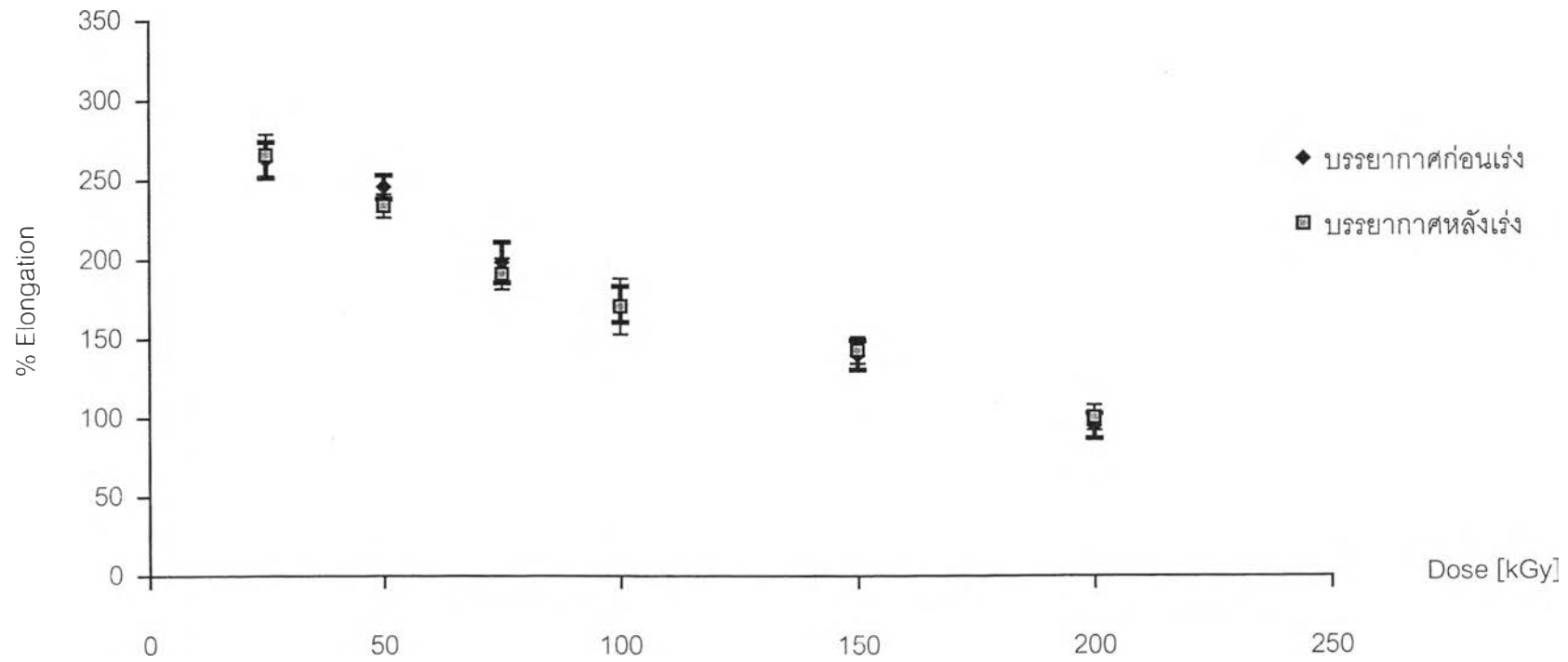
ปริมาณรังสี ดูดกลืน (kGy)	ค่ามัธยฐานความยืด (เมกะพาสคัล)					
	สภาวะปกติ		สุญญากาศ		ก๊าซเฉื่อยไนโตรเจน	
	ก่อนเร่งอายุ	หลังเร่งอายุ	ก่อนเร่งอายุ	หลังเร่งอายุ	ก่อนเร่งอายุ	หลังเร่งอายุ
0						
25	210.20	213.30	219.40	225.00	201.50	215.00
50	220.00	132.15	266.00	260.00	236.00	240.00
75	198.60	182.60	264.00	242.00	199.60	189.00
100	157.12	156.12	132.08	122.63	227.00	220.00
150	103.50	107.84	267.00	271.00	256.00	246.00
200	92.30	100.36	289.00	238.00		



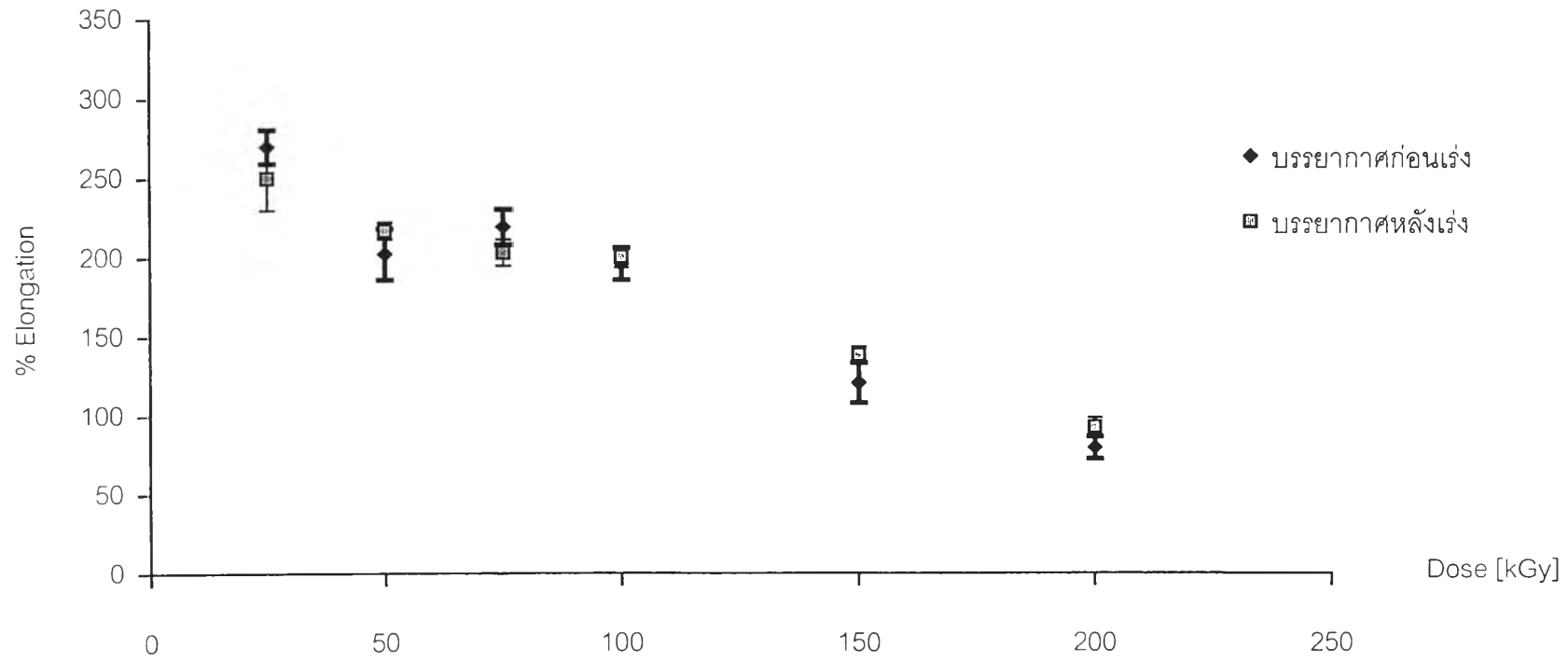
รูปที่ 4.34 กราฟผลทดสอบความยืดที่จุดขาดชิ้นงานพีวีซี 100 ส่วน ฉายรังสีภายใต้สภาวะบรยากาศ



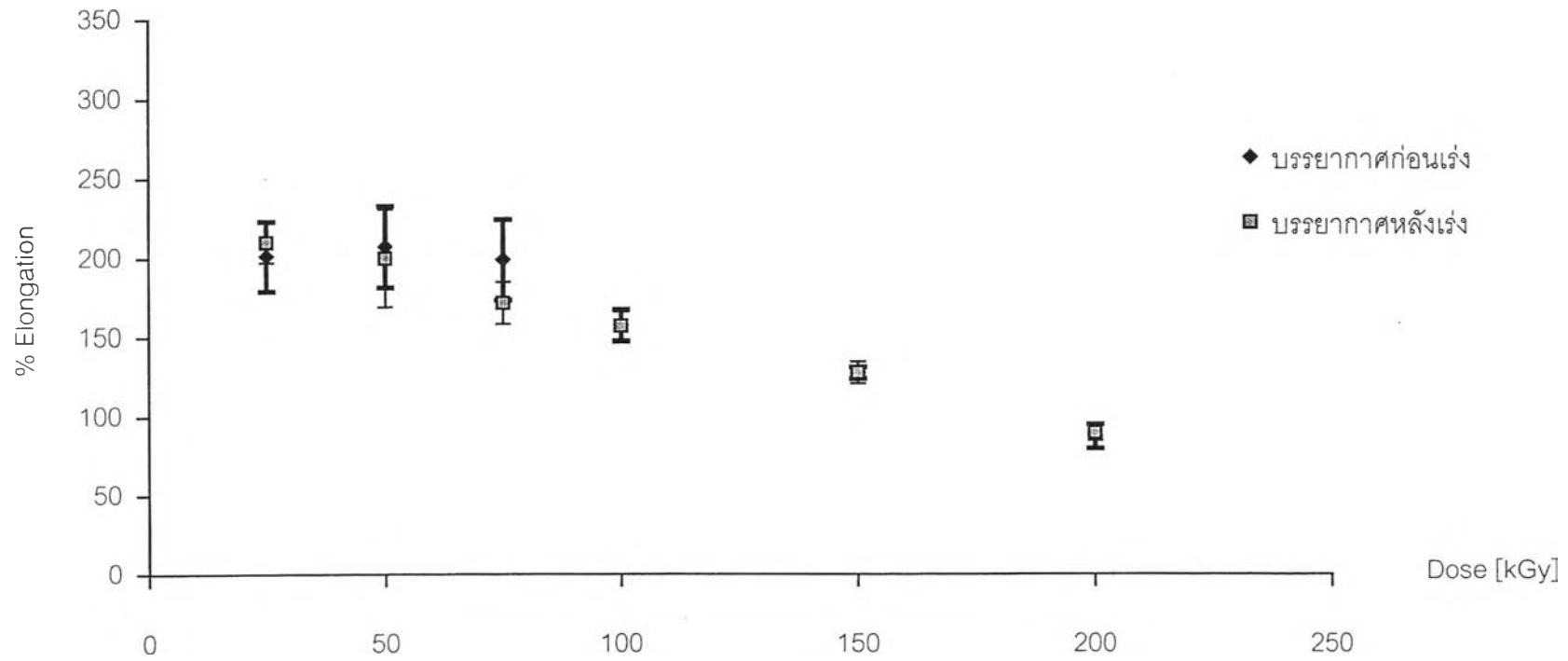
รูปที่ 4.35 กราฟผลทดสอบความยืดที่จุดขาดชิ้นงานพีวีซี 100 ส่วน + DOP 5 ส่วน ฉายรังสีภายใต้สภาวะบรยากาศ



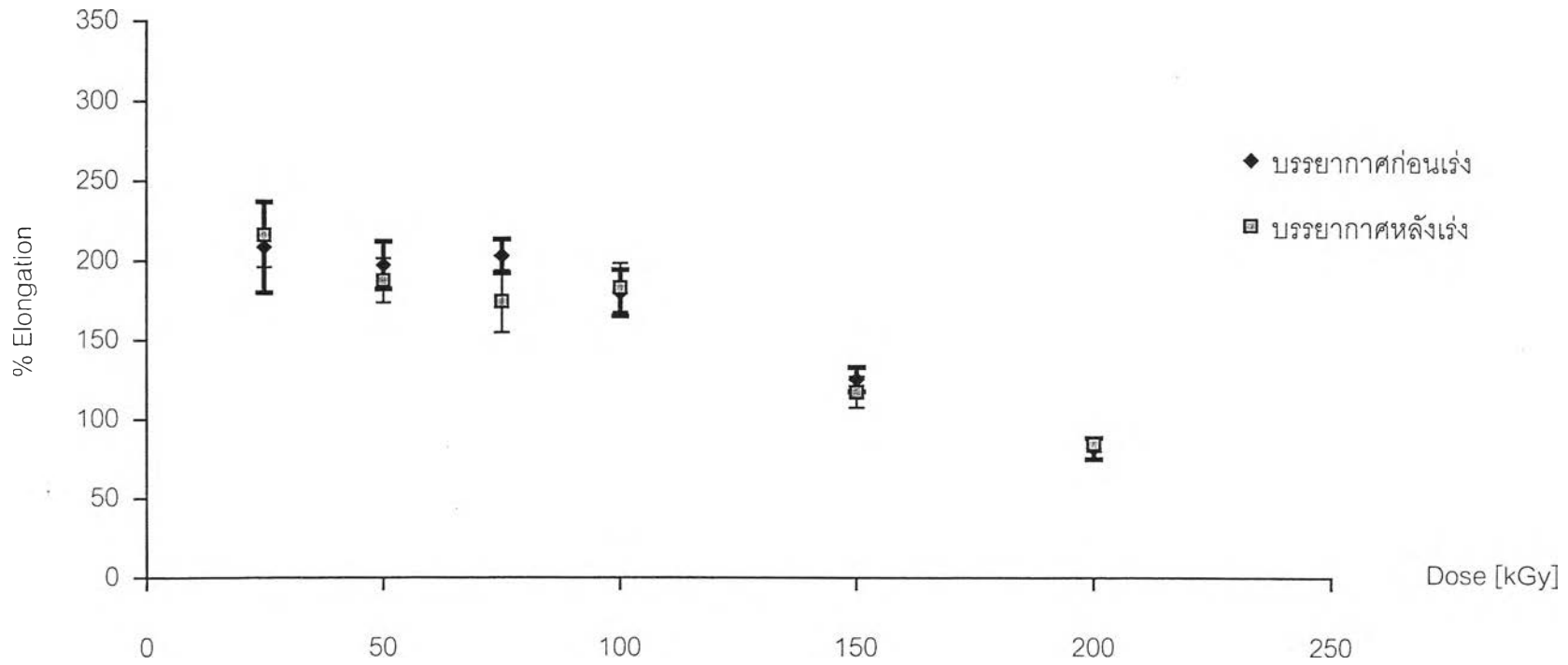
รูปที่ 4.36 กราฟผลทดสอบความยืดที่จุดขาดชิ้นงานพีวีซี 100 ส่วน + DOP 10 ส่วน ฉายรังสีภายใต้สภาวะบรรยากาศ



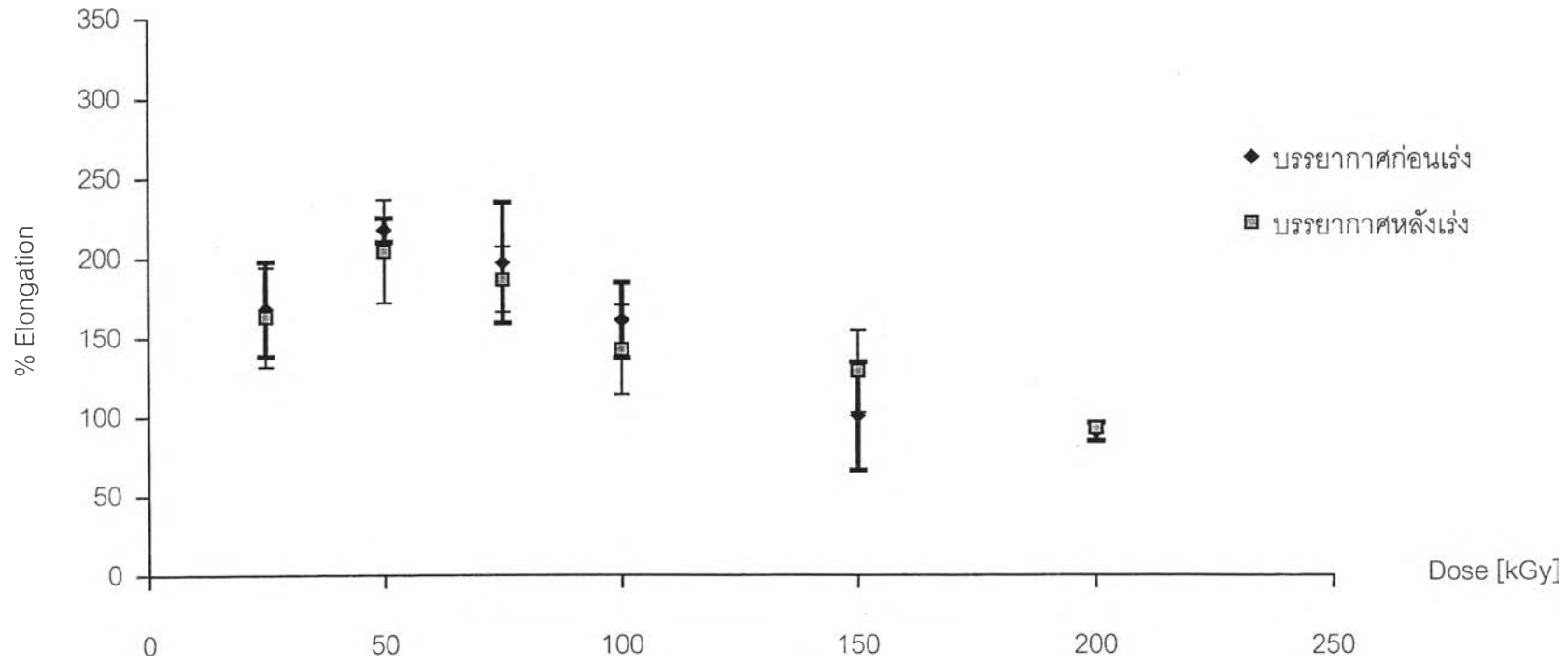
รูปที่ 4.37 กราฟผลทดสอบความยืดที่จุดขาดชิ้นงานพีวีซี 100 ส่วน + DOP 15 ส่วน ฉายรังสีภายใต้สภาวะบรรยากาศ



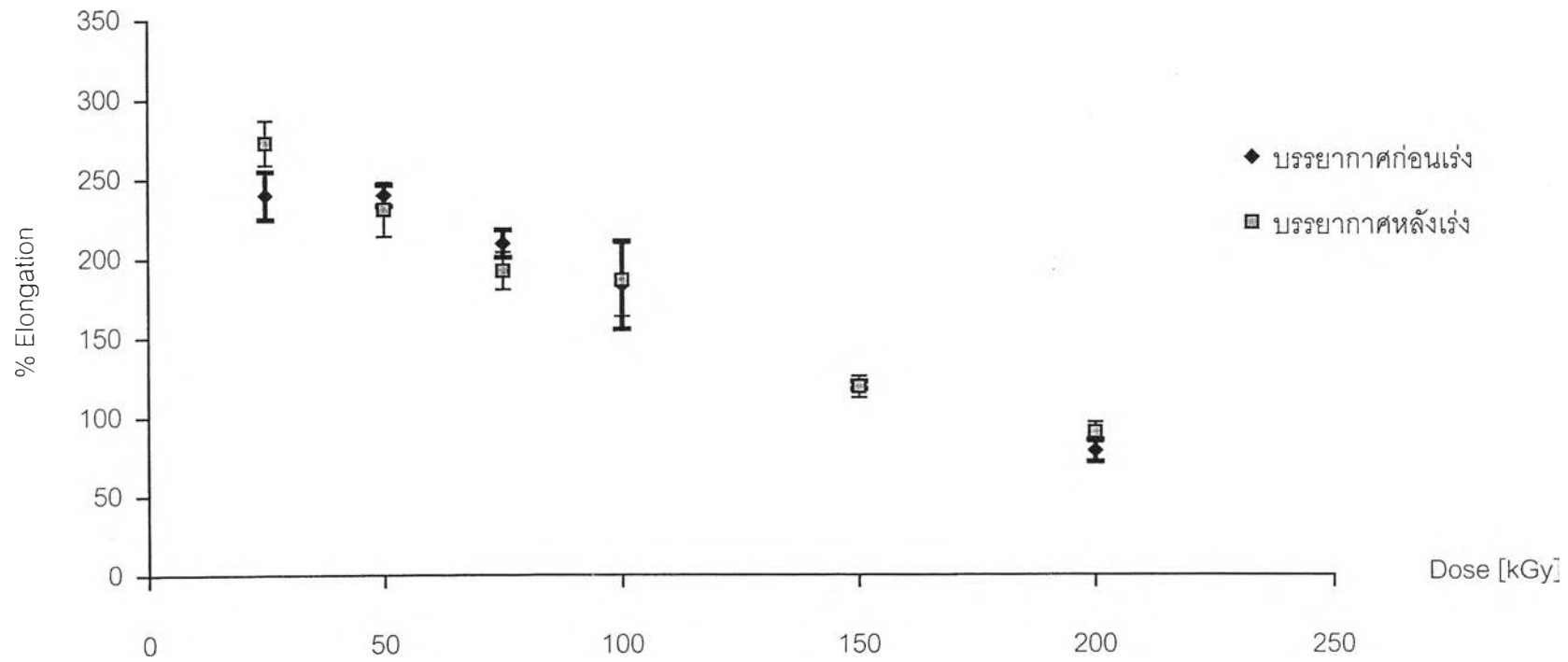
รูปที่ 4.38 กราฟผลทดสอบความยืดที่จุดขาดชิ้นงานพีวีซี 100 ส่วน + EG 5 ส่วน ฉายรังสีภายใต้สภาวะบรยากาศ



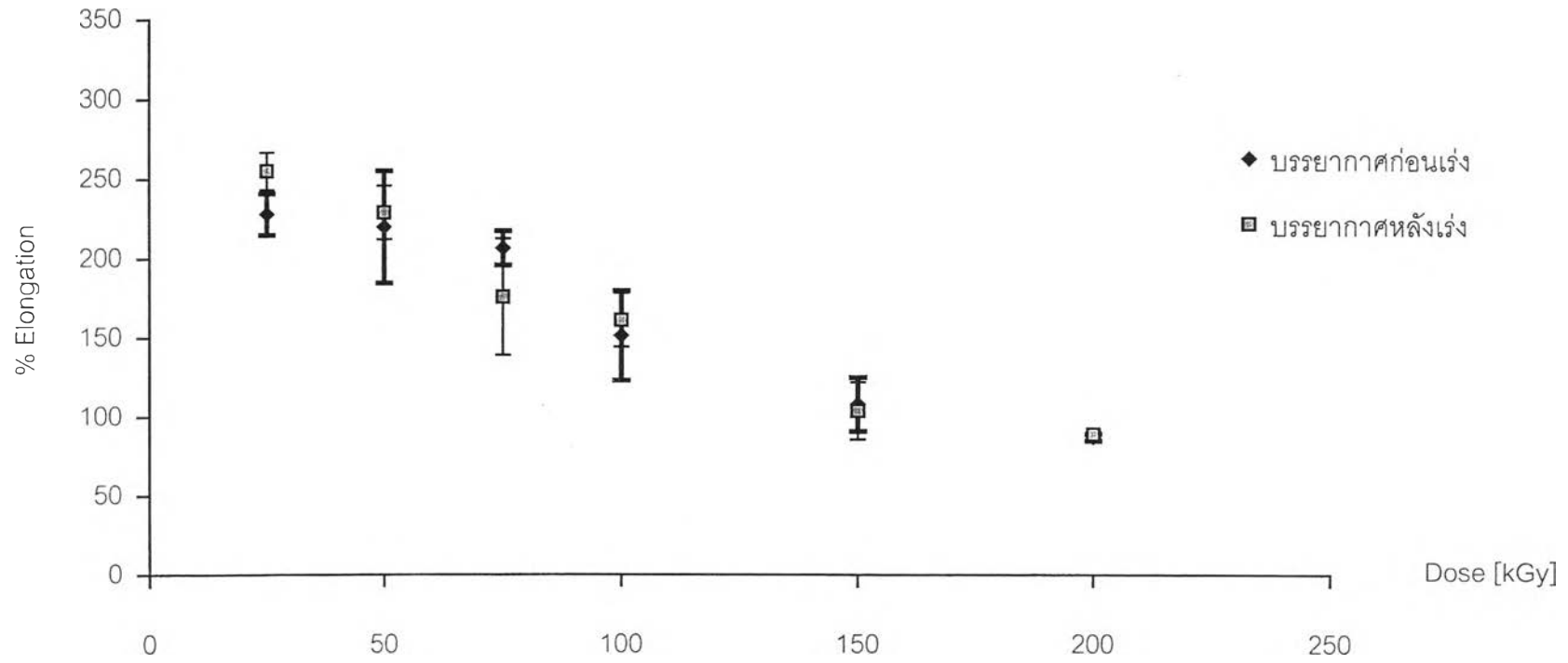
รูปที่ 4.39 กราฟผลทดสอบความยืดที่จุดขาดชิ้นงานพีวีซี 100 ส่วน + EG 10 ส่วน ฉายรังสีภายใต้สภาวะบรรยากาศ



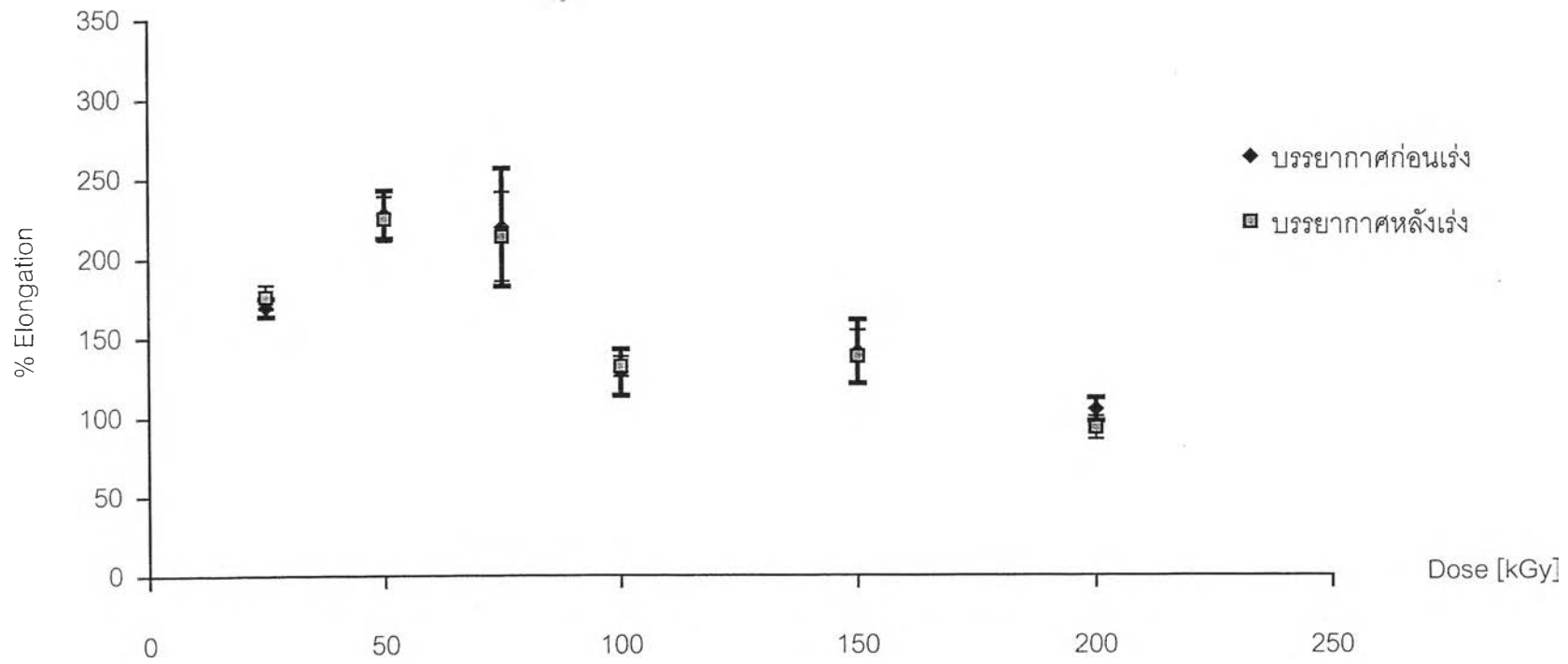
รูปที่ 4.40 กราฟผลทดสอบความยืดที่จุดขาดชิ้นงานพีวีซี 100 ส่วน + EG 15 ส่วน ฉายรังสีภายใต้สภาวะบรรจุอากาศ



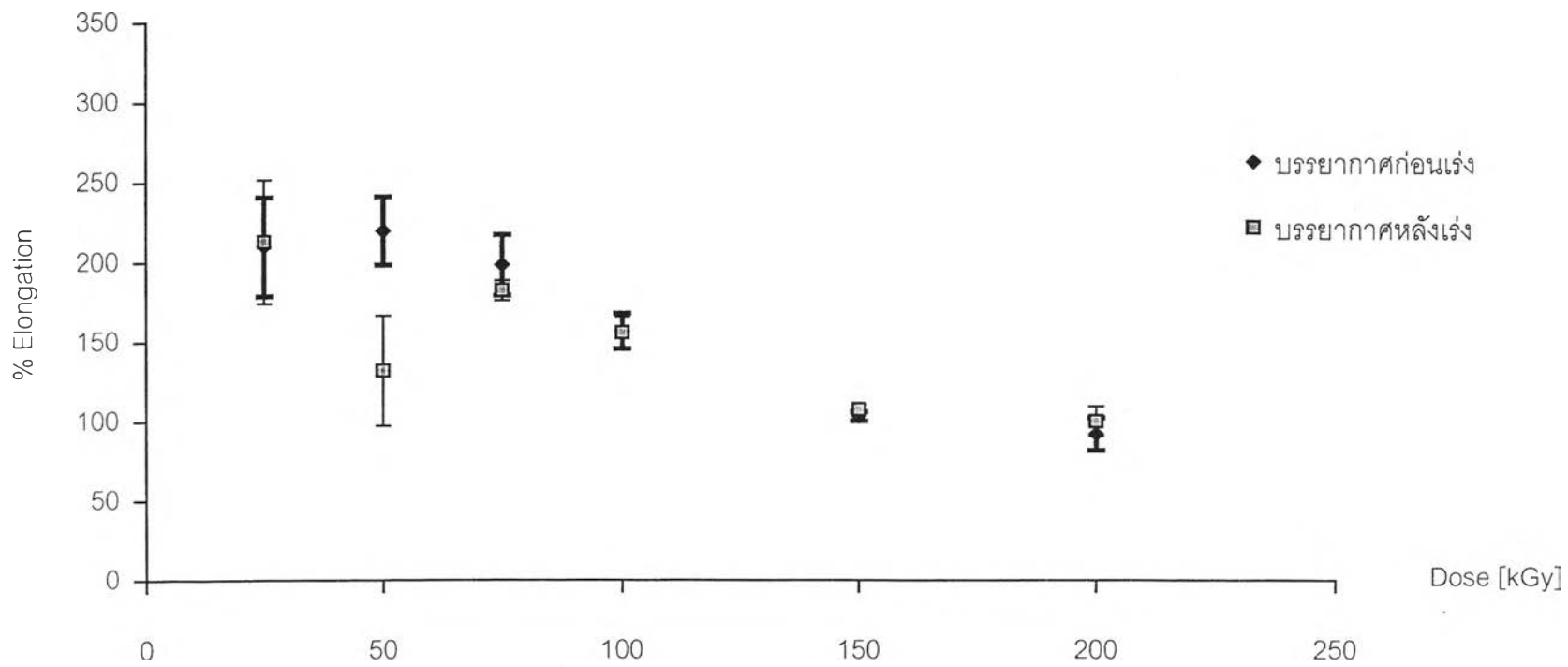
รูปที่ 4.41 กราฟผลทดสอบความยืดที่จุดขาดชิ้นงานพีวีซี 100 ส่วน + DOP 5 ส่วน + EG 5 ส่วน ฉายรังสีภายใต้สภาวะบรยากาศ



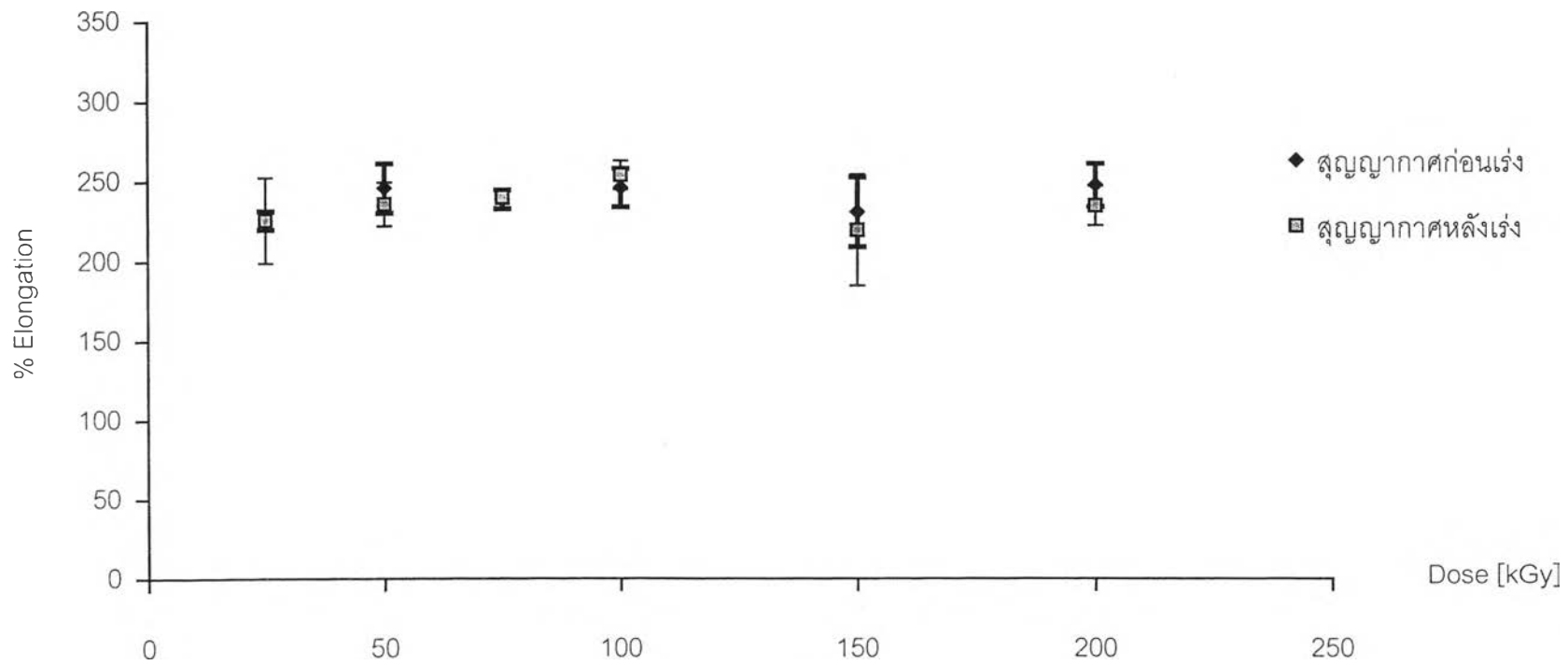
รูปที่ 4.42 กราฟผลทดสอบความยืดที่จุดขาดชิ้นงานพีวีซี 100 ส่วน + DOP 5 ส่วน + EG 10 ส่วน ฉายรังสีภายใต้สภาวะบรรยากาศ



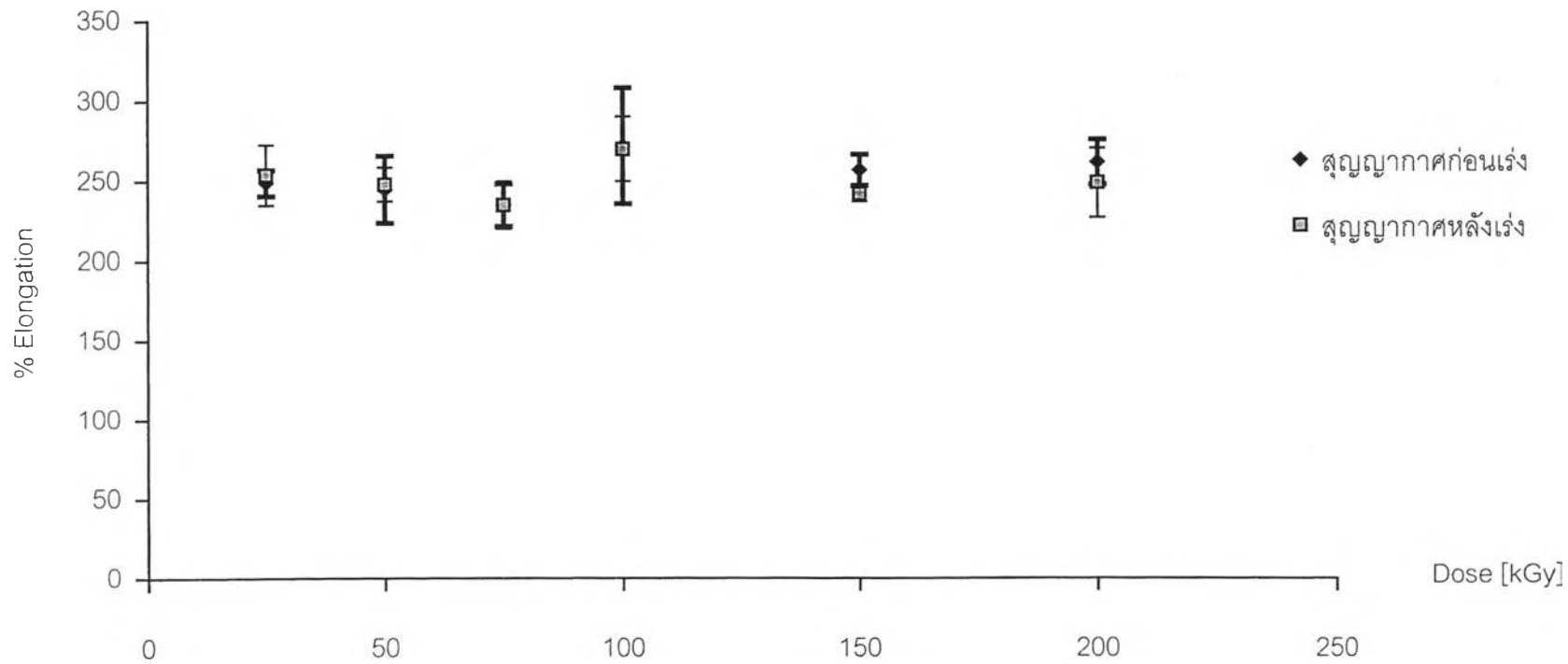
รูปที่ 4.43 กราฟผลทดสอบความยืดที่จุดขาดชิ้นงานพีวีซี 100 ส่วน + DOP 10 ส่วน + EG 5 ส่วน ฉายรังสีภายใต้สภาวะบรรยากาศ



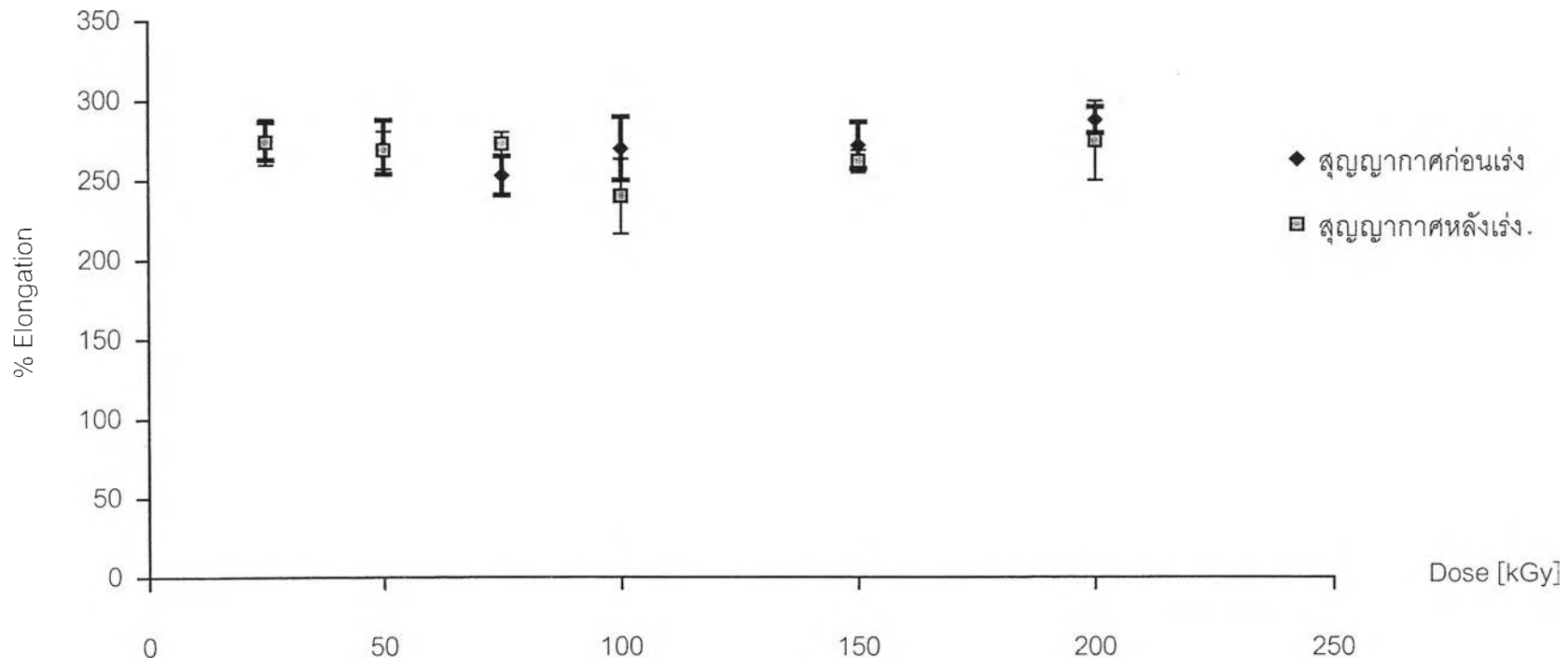
รูปที่ 4.44 กราฟผลทดสอบความยืดที่จุดขาดชิ้นงานพีวีซี 100 ส่วน + DOP 10 ส่วน + EG 10 ส่วน ฉายรังสีภายใต้สภาวะบรรยากาศ



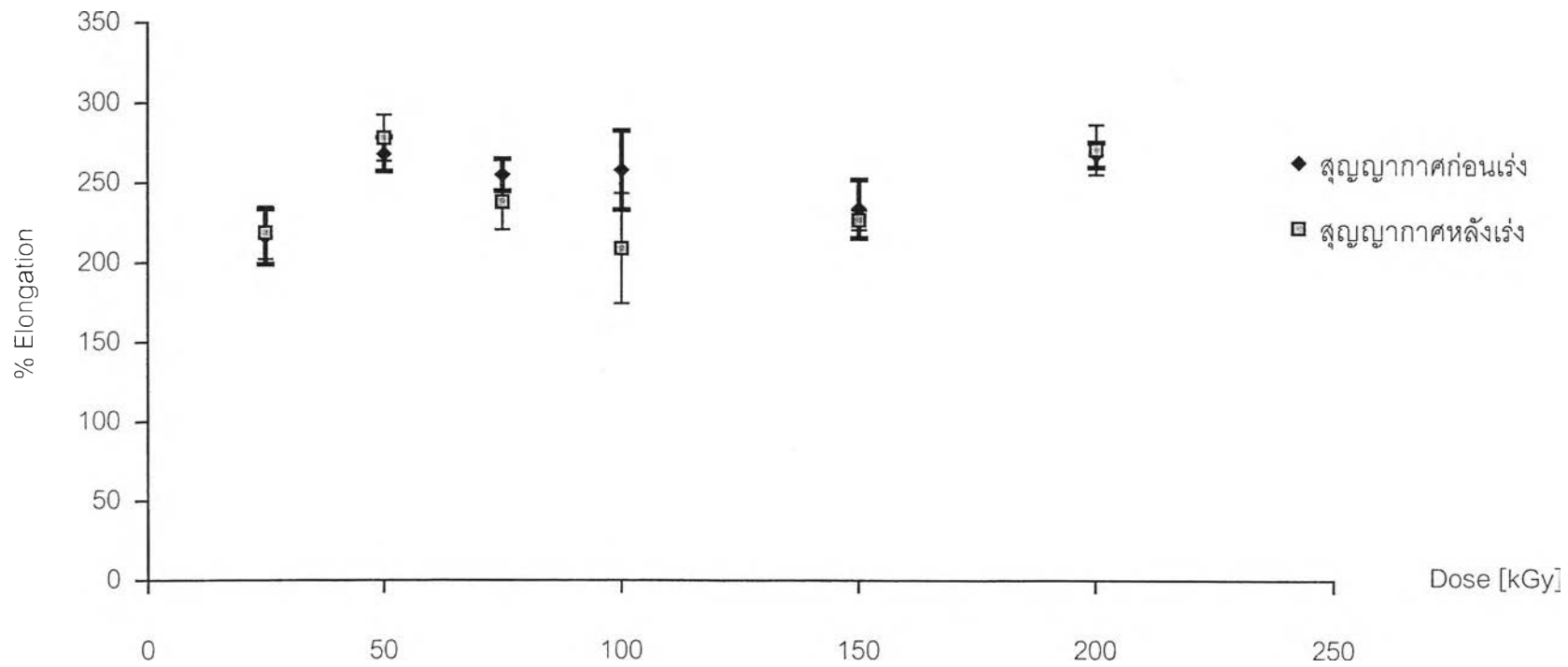
รูปที่ 4.45 กราฟผลทดสอบความยืดที่จุดขาดชิ้นงานพีวีซี 100 ส่วน ฉายรังสีภายใต้สภาวะสุญญากาศ



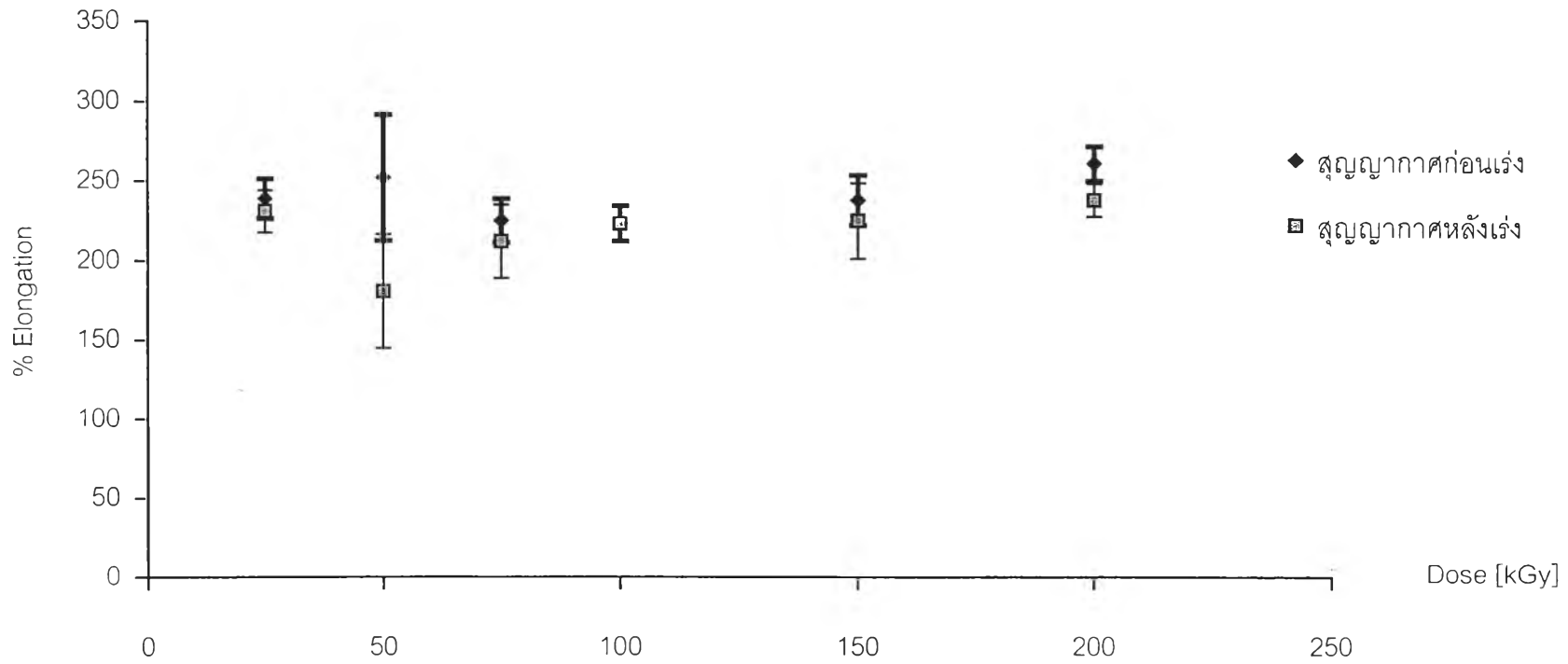
รูปที่ 4.46 กราฟผลทดสอบความยืดที่จุดขาดชิ้นงานพีวีซี 100 ส่วน + DOP 5 ส่วน ฉายรังสีภายใต้สภาวะสุญญากาศ



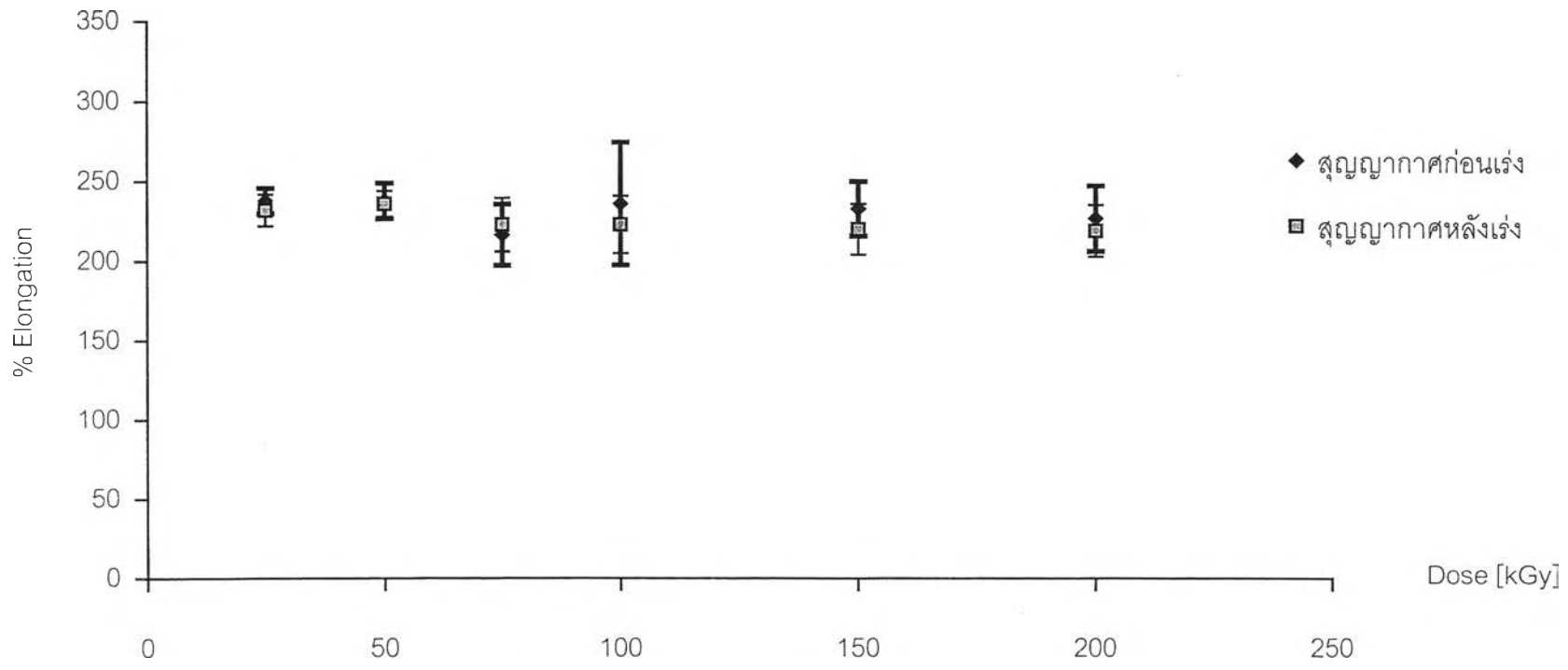
รูปที่ 4.47 กราฟผลทดสอบความยืดที่จุดขาดชิ้นงานพีวีซี 100 ส่วน + DOP 10 ส่วน ฉายรังสีภายใต้สภาวะสุญญากาศ



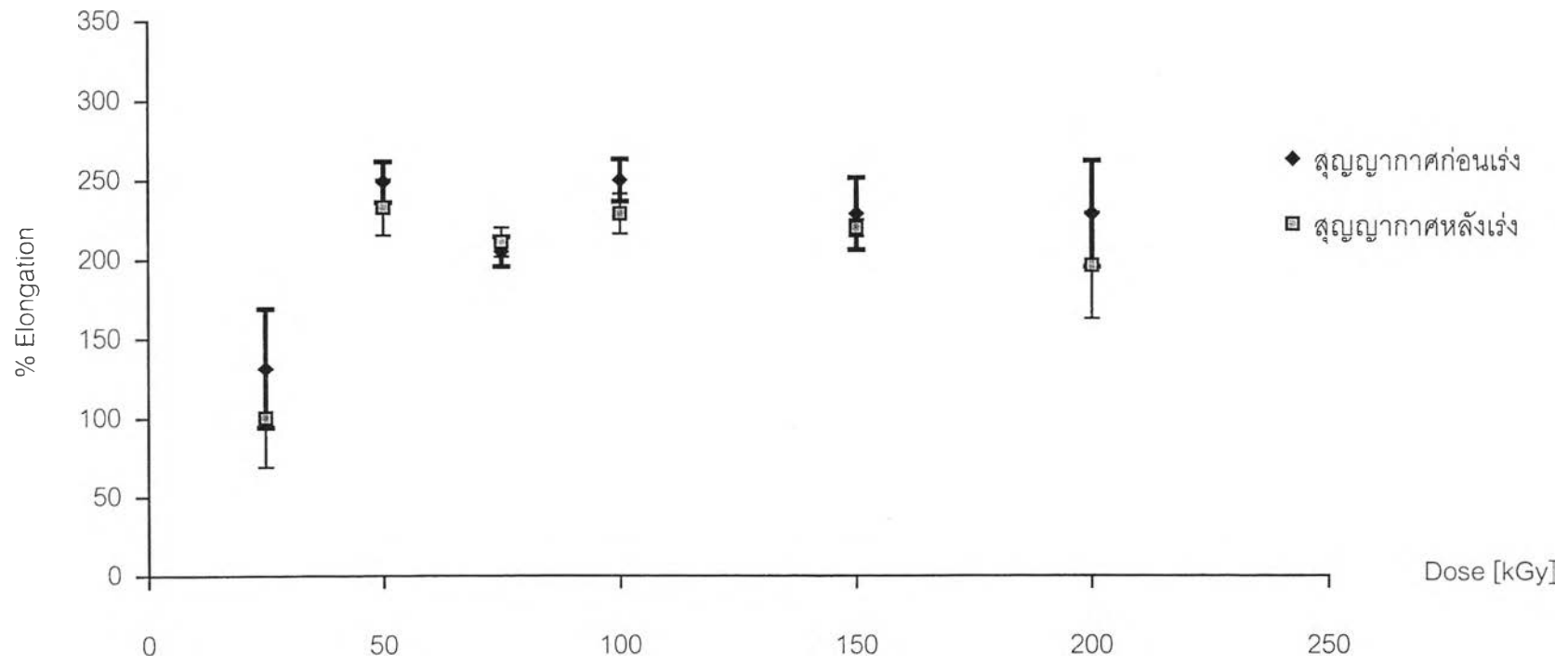
รูปที่ 4.48 กราฟผลทดสอบความยืดที่จุดขาดชิ้นงานพีวีซี 100 ส่วน + DOP 15 ส่วน ฉายรังสีภายใต้สภาวะสุญญากาศ



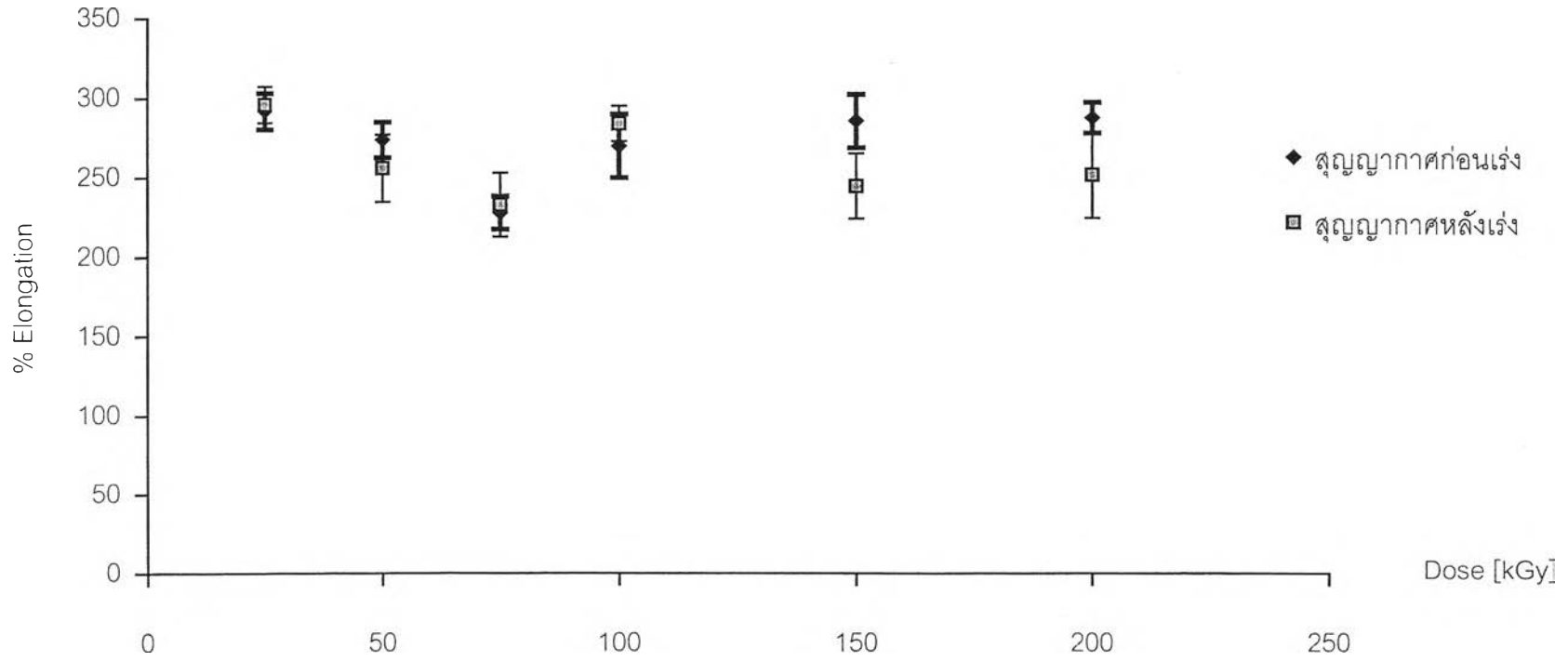
รูปที่ 4.49 กราฟผลทดสอบความยืดที่จุดขาดชิ้นงานพีวีซี 100 ส่วน + EG 5 ส่วน ฉายรังสีภายใต้สภาวะสุญญากาศ



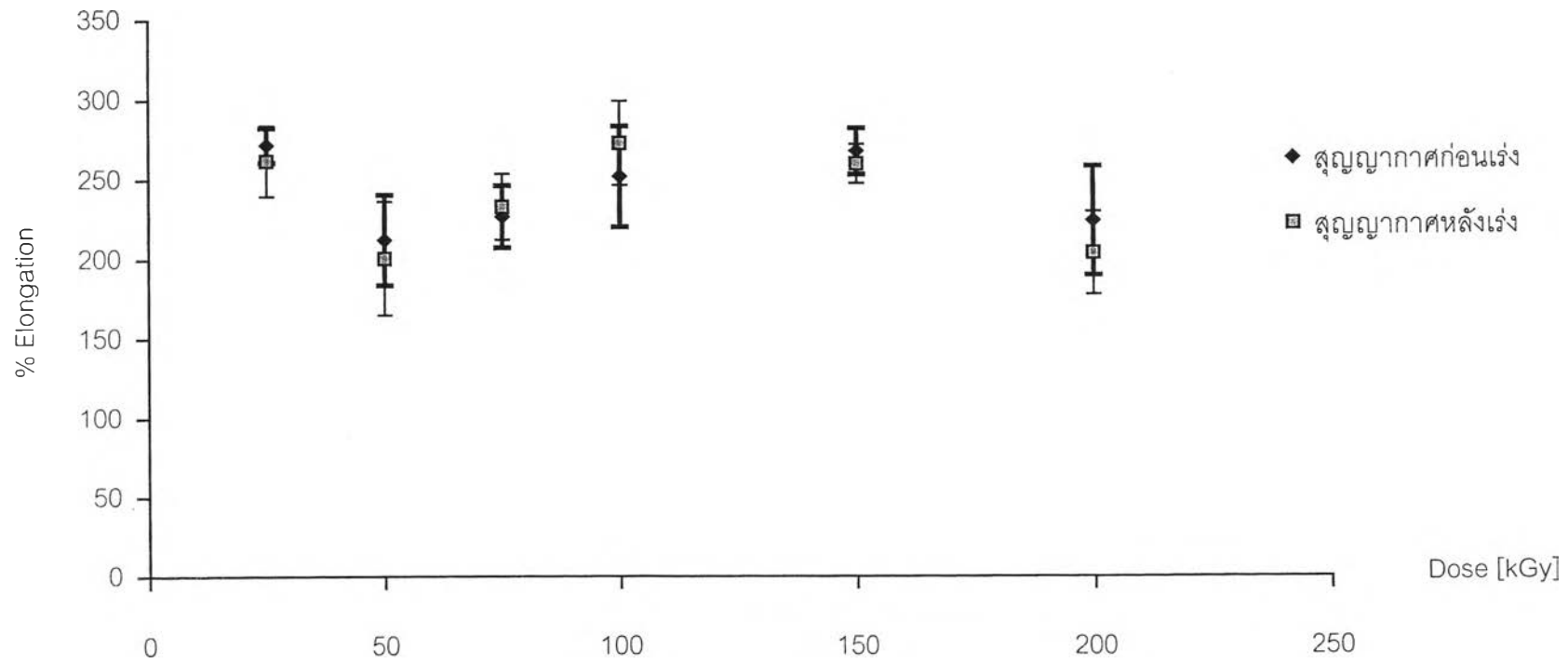
รูปที่ 4.50 กราฟผลทดสอบความยืดที่จุดขาดชิ้นงานพีวีซี 100 ส่วน + EG 10 ส่วน ฉายรังสีภายใต้สภาวะสุญญากาศ



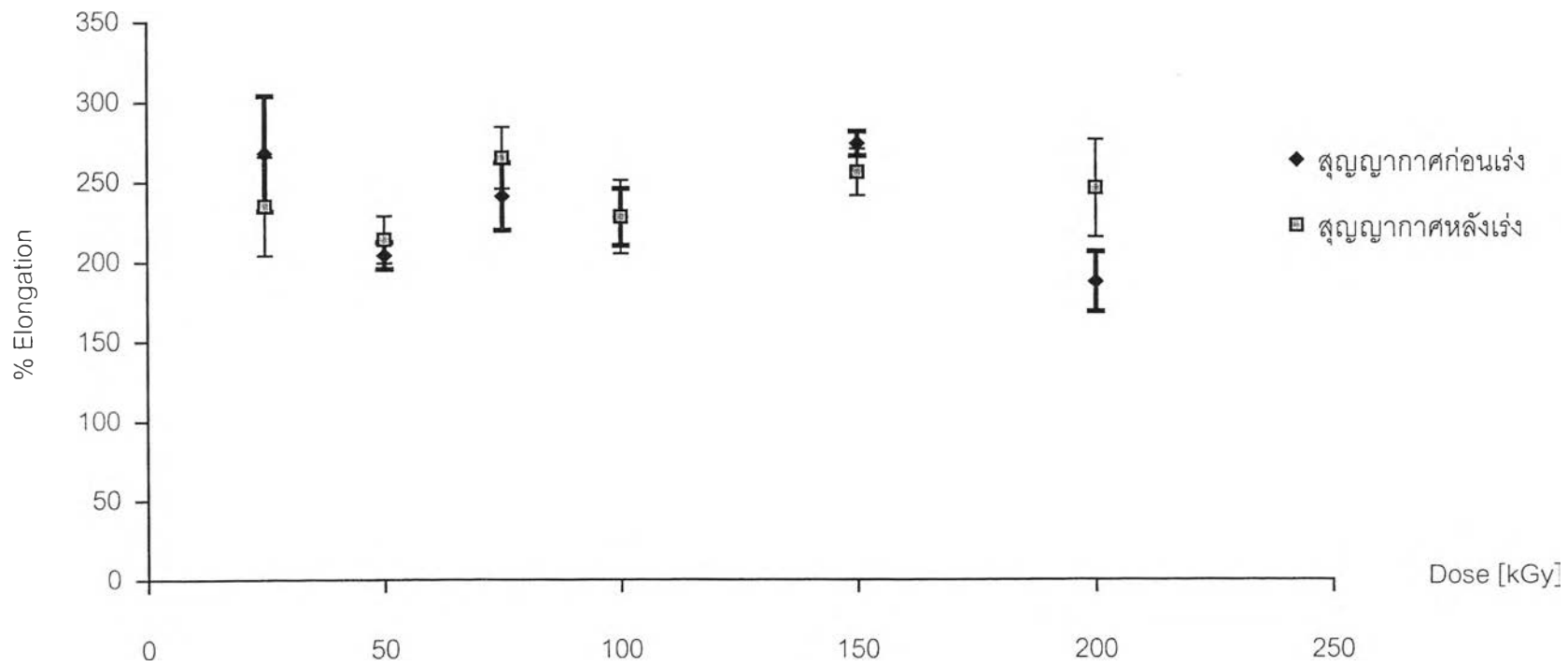
รูปที่ 4.51 กราฟผลทดสอบความยืดที่จุดขาดชิ้นงานพีวีซี 100 ส่วน + EG 15 ส่วน ฉายรังสีภายใต้สภาวะสุญญากาศ



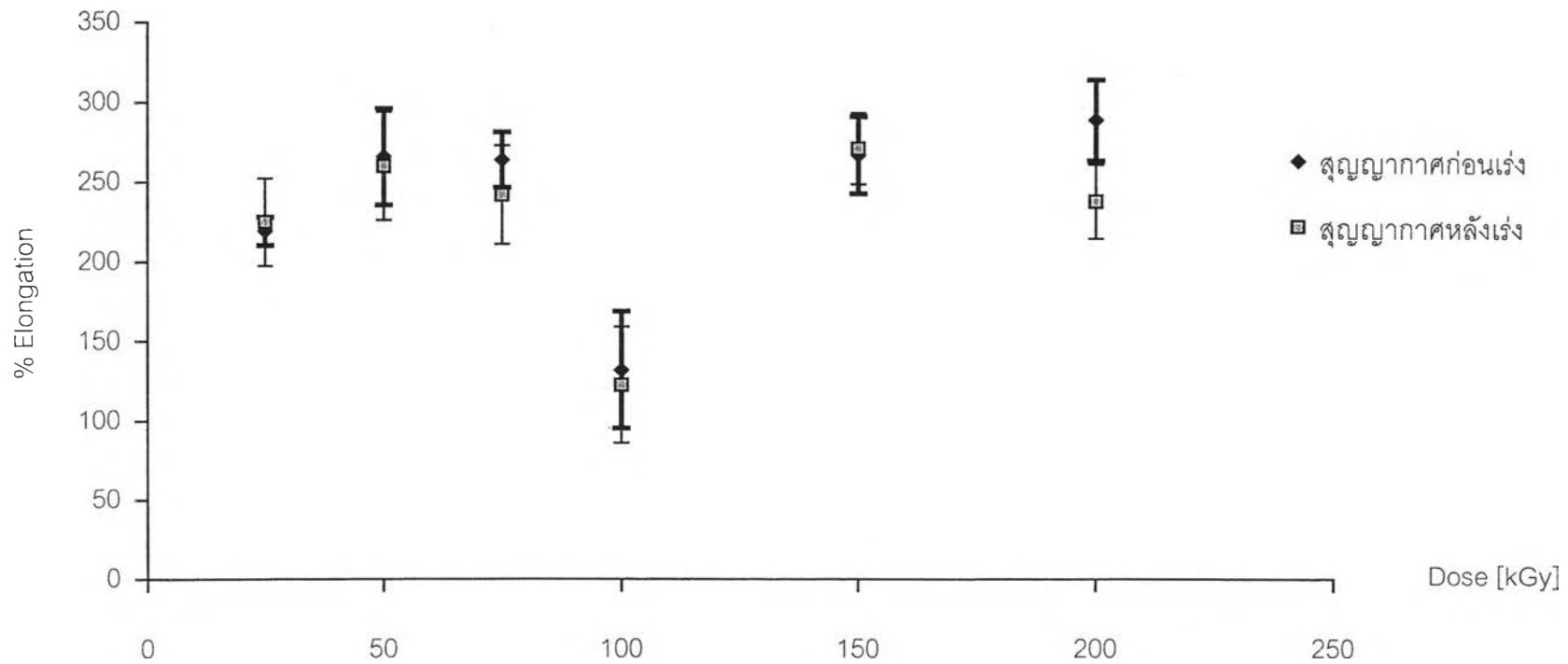
รูปที่ 4.52 กราฟผลทดสอบความยืดหยุ่นที่จุดขาดชิ้นงานพีวีซี 100 ส่วน + DOP 5 ส่วน + EG 5 ส่วน ฉายรังสีภายใต้สภาวะสุญญากาศ



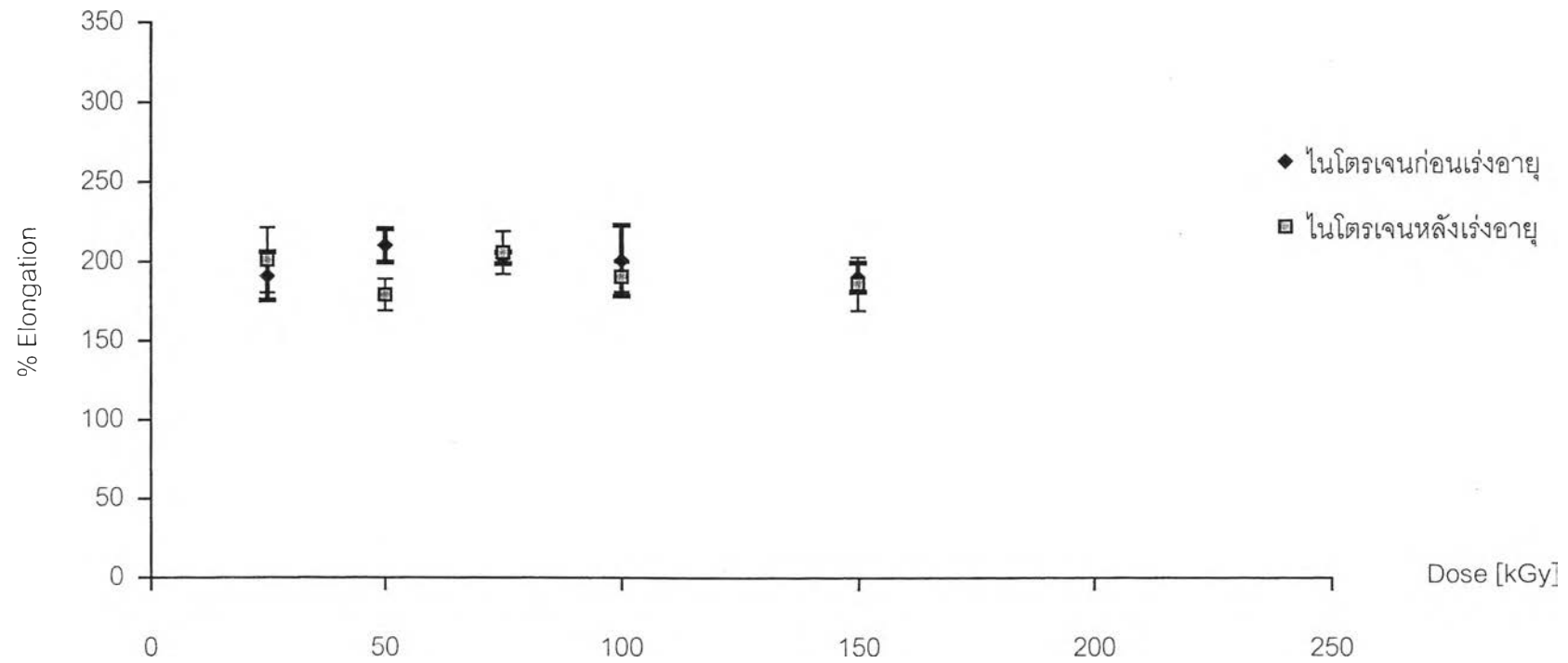
รูปที่ 4.53 กราฟผลทดสอบความยืดที่จุดขาดชิ้นงานพีวีซี 100 ส่วน + DOP 5 ส่วน + EG 10 ส่วน ฉายรังสีภายใต้สภาวะสุญญากาศ



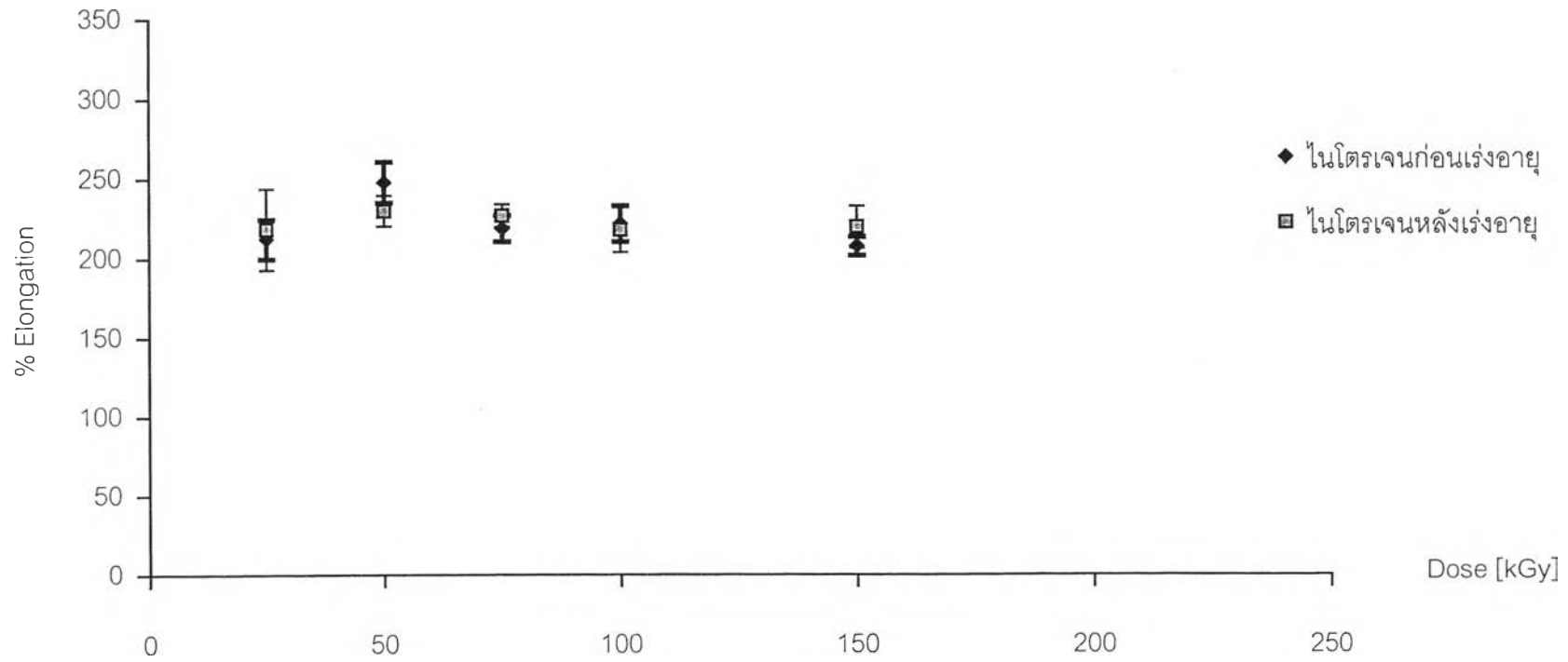
รูปที่ 4.54 กราฟผลทดสอบความยืดที่จุดขาดชิ้นงานพีวีซี 100 ส่วน + DOP 10 ส่วน + EG 5 ส่วน ฉายรังสีภายใต้สภาวะสุญญากาศ



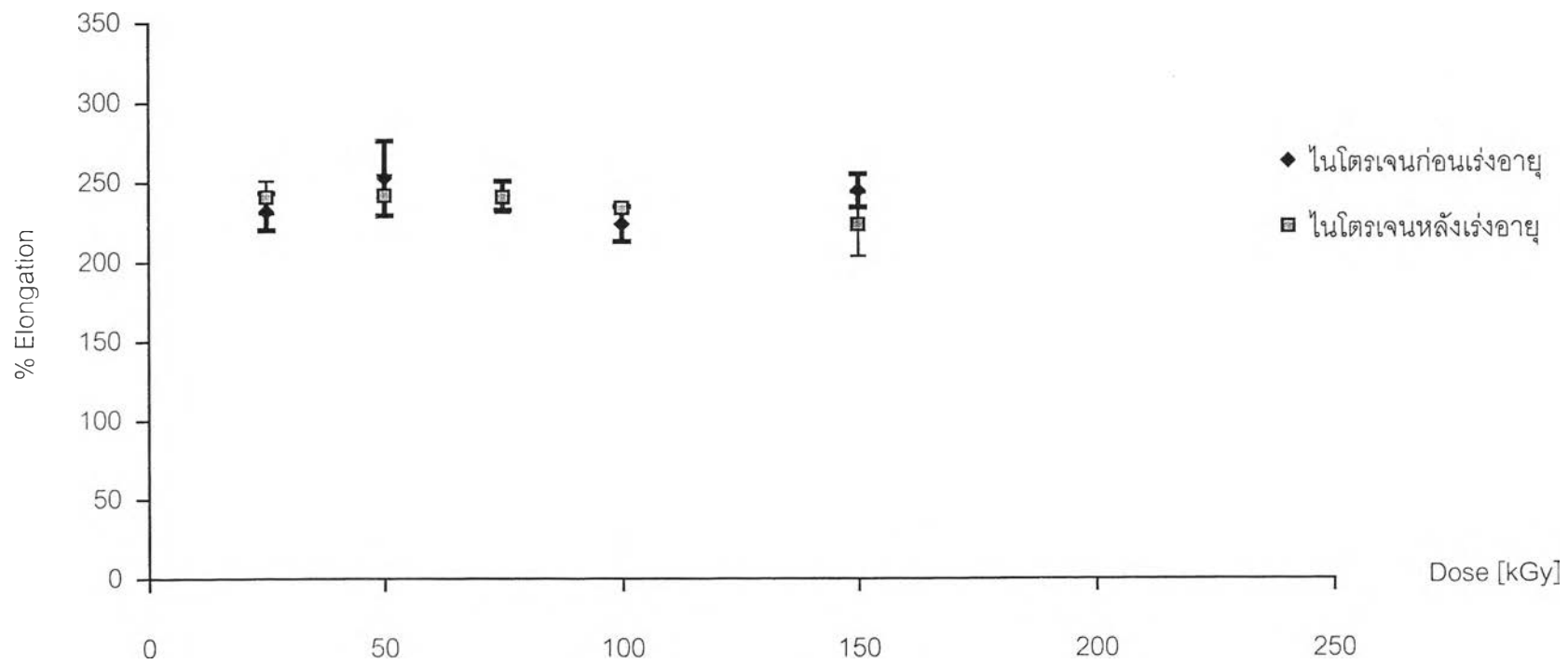
รูปที่ 4.55 กราฟผลทดสอบความยืดที่จุดขาดชิ้นงานพีวีซี 100 ส่วน + DOP 10 ส่วน + EG 10 ส่วน ฉายรังสีภายใต้สภาวะสุญญากาศ



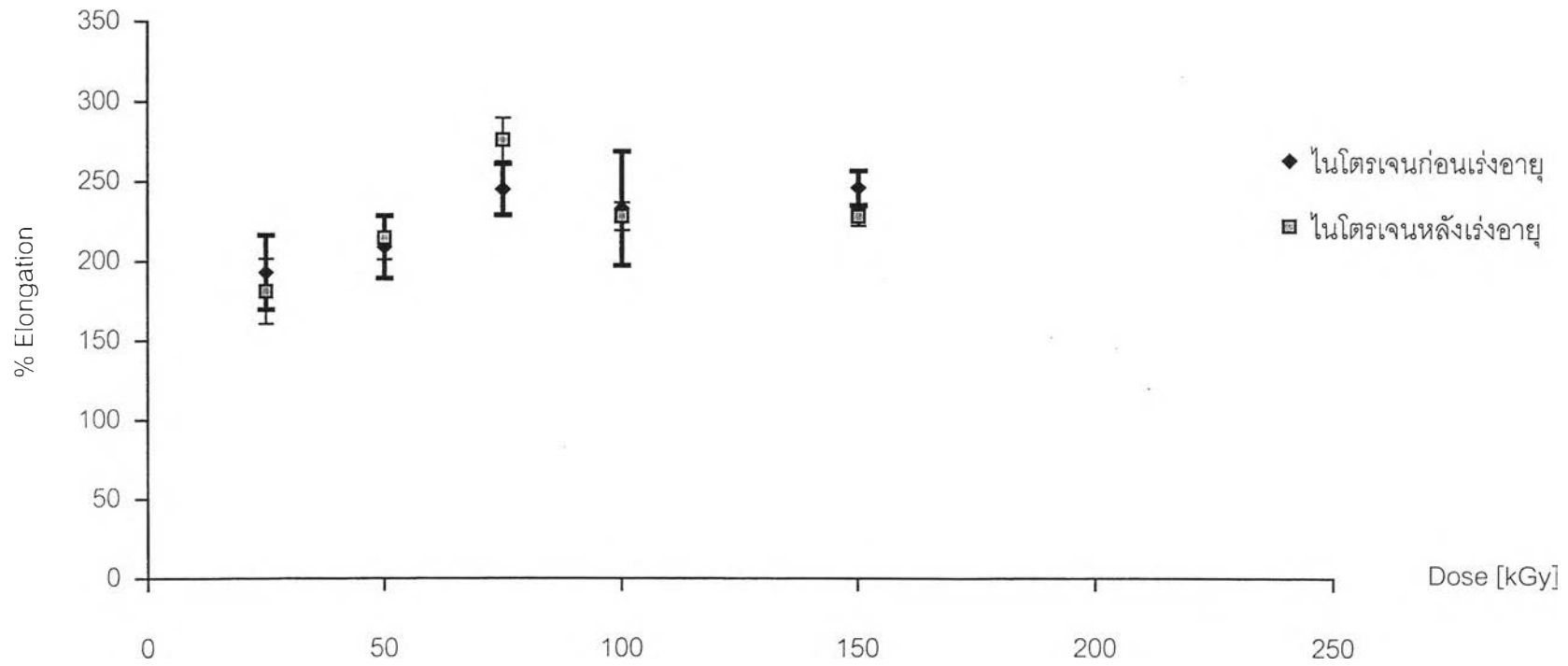
รูปที่ 4.56 กราฟผลทดสอบความยืดที่จุดขาดชิ้นงานพีวีซี 100 ส่วน ฉายรังสีภายใต้สภาวะก๊าซเฉื่อยไนโตรเจน



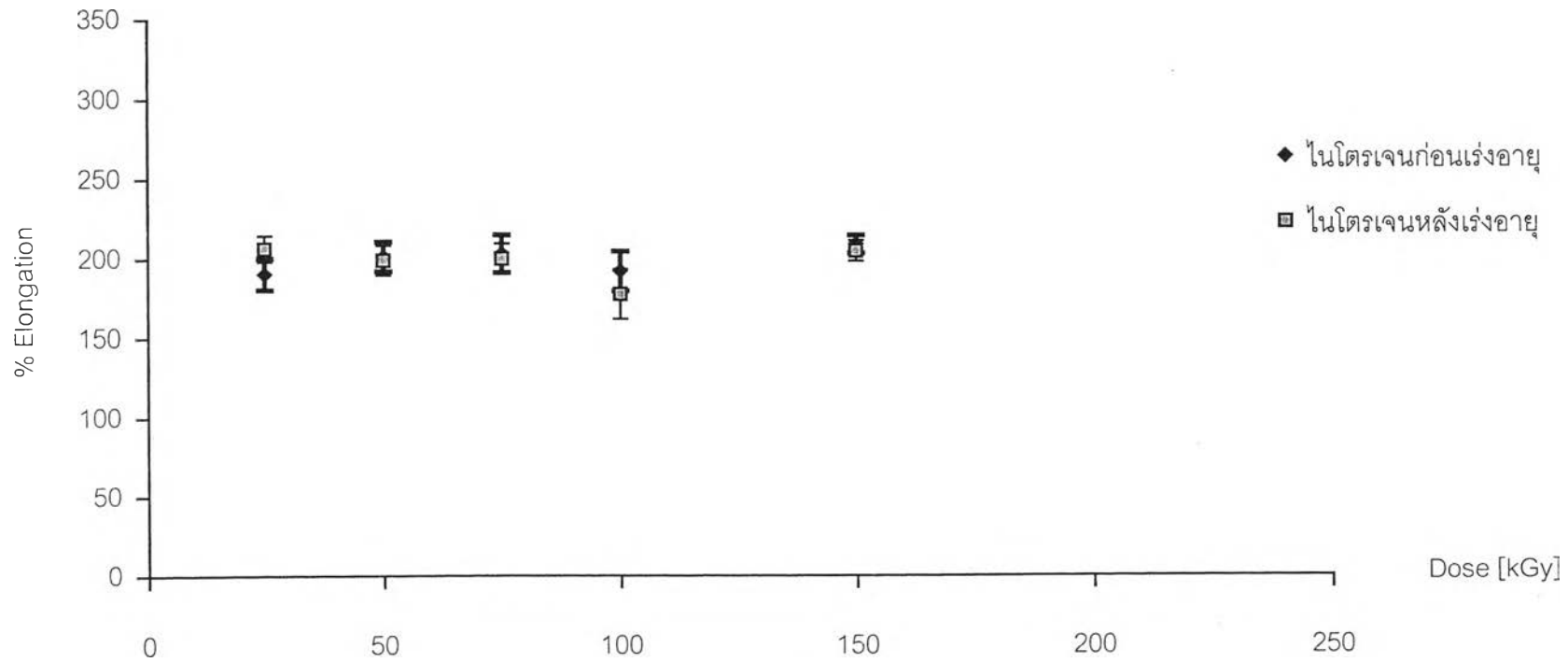
รูปที่ 4.57 กราฟผลทดสอบความยืดที่จุดขาดชิ้นงานพีวีซี 100 ส่วน + DOP 5 ส่วน ฉายรังสีภายใต้สภาวะก๊าซเฉื่อยไนโตรเจน



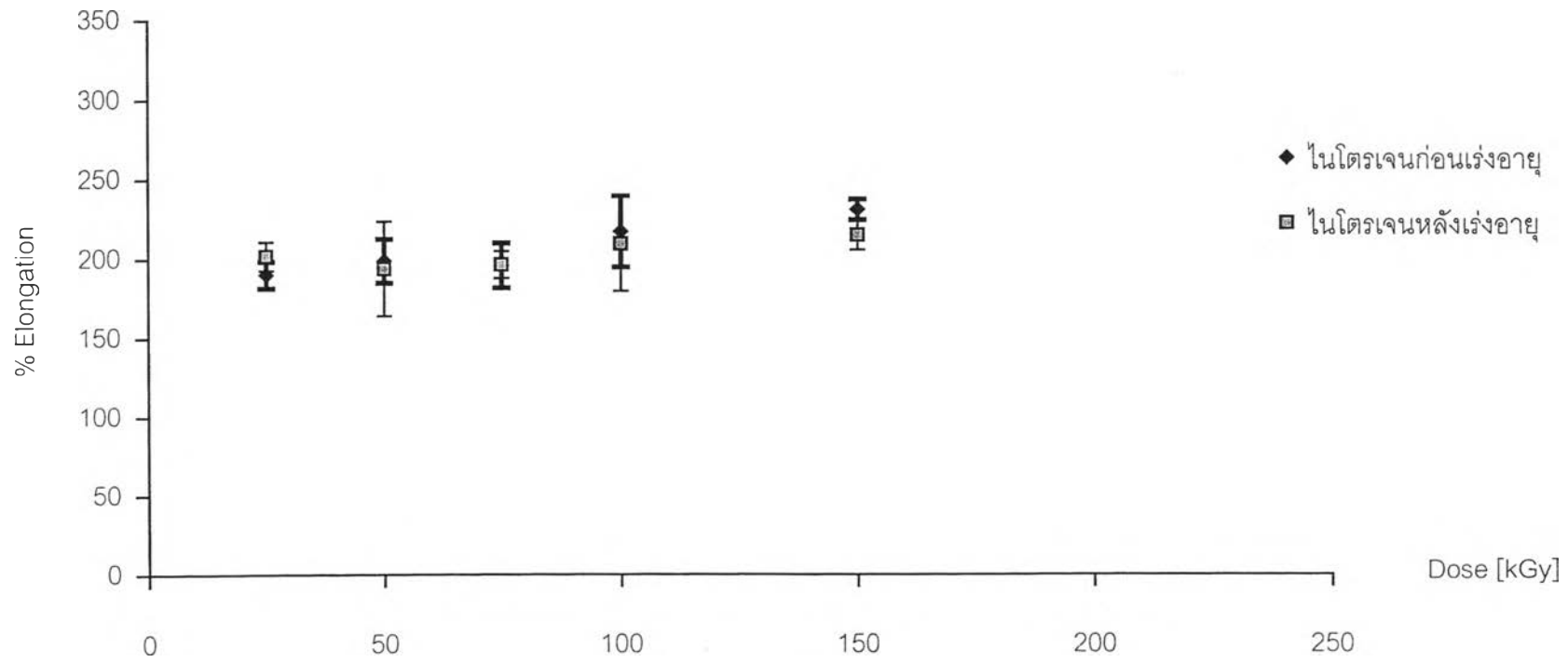
รูปที่ 4.58 กราฟผลทดสอบความยืดที่จุดขาดชิ้นงานพีวีซี 100 ส่วน + DOP 10 ส่วน ฉายรังสีภายใต้สภาวะก๊าซเฉื่อยไนโตรเจน



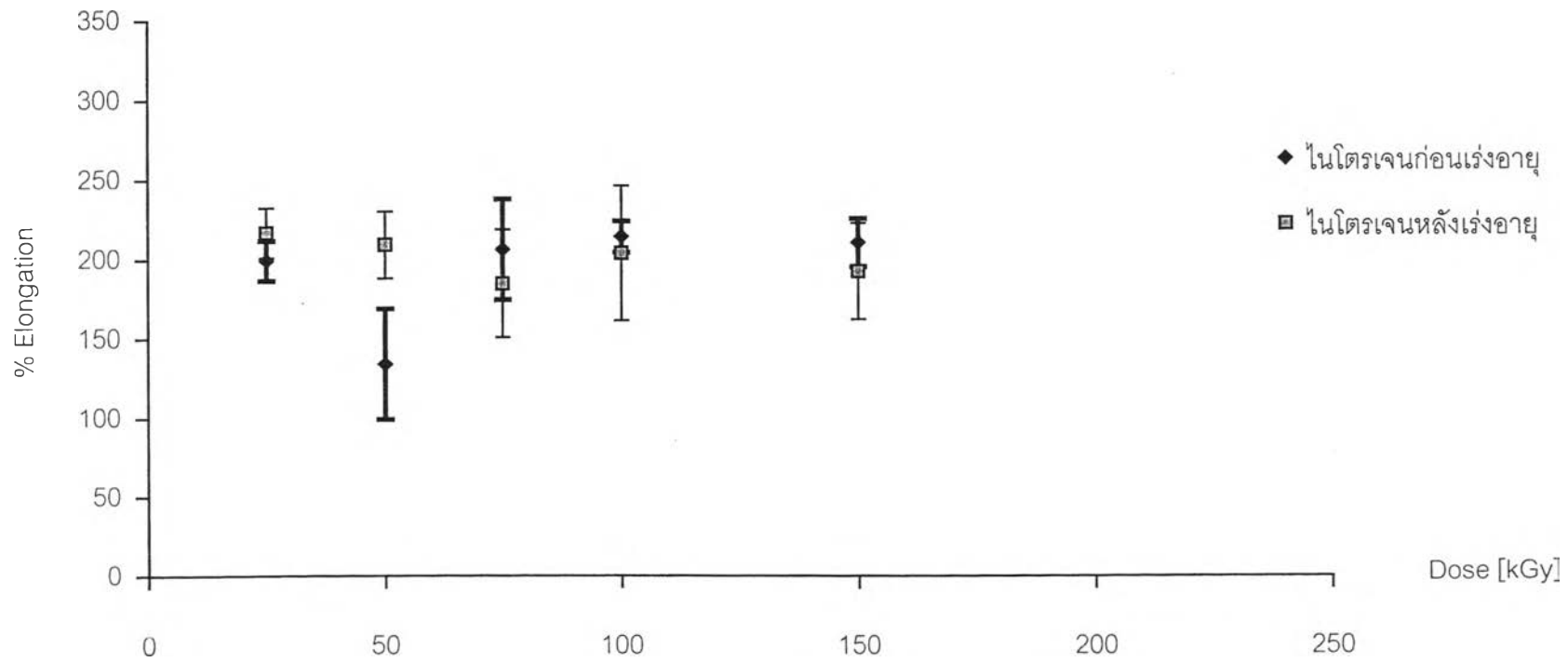
รูปที่ 4.59 กราฟผลทดสอบความยืดที่จุดขาดชิ้นงานพีวีซี 100 ส่วน + DOP 15 ส่วน ฉายรังสีภายใต้สภาวะก๊าซเฉื่อยไนโตรเจน



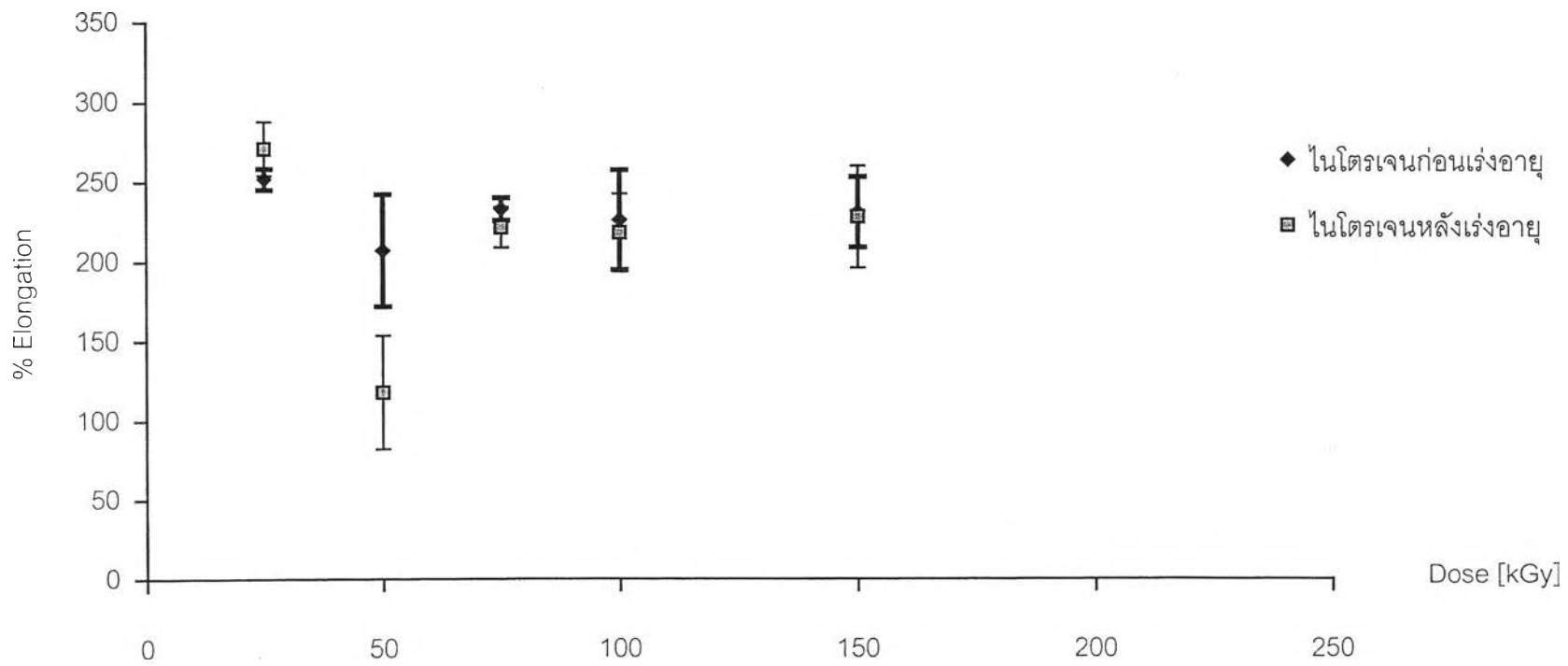
รูปที่ 4.60 กราฟผลทดสอบความยืดที่จุดขาดชิ้นงานพีวีซี 100 ส่วน + EG 5 ส่วน ฉายรังสีภายใต้สภาวะก๊าซเฉื่อยไนโตรเจน



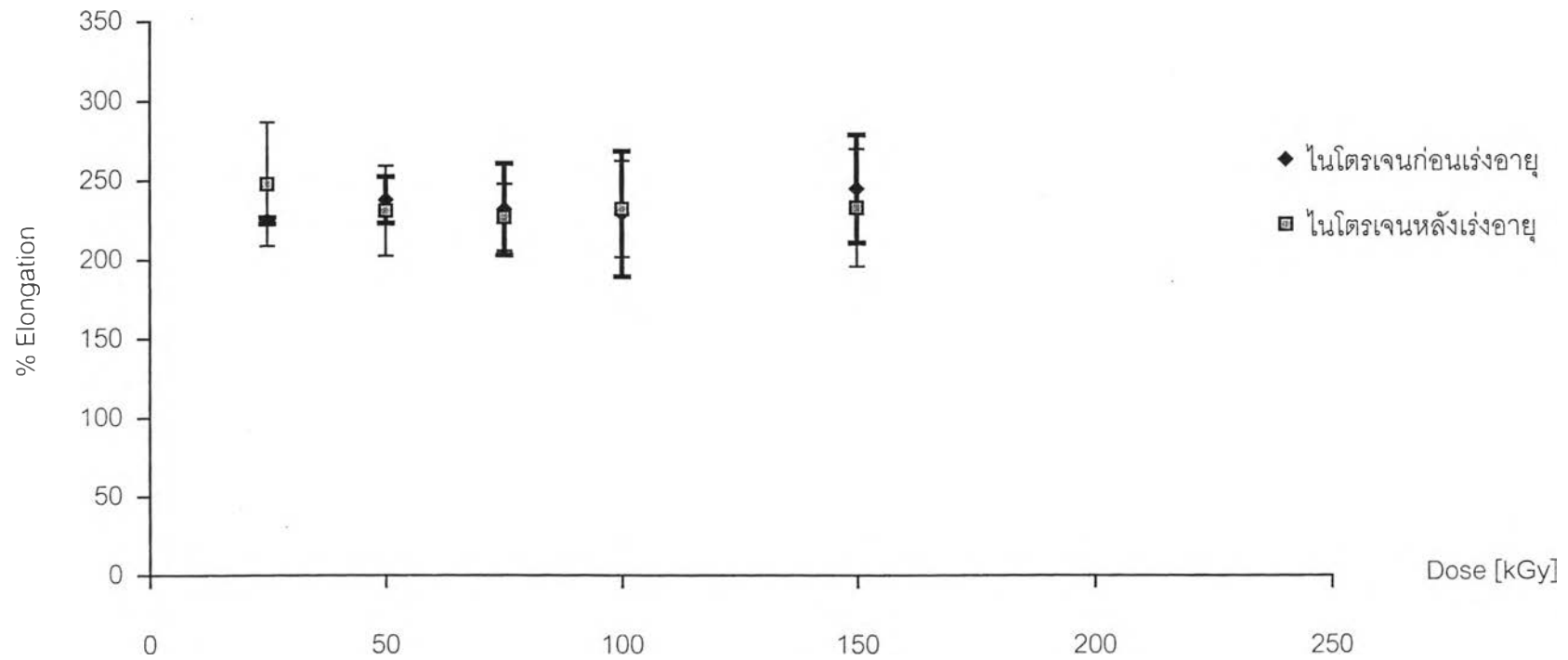
รูปที่ 4.61 กราฟผลทดสอบความยืดที่จุดขาดชิ้นงานพีวีซี 100 ส่วน + EG 10 ส่วน ฉายรังสีภายใต้สภาวะก๊าซเฉื่อยไนโตรเจน



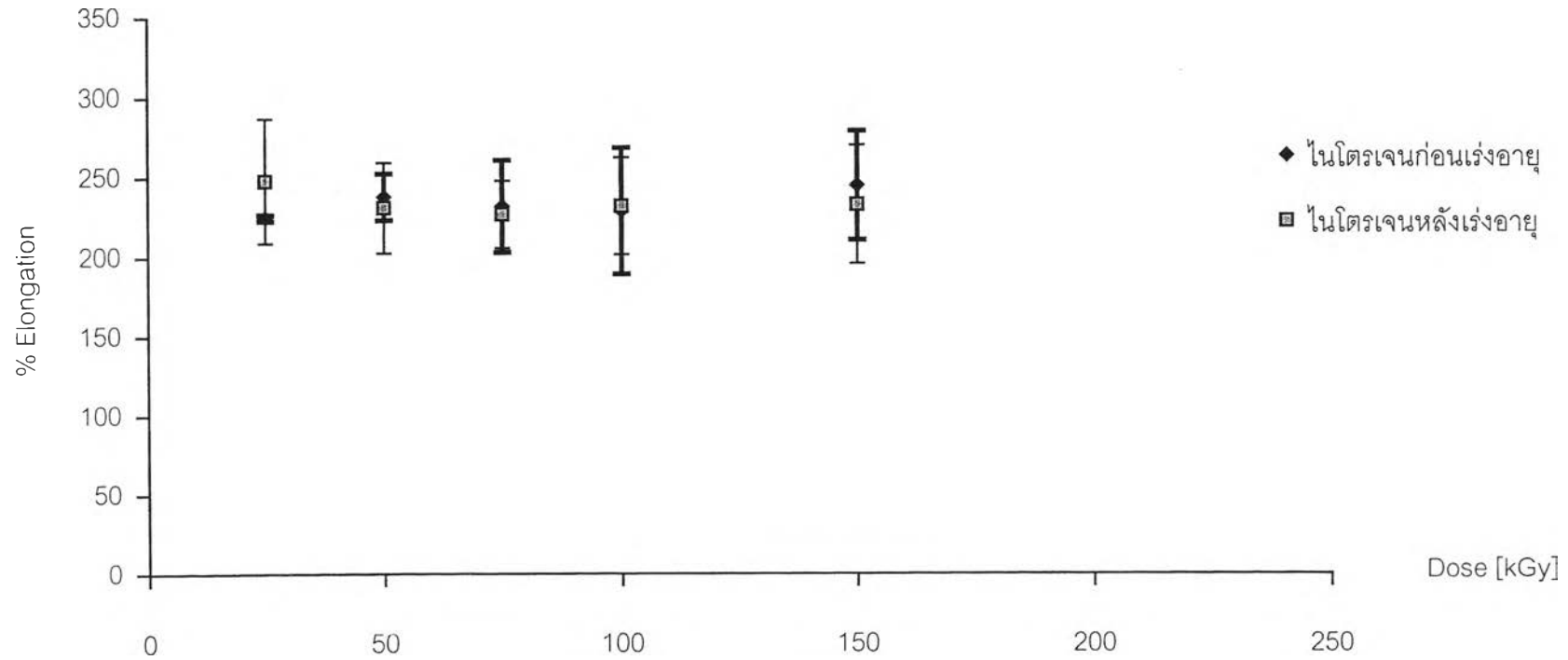
รูปที่ 4.62 กราฟผลทดสอบความยืดที่จุดขาดชิ้นงานพีวีซี 100 ส่วน + EG 15 ส่วน ฉายรังสีภายใต้สภาวะก๊าซเฉื่อยไนโตรเจน



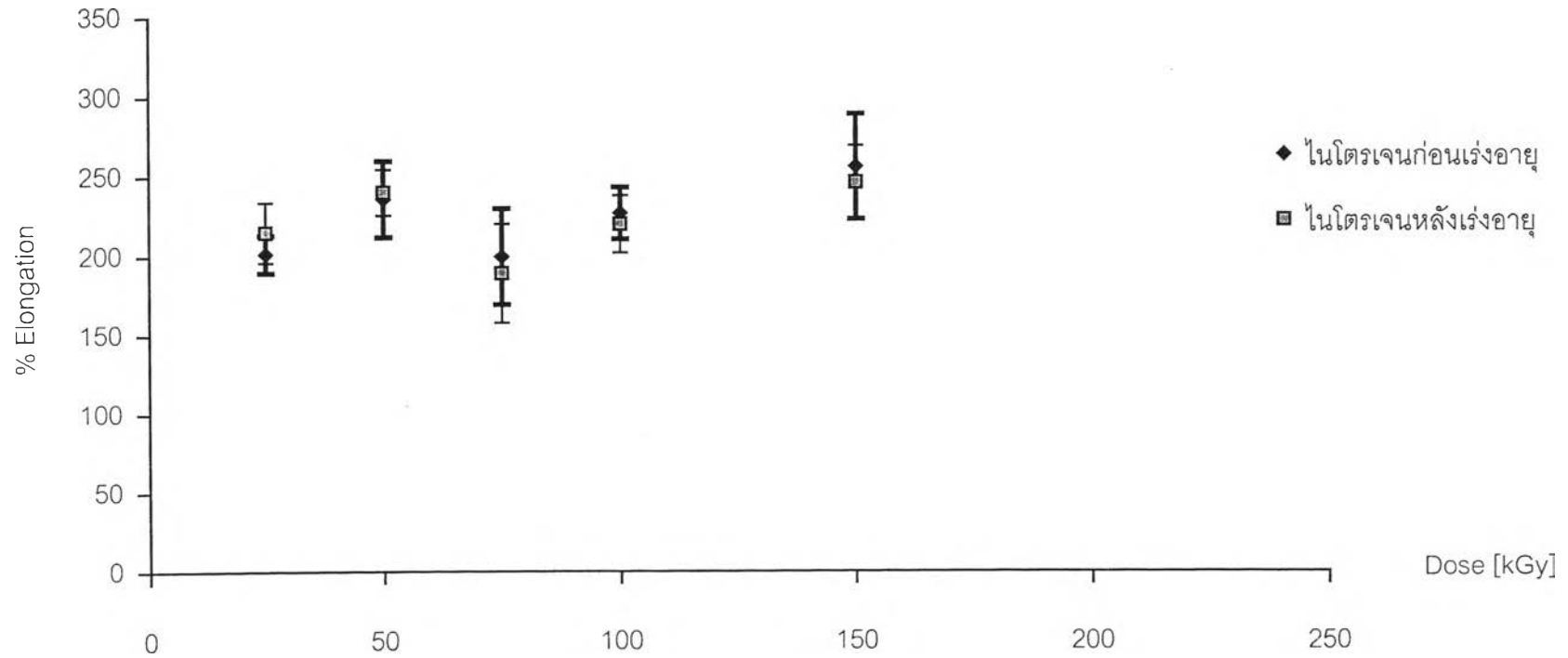
รูปที่ 4.63 กราฟผลทดสอบความยืดที่จุดขาดชิ้นงานพีวีซี 100 ส่วน + DOP 5 ส่วน + EG 5 ส่วน ฉายรังสีภายใต้สภาวะก๊าซเฉื่อยไนโตรเจน



รูปที่ 4.64 กราฟผลทดสอบความยืดที่จุดขาดชิ้นงานพีวีซี 100 ส่วน + DOP 5 ส่วน + EG 10 ส่วน ฉายรังสีภายใต้สภาวะก๊าซเฉื่อยไนโตรเจน



รูปที่ 4.65 กราฟผลทดสอบความยืดที่จุดขาดชิ้นงานพีวีซี 100 ส่วน + DOP 10 ส่วน + EG 5 ส่วน ฉายรังสีภายใต้สภาวะก๊าซเฉื่อยไนโตรเจน



รูปที่ 4.66 กราฟผลทดสอบความยืดที่จุดขาดชิ้นงานพีวีซี 100 ส่วน + DOP 10 ส่วน + EG 10 ส่วน ฉายรังสีภายใต้สภาวะก๊าซเฉื่อยไนโตรเจน

ตาราง 23 ผลทดสอบหาค่าเฉลี่ย

PVC 100 ส่วน

ปริมาณรังสี ดูดกลืน (kGy)	มวลชิ้นงานเริ่มต้น*100/มวลชิ้นงานหลังทดสอบ								
	สภาวะปกติ			สุญญากาศ			ก๊าซเฉื่อยไนโตรเจน		
	ชั้นที่ 1	ชั้นที่ 2	ค่าเฉลี่ย	ชั้นที่ 1	ชั้นที่ 2	ค่าเฉลี่ย	ชั้นที่ 1	ชั้นที่ 2	ค่าเฉลี่ย
0	78.43	85.20	81.81	78.43	85.20	81.81	78.43	85.20	81.81
25	79.99	78.75	79.37	93.18	86.58	89.88	90.87	91.39	91.13
50	86.13	85.83	85.98	97.75	90.53	94.14	90.28	90.22	90.25
75	83.11	88.35	85.73	87.23	93.32	90.28	88.40	91.90	90.15
100	86.71	86.56	86.64	93.79	90.68	92.23	90.32	86.25	88.28
150	96.19	91.61	93.90	93.30	90.10	91.70	88.30	84.84	86.57
200	82.42	86.54	84.48	97.57	93.00	95.28			

ตาราง 24 ผลทดสอบหาค่าเฉลี่ย

PVC 100 ส่วน + DOP 5 ส่วน

ปริมาณรังสี ดูดกลืน (kGy)	มวลชิ้นงานเริ่มต้น*100/มวลชิ้นงานหลังทดสอบ								
	สภาวะปกติ			สุญญากาศ			ก๊าซเฉื่อยไนโตรเจน		
	ชั้นที่ 1	ชั้นที่ 2	ค่าเฉลี่ย	ชั้นที่ 1	ชั้นที่ 2	ค่าเฉลี่ย	ชั้นที่ 1	ชั้นที่ 2	ค่าเฉลี่ย
0	81.35	81.04	81.20	81.35	81.04	81.20	81.35	81.04	81.20
25	78.84	82.41	80.62	82.45	87.78	85.11	94.42	90.32	92.37
50	89.26	87.21	88.24	85.47	87.11	86.29	81.20	79.71	80.46
75	89.33	88.69	89.01	96.34	90.69	93.52	80.20	90.05	85.12
100	82.89	88.58	85.73	84.36	83.74	84.05	86.78	90.99	88.88
150	84.14	90.56	87.35	90.51	88.27	89.39	92.72	96.63	94.68
200	83.70	85.13	84.41	89.48	90.43	89.96			

ตาราง 25 ผลทดสอบหาค่าเฉลี่ย

PVC 100 ส่วน+ DOP 10 ส่วน

ปริมาณรังสี ดูดกลืน (kGy)	มวลชิ้นงานเริ่มต้น*100/มวลชิ้นงานหลังทดสอบ								
	สภาวะปกติ			สุญญากาศ			ก๊าซเฉื่อยไนโตรเจน		
	ชั้นที่ 1	ชั้นที่ 2	ค่าเฉลี่ย	ชั้นที่ 1	ชั้นที่ 2	ค่าเฉลี่ย	ชั้นที่ 1	ชั้นที่ 2	ค่าเฉลี่ย
0	84.50	82.24	83.37	84.50	82.24	83.37	84.50	82.24	83.37
25	81.83	80.52	81.17	93.18	89.97	91.58	84.09	84.57	84.33
50	88.76	86.93	87.85	85.83	83.58	84.71	81.81	80.35	81.08
75	81.36	86.84	84.10	82.86	90.30	86.58	81.61	83.64	82.62
100	96.96	88.69	92.82	90.63	88.89	89.76	83.92	83.66	83.79
150	84.97	85.09	85.03	91.89	88.83	90.36	88.59	85.51	87.05
200	84.15	83.18	83.67	91.79	90.51	91.15			

ตาราง 26 ผลทดสอบหาค่าเฉลี่ย

PVC 100 ส่วน + DOP 15 ส่วน

ปริมาณรังสี ดูดกลืน (kGy)	มวลชิ้นงานเริ่มต้น*100/มวลชิ้นงานหลังทดสอบ								
	สภาวะปกติ			สุญญากาศ			ก๊าซเฉื่อยไนโตรเจน		
	ชั้นที่ 1	ชั้นที่ 2	ค่าเฉลี่ย	ชั้นที่ 1	ชั้นที่ 2	ค่าเฉลี่ย	ชั้นที่ 1	ชั้นที่ 2	ค่าเฉลี่ย
0	87.90	81.32	84.61	87.90	81.32	84.61	87.90	81.32	84.61
25	84.60	81.78	83.19	89.24	90.38	89.81	91.23	88.65	89.94
50	85.29	85.27	85.28	89.66	89.21	89.43	80.59	82.08	81.33
75	80.04	83.69	81.86	87.58	91.56	89.57	94.06	92.23	93.15
100	84.96	86.66	85.81	87.95	92.31	90.13	87.84	90.18	89.01
150	84.02	82.75	83.38	92.90	92.46	92.68	87.42	86.00	86.71
200	82.20	90.22	86.21	88.52	89.46	88.99			

ตาราง 27 ผลทดสอบหาค่าเฉลี่ย

PVC 100 ส่วน + EG 5 ส่วน

ปริมาณรังสี ดูดกลืน (kGy)	มวลชิ้นงานเริ่มต้น*100/มวลชิ้นงานหลังทดสอบ								
	สภาวะปกติ			สุญญากาศ			ก๊าซเฉื่อยไนโตรเจน		
	ชั้นที่ 1	ชั้นที่ 2	ค่าเฉลี่ย	ชั้นที่ 1	ชั้นที่ 2	ค่าเฉลี่ย	ชั้นที่ 1	ชั้นที่ 2	ค่าเฉลี่ย
0	86.87	86.76	86.81	86.87	86.76	86.81	86.87	86.76	86.81
25	87.39	87.26	87.33	88.45	82.95	85.70	82.62	80.58	81.60
50	81.79	84.80	83.29	92.39	86.92	89.66	80.20	82.94	81.57
75	79.08	82.42	80.75	89.64	89.05	89.34	92.71	88.52	90.61
100	83.45	84.50	83.97	84.10	82.43	83.26	83.64	91.31	87.47
150	83.92	87.62	85.77	85.68	91.28	88.48	83.29	89.33	86.31
200	90.14	94.26	92.20	95.04	92.94	93.99			

ตาราง 28 ผลทดสอบหาค่าเฉลี่ย

PVC 100 ส่วน + EG 10 ส่วน

ปริมาณรังสี ดูดกลืน (kGy)	มวลชิ้นงานเริ่มต้น*100/มวลชิ้นงานหลังทดสอบ								
	สภาวะปกติ			สุญญากาศ			ก๊าซเฉื่อยไนโตรเจน		
	ชั้นที่ 1	ชั้นที่ 2	ค่าเฉลี่ย	ชั้นที่ 1	ชั้นที่ 2	ค่าเฉลี่ย	ชั้นที่ 1	ชั้นที่ 2	ค่าเฉลี่ย
0	75.41	84.83	80.12	75.41	84.83	80.12	75.41	84.83	80.12
25	88.21	86.41	87.31	83.04	82.76	82.90	89.84	85.20	87.52
50	84.57	82.46	83.51	80.82	80.91	80.86	81.16	82.32	81.74
75	95.16	91.53	93.34	95.45	92.28	93.86	83.71	88.61	86.16
100	85.24	83.12	84.18	99.84	94.98	97.41	88.93	90.92	89.92
150	88.45	89.48	88.97	86.46	87.14	86.80	84.90	83.96	84.43
200	93.70	92.40	93.05	92.96	95.83	94.39			

ตาราง 29 ผลทดสอบหาค่าเฉลี่ย

PVC 100 ส่วน + EG 15 ส่วน

ปริมาณรังสี ดูดกลืน (kGy)	มวลชิ้นงานเริ่มต้น*100/มวลชิ้นงานหลังทดสอบ								
	สภาวะปกติ			สุญญากาศ			ก๊าซเฉื่อยไนโตรเจน		
	ชั้นที่ 1	ชั้นที่ 2	ค่าเฉลี่ย	ชั้นที่ 1	ชั้นที่ 2	ค่าเฉลี่ย	ชั้นที่ 1	ชั้นที่ 2	ค่าเฉลี่ย
0	88.15	84.01	86.08	88.15	84.01	86.08	88.15	84.01	86.08
25	85.38	85.32	85.35	83.77	85.94	84.85	88.94	81.98	85.46
50	79.11	82.65	80.88	94.82	92.35	93.58	80.26	79.77	80.02
75	85.77	84.87	85.32	92.15	93.09	92.62	79.69	83.99	81.84
100	87.84	83.12	85.48	92.72	93.09	92.91	89.18	88.32	88.75
150	91.62	86.56	89.09	87.63	88.72	88.17	87.93	85.48	86.71
200	91.14	86.47	88.81	97.66	95.36	96.51			

ตาราง 30 ผลทดสอบหาค่าเฉลี่ย

PVC 100 ส่วน + DOP 5 ส่วน + EG 5 ส่วน

ปริมาณรังสี ดูดกลืน (kGy)	มวลชิ้นงานเริ่มต้น*100/มวลชิ้นงานหลังทดสอบ								
	สภาวะปกติ			สุญญากาศ			ก๊าซเฉื่อยไนโตรเจน		
	ชั้นที่ 1	ชั้นที่ 2	ค่าเฉลี่ย	ชั้นที่ 1	ชั้นที่ 2	ค่าเฉลี่ย	ชั้นที่ 1	ชั้นที่ 2	ค่าเฉลี่ย
0	76.77	79.46	78.11	76.77	79.46	78.11	76.77	79.46	78.11
25	83.85	81.90	82.87	83.46	82.60	83.03	79.23	81.66	80.45
50	83.32	81.93	82.63	91.26	87.33	89.29	83.09	80.92	82.01
75	82.96	82.54	82.75	84.77	84.38	84.58	83.33	88.28	85.81
100	90.32	92.76	91.54	90.01	92.00	91.01	82.40	83.31	82.85
150	81.75	87.74	84.74	89.86	91.42	90.64	87.05	86.84	86.95
200	86.38	84.75	85.57	93.09	95.01	94.05			

ตาราง 31 ผลทดสอบหาค่าเฉลี่ย

PVC 100 ส่วน + DOP 5 ส่วน + EG 10 ส่วน

ปริมาณรังสี ดูดกลืน (kGy)	มวลชิ้นงานเริ่มต้น*100/มวลชิ้นงานหลังทดสอบ								
	สภาวะปกติ			สุญญากาศ			ก๊าซเฉื่อยไนโตรเจน		
	ชั้นที่ 1	ชั้นที่ 2	ค่าเฉลี่ย	ชั้นที่ 1	ชั้นที่ 2	ค่าเฉลี่ย	ชั้นที่ 1	ชั้นที่ 2	ค่าเฉลี่ย
0	75.70	83.92	79.81	75.70	83.92	79.81	75.70	83.92	79.81
25	88.87	85.53	87.20	91.44	84.90	88.17	79.18	81.91	80.54
50	81.58	83.15	82.36	89.59	86.86	88.23	83.05	82.44	82.74
75	94.91	87.31	91.11	82.32	83.81	83.06	83.50	86.20	84.85
100	89.82	94.37	92.10	97.44	93.29	95.36	96.55	93.66	95.11
150	88.08	93.00	90.54	92.68	88.59	90.64	90.41	87.32	88.86
200	94.92	89.43	92.17	86.89	87.56	87.22			

ตาราง 32 ผลทดสอบหาค่าเฉลี่ย

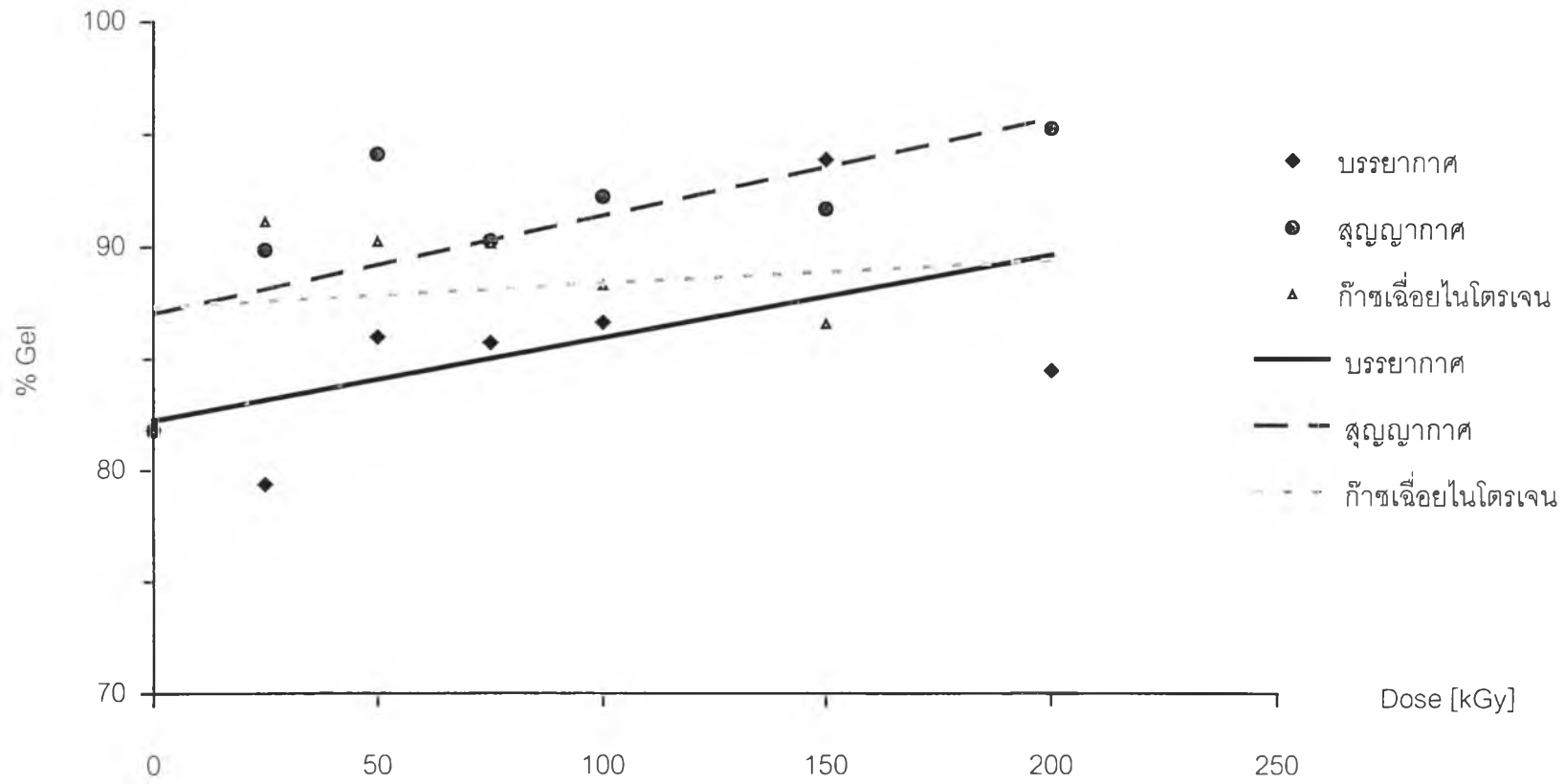
PVC 100 ส่วน + DOP 10 ส่วน + EG 5 ส่วน

ปริมาณรังสี ดูดกลืน (kGy)	มวลชิ้นงานเริ่มต้น*100/มวลชิ้นงานหลังทดสอบ								
	สภาวะปกติ			สุญญากาศ			ก๊าซเฉื่อยไนโตรเจน		
	ชั้นที่ 1	ชั้นที่ 2	ค่าเฉลี่ย	ชั้นที่ 1	ชั้นที่ 2	ค่าเฉลี่ย	ชั้นที่ 1	ชั้นที่ 2	ค่าเฉลี่ย
0	79.87	76.42	78.14	79.87	76.42	78.14	79.87	76.42	78.14
25	79.63	84.56	82.10	80.14	81.03	80.59	90.79	86.77	88.78
50	84.84	83.72	84.28	90.46	91.82	91.14	80.27	82.92	81.59
75	85.74	84.57	85.16	83.67	85.62	84.64	84.10	87.81	85.96
100	78.24	82.94	80.59	95.92	95.60	95.76	89.38	87.55	88.47
150	83.65	87.21	85.43	90.30	89.65	89.98	86.86	89.45	88.15
200	89.44	90.92	90.18	91.64	93.32	92.48			

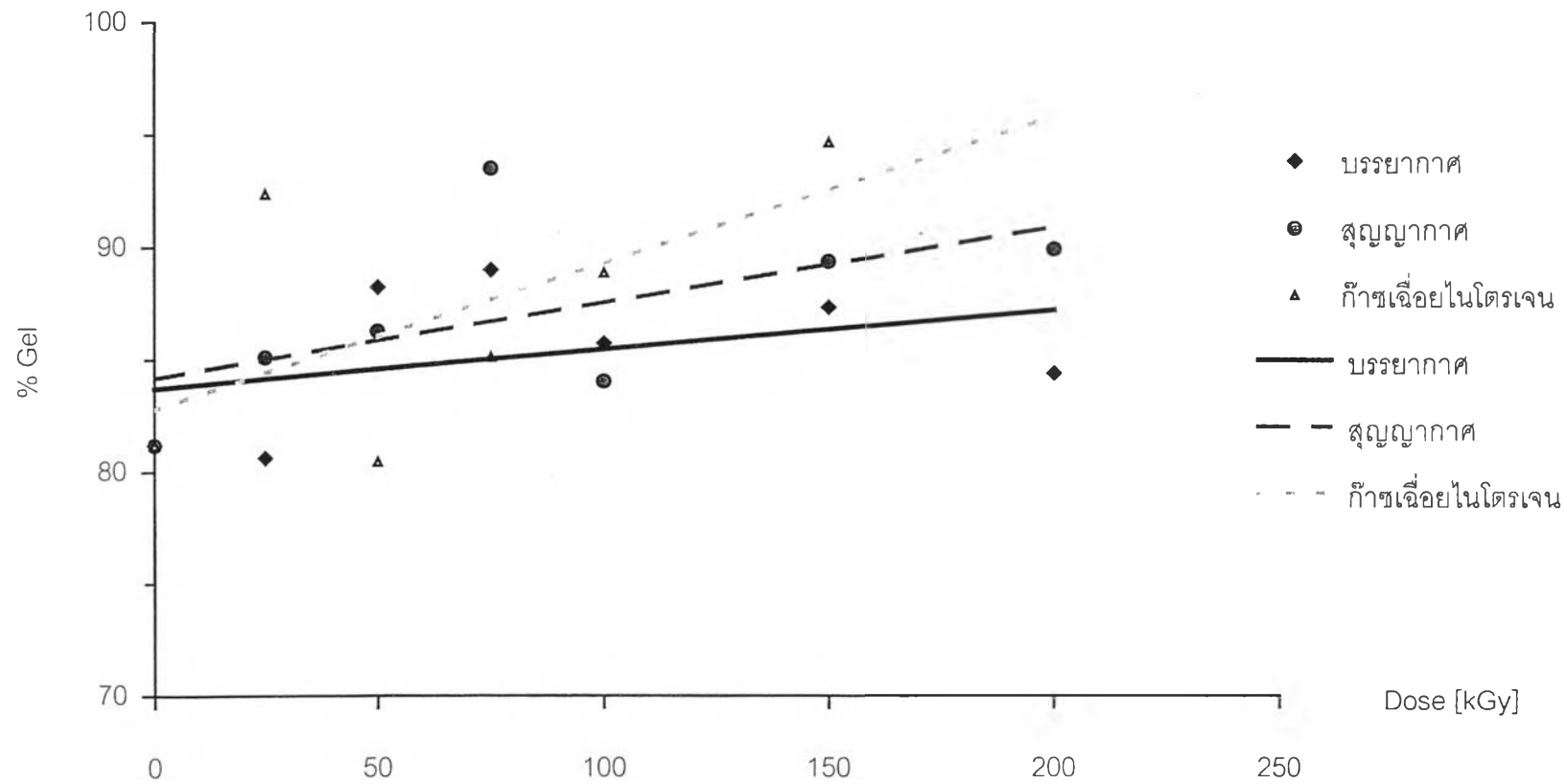
ตาราง 33 ผลทดสอบหาค่าเฉลี่ย

PVC 100 ส่วน + DOP 10 ส่วน + EG 10 ส่วน

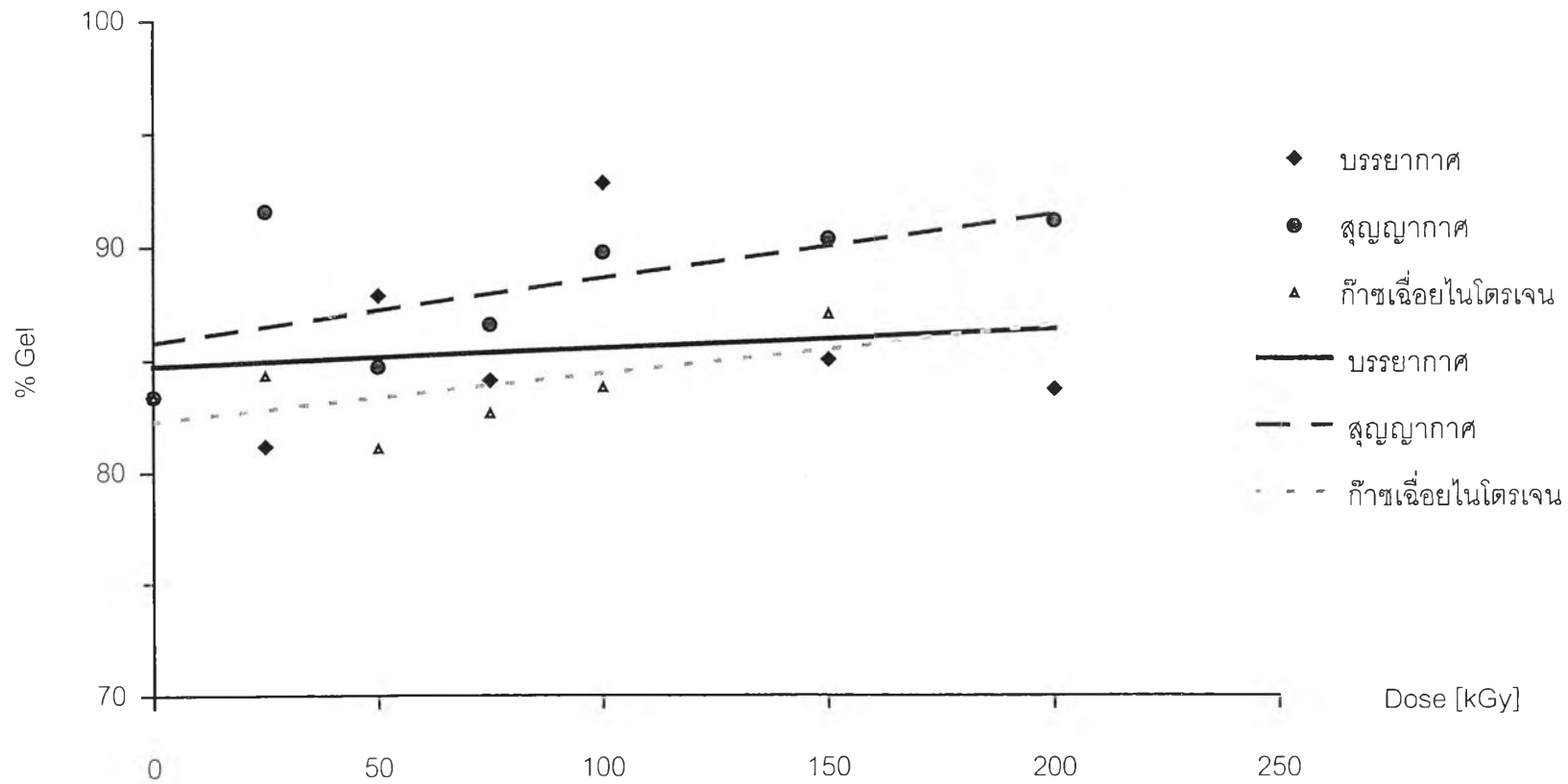
ปริมาณรังสี ดูดกลืน (kGy)	มวลชิ้นงานเริ่มต้น*100/มวลชิ้นงานหลังทดสอบ								
	สภาวะปกติ			สุญญากาศ			ก๊าซเฉื่อยไนโตรเจน		
	ชั้นที่ 1	ชั้นที่ 2	ค่าเฉลี่ย	ชั้นที่ 1	ชั้นที่ 2	ค่าเฉลี่ย	ชั้นที่ 1	ชั้นที่ 2	ค่าเฉลี่ย
0	84.73	82.47	83.60	84.73	82.47	83.60	84.73	82.47	83.60
25	79.06	80.27	79.67	85.90	81.74	83.82	83.37	86.60	84.98
50	84.92	84.06	84.49	86.18	83.93	85.05	82.84	82.42	82.63
75	81.63	86.95	84.29	86.81	89.48	88.14	88.07	91.78	89.92
100	81.03	81.18	81.10	86.64	88.80	87.72	88.57	88.99	88.78
150	84.49	82.53	83.51	92.87	90.21	91.54	85.37	91.54	88.46
200	84.92	82.53	83.72	87.74	91.48	89.61			



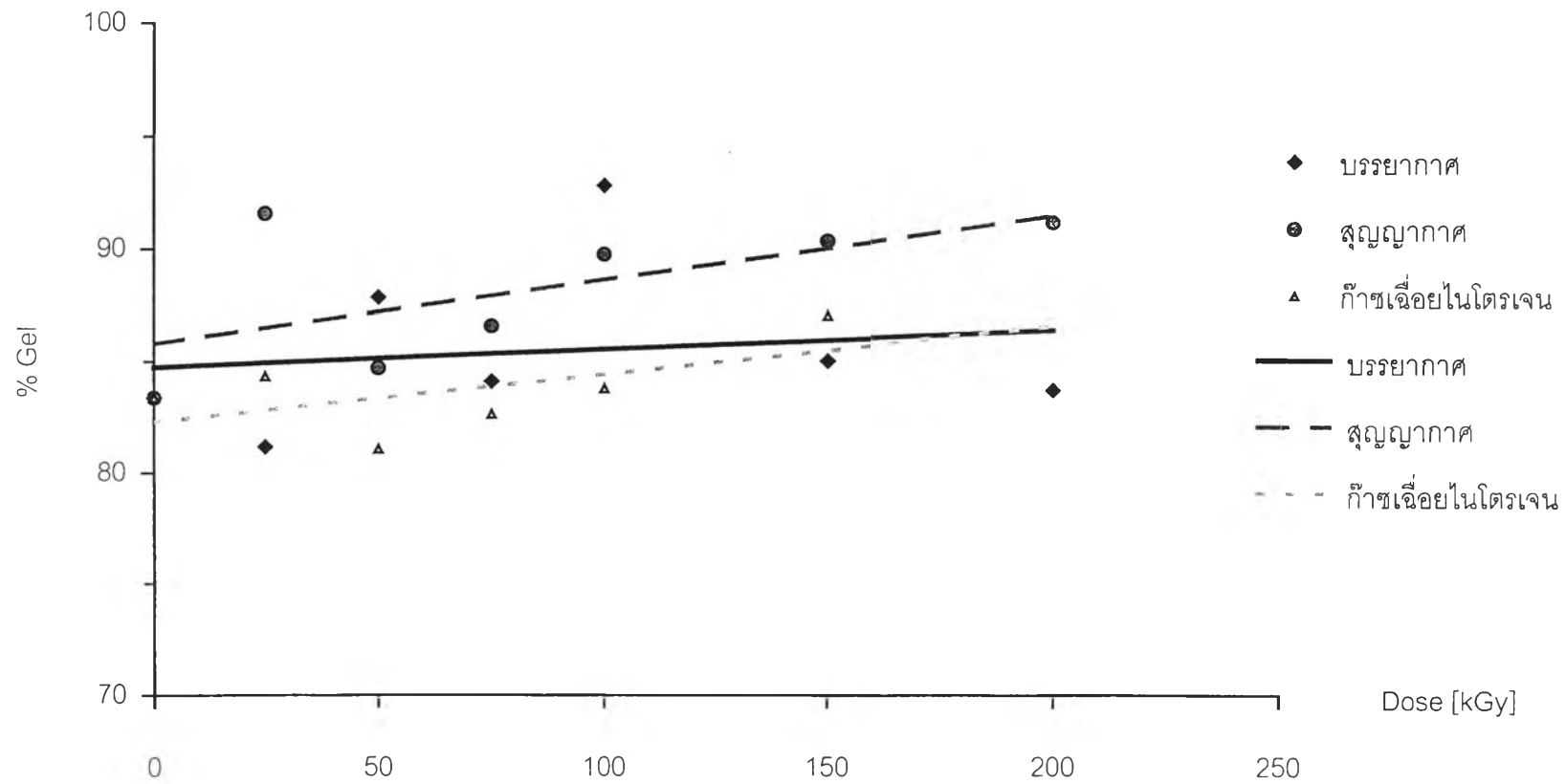
รูปที่ 4.67 กราฟผลทดสอบหาปริมาณเจล พีวีซี 100 ส่วน



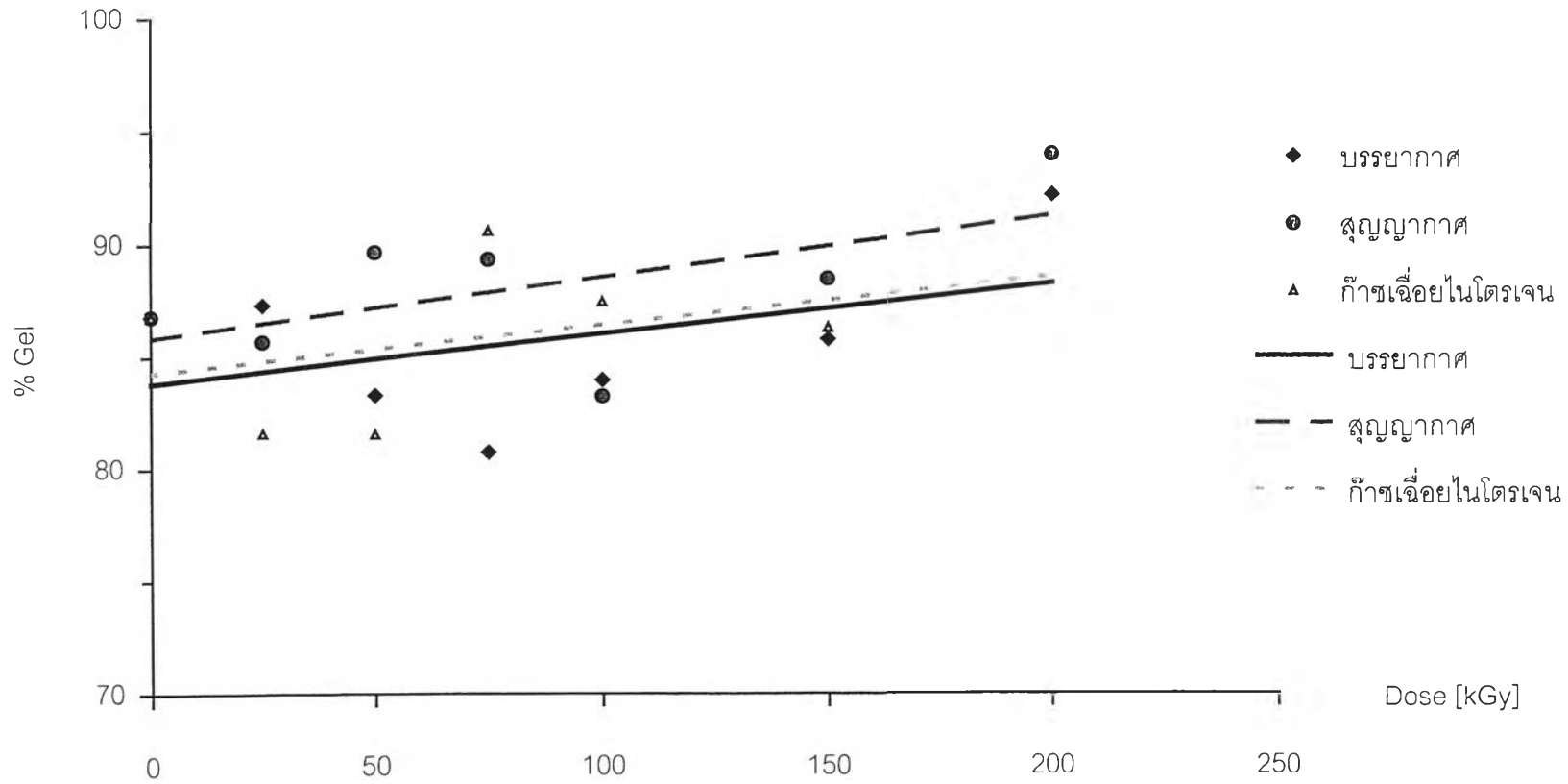
รูปที่ 4.68 กราฟผลทดสอบหาปริมาณเจล พีวีซี 100 ส่วน + DOP 5 ส่วน



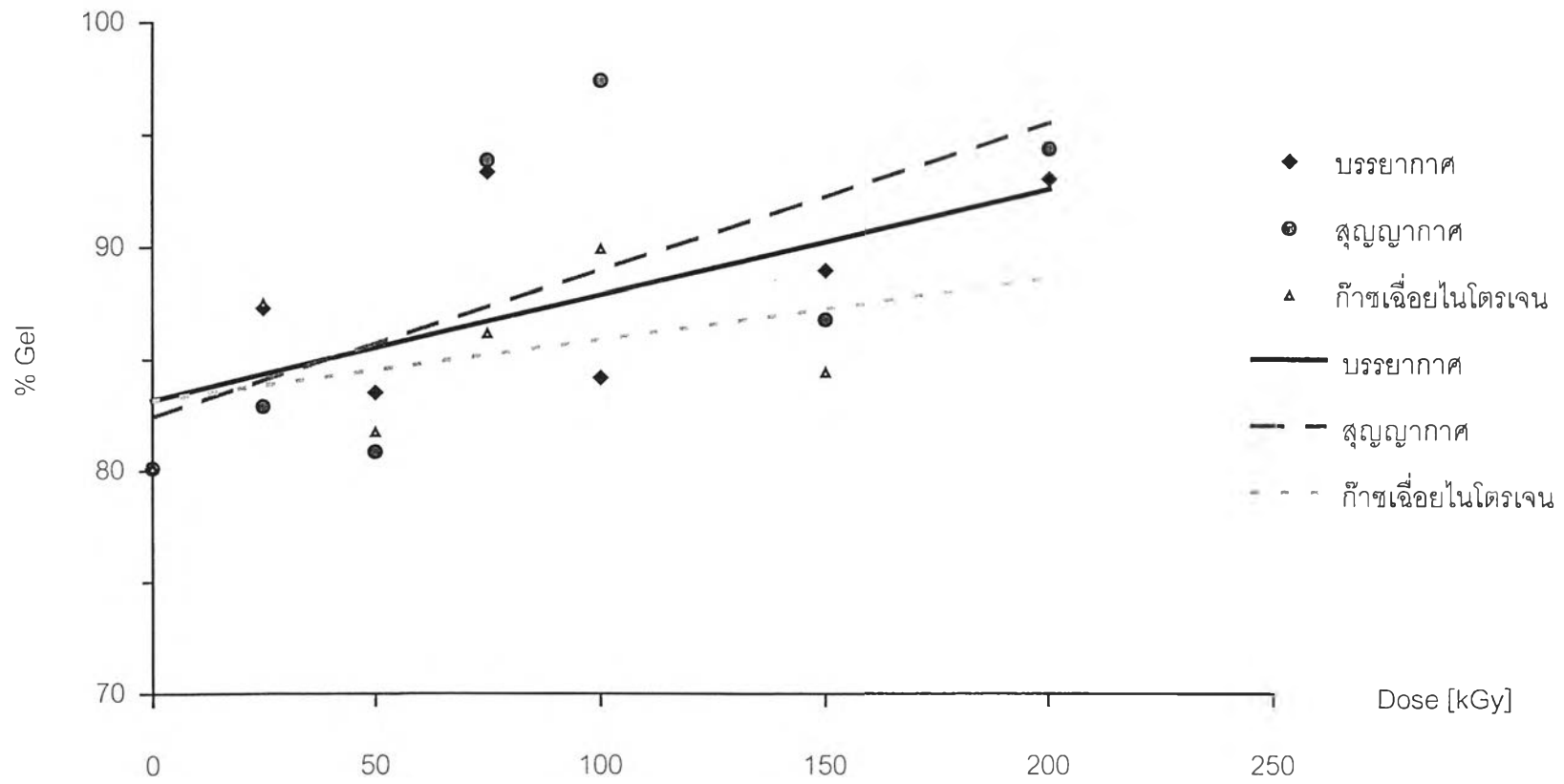
รูปที่ 4.69 กราฟผลทดสอบหาปริมาณเจล พีวีซี 100 ส่วน + DOP 10 ส่วน



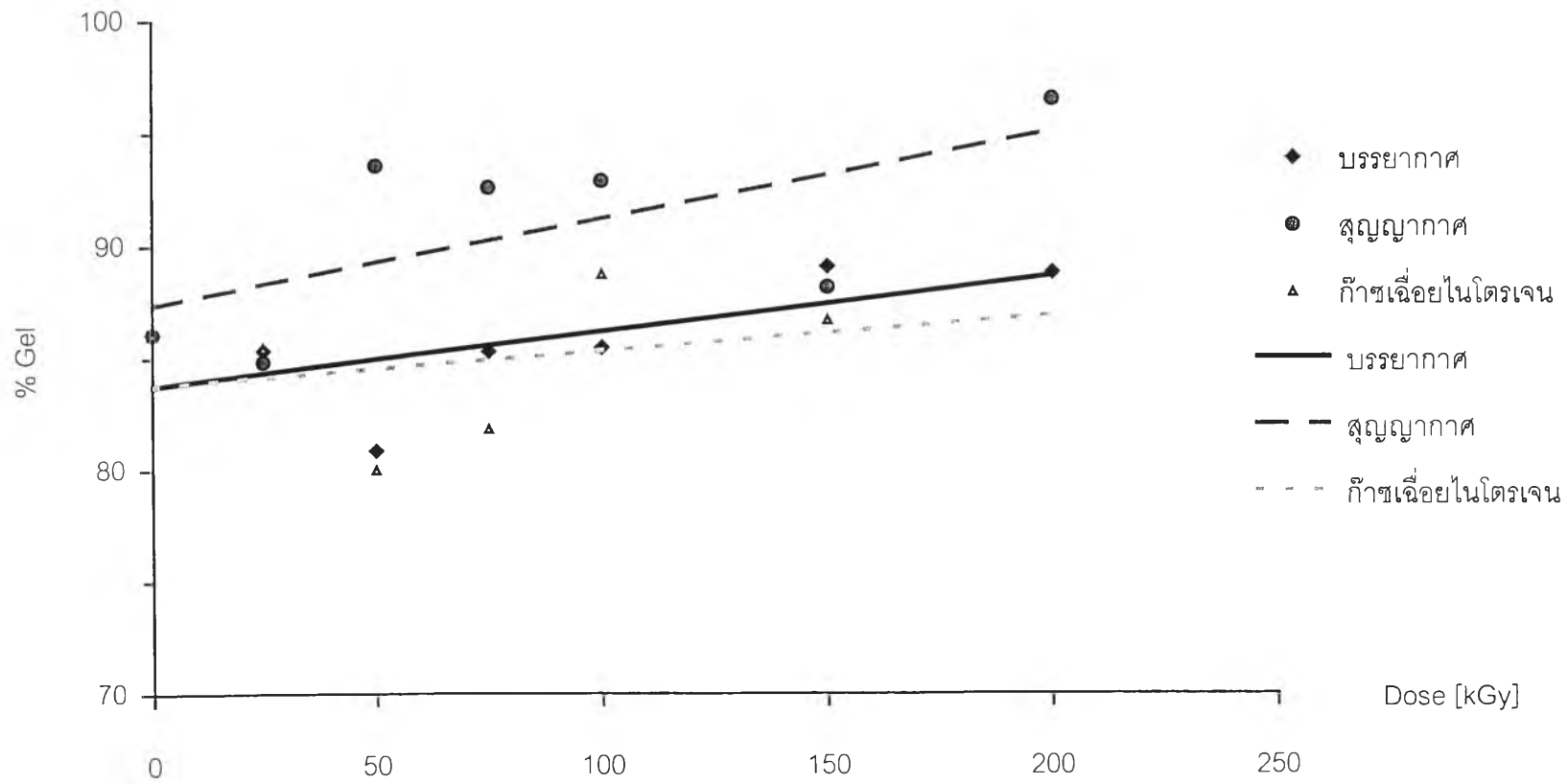
รูปที่ 4.70 กราฟผลทดสอบหาปริมาณเจล พิวซี 100 ส่วน + DOP 15 ส่วน



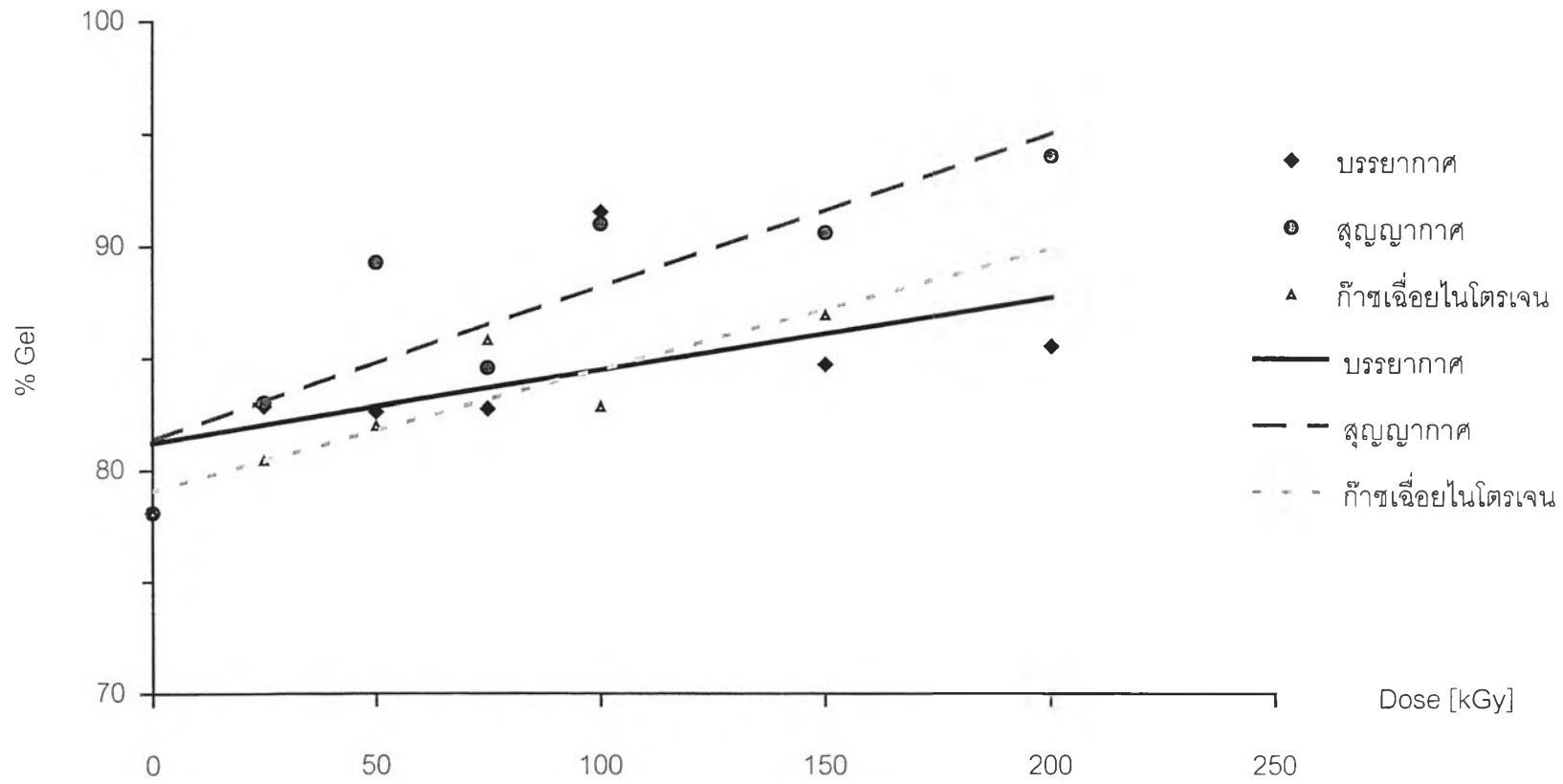
รูปที่ 4.71 กราฟผลทดสอบหาปริมาณเจล พีวีซี 100 ส่วน + EG 5 ส่วน



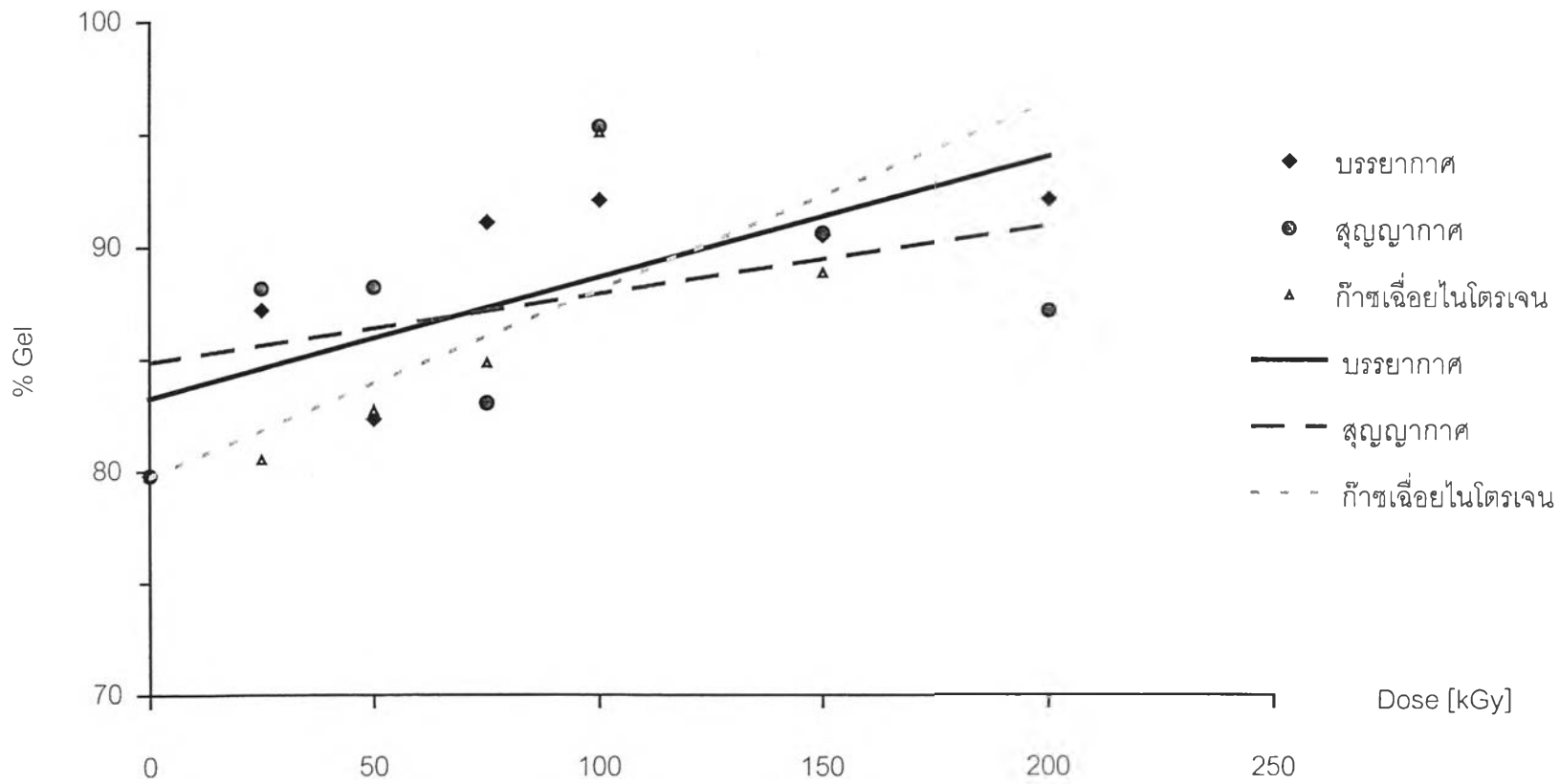
รูปที่ 4.72 กราฟผลทดสอบหาปริมาณเจล พีวีซี 100 ส่วน + EG 10 ส่วน



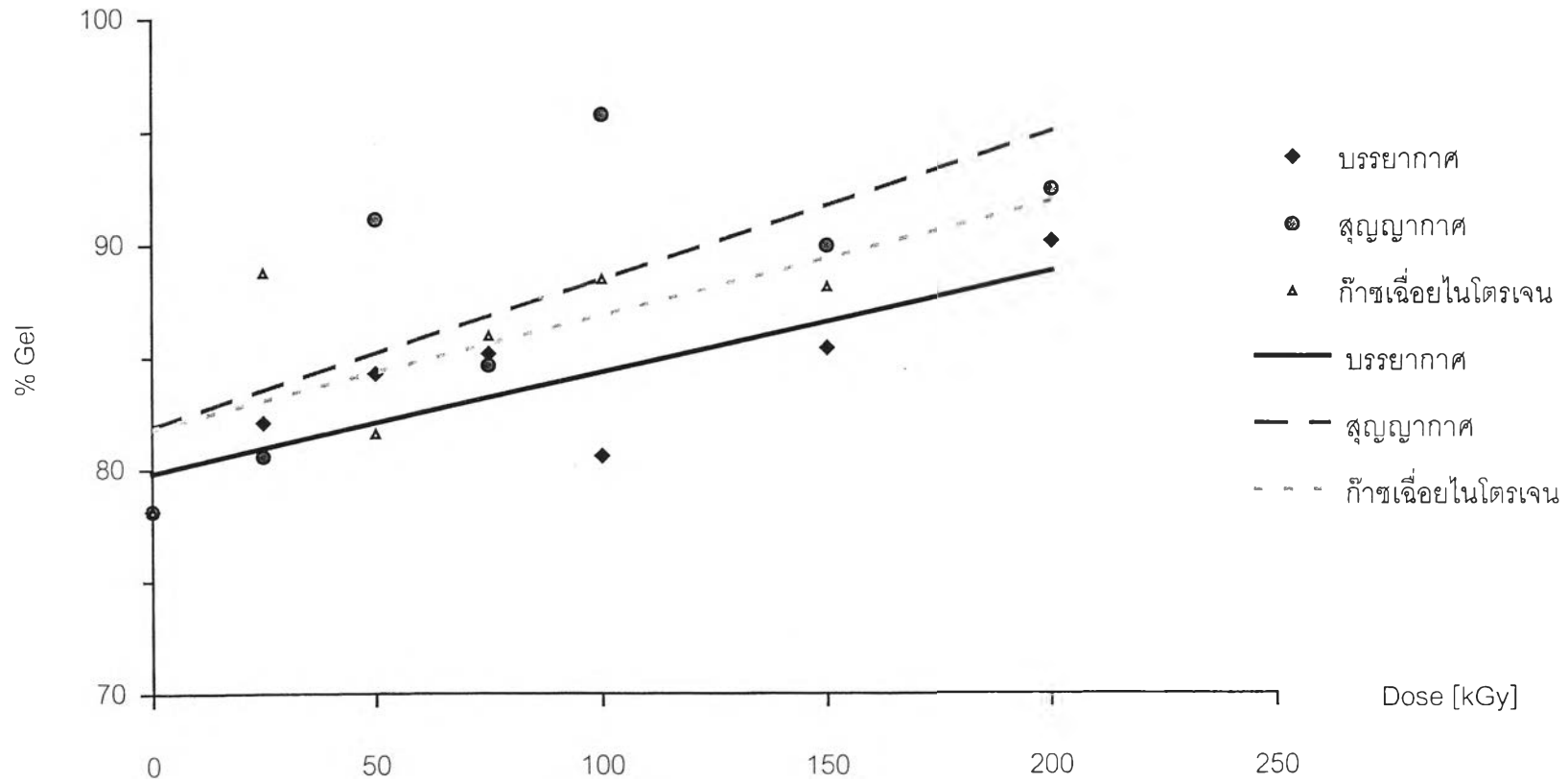
รูปที่ 4.73 กราฟผลทดสอบหาปริมาณเจล พีวีซี 100 ส่วน + EG 15 ส่วน



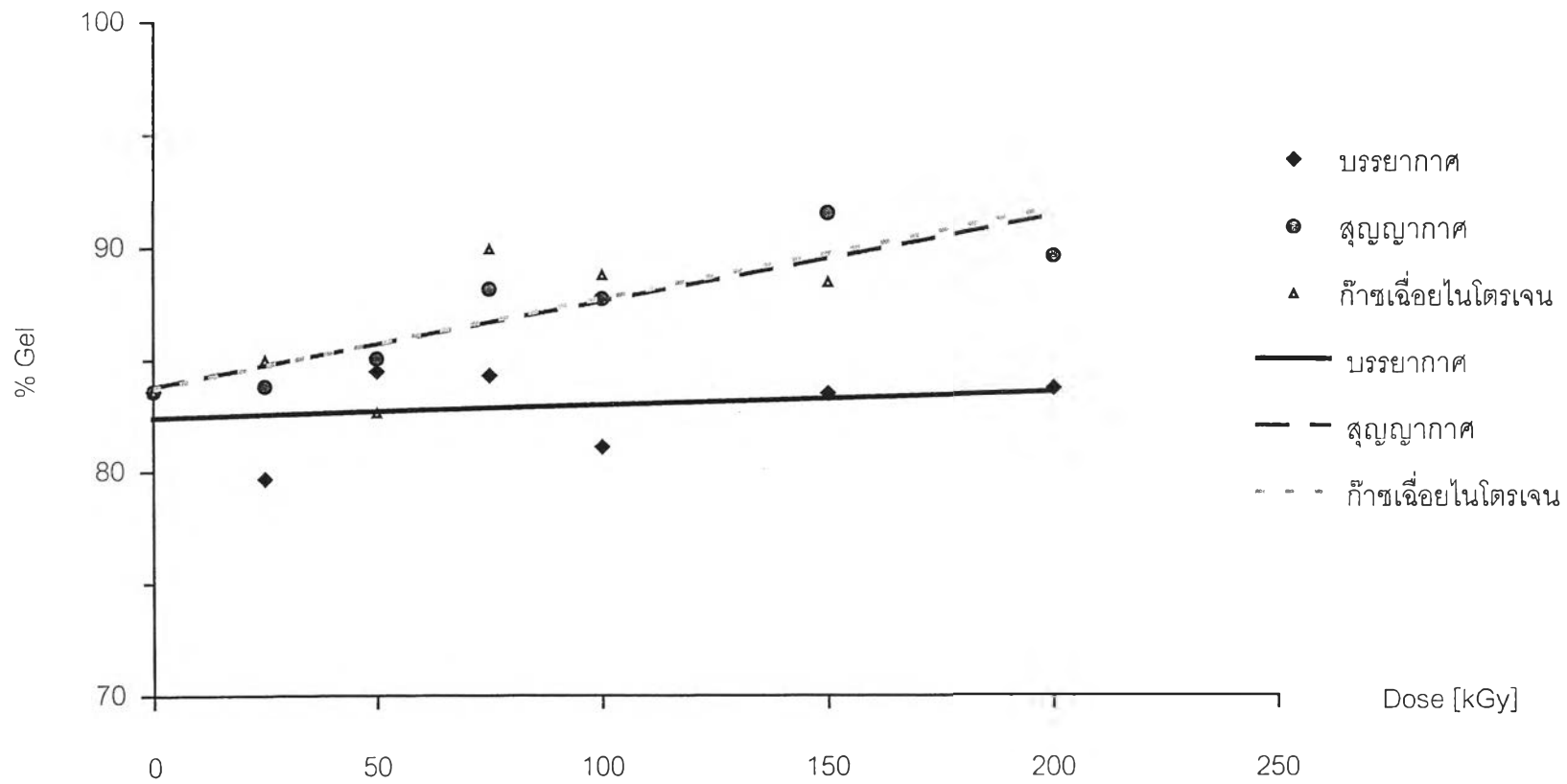
รูปที่ 4.74 กราฟผลทดสอบหาปริมาณเจล พีวีซี 100 ส่วน + DOP 5 ส่วน + EG 5 ส่วน



รูปที่ 4.75 กราฟผลทดสอบหาปริมาณเจล พีวีซี 100 ส่วน + DOP 5 ส่วน + EG 10 ส่วน



รูปที่ 4.76 กราฟผลทดสอบหาปริมาณเจล พีวีซี 100 ส่วน + DOP 10 ส่วน + EG 5 ส่วน



รูปที่ 4.77 กราฟผลทดสอบหาปริมาณเจล พีวีซี 100 ส่วน + DOP 10 ส่วน + EG 10 ส่วน

ตารางที่ 34 ผลทดสอบการสูญเสียมวล

PVC 100 ส่วน

ปริมาณรังสี ดูดกลืน (kGy)	ความแตกต่างระหว่างมวลที่ชั่งได้ต่อพื้นที่ผิว (มิลลิกรัม/ตารางเซนติเมตร)											
	บรรยากาศ				สุญญากาศ				ไนโตรเจน			
	ชั้นที่ 1	ชั้นที่ 2	ชั้นที่ 3	ค่ามัธยฐาน	ชั้นที่ 1	ชั้นที่ 2	ชั้นที่ 3	ค่ามัธยฐาน	ชั้นที่ 1	ชั้นที่ 2	ชั้นที่ 3	ค่ามัธยฐาน
0	0.0002	0.0001	0.0002	0.0002	0.0002	0.0001	0.0002	0.0002	0.0002	0.0001	0.0002	0.0002
25	0.0001	0.0001	0.0001	0.0001	0.0001	0.0001	0.0001	0.0001	0.0001	0.0000	0.0000	0.0000
50	0.0002	0.0002	0.0002	0.0002	0.0001	0.0001	0.0001	0.0001	0.0001	0.0002	0.0004	0.0002
75	0.0001	0.0001	0.0001	0.0001	0.0005	0.0005	0.0004	0.0005	0.0000	0.0001	0.0001	0.0001
100	0.0001	0.0001	0.0001	0.0001	0.0003	0.0003	0.0003	0.0003	0.0002	0.0002	0.0002	0.0002
150	0.0002	0.0002	0.0002	0.0002	0.0003	0.0003	0.0003	0.0003	0.0003	0.0003	0.0002	0.0003
200	0.0004	0.0004	0.0004	0.0004	0.0004	0.0004	0.0004	0.0004				

ตารางที่ 35 ผลทดสอบการสูญเสียมวล

PVC 100 ส่วน + DOP 5 ส่วน

ปริมาณรังสี ดูดกลืน (kGy)	ความแตกต่างระหว่างมวลที่ซึ่งได้ต่อพื้นที่ผิว (มิลลิกรัม/ตารางเซนติเมตร)											
	บรรยากาศ				สุญญากาศ				ไนโตรเจน			
	ชั้นที่ 1	ชั้นที่ 2	ชั้นที่ 3	ค่ามัธยฐาน	ชั้นที่ 1	ชั้นที่ 2	ชั้นที่ 3	ค่ามัธยฐาน	ชั้นที่ 1	ชั้นที่ 2	ชั้นที่ 3	ค่ามัธยฐาน
0	0.0001	0.0001	0.0002	0.0001	0.0001	0.0001	0.0002	0.0001	0.0001	0.0001	0.0002	0.0001
25	0.0001	0.0001	0.0001	0.0001	0.0001	0.0001	0.0001	0.0001	0.0001	0.0001	0.0002	0.0001
50	0.0001	0.0001	0.0001	0.0001	0.0002	0.0002	0.0002	0.0002	0.0000	0.0000	0.0000	0.0000
75	0.0002	0.0002	0.0002	0.0002	0.0003	0.0002	0.0002	0.0002	0.0001	0.0001	0.0002	0.0001
100	0.0002	0.0002	0.0002	0.0002	0.0002	0.0002	0.0002	0.0002	0.0001	0.0001	0.0001	0.0001
150	0.0003	0.0003	0.0003	0.0003	0.0004	0.0003	0.0003	0.0003	0.0002	0.0001	0.0002	0.0002
200	0.0003	0.0004	0.0003	0.0003	0.0003	0.0002	0.0003	0.0003				

ตารางที่ 36 ผลทดสอบการสูญเสียมวล

PVC 100 ส่วน + DOP 10 ส่วน

ปริมาณรังสี ดูดกลืน (kGy)	ความแตกต่างระหว่างมวลที่ซึ่งได้ต่อพื้นที่ผิว (มิลลิกรัม/ตารางเซนติเมตร)											
	บรรยากาศ				สุญญากาศ				ไนโตรเจน			
	ชั้นที่ 1	ชั้นที่ 2	ชั้นที่ 3	ค่ามัธยฐาน	ชั้นที่ 1	ชั้นที่ 2	ชั้นที่ 3	ค่ามัธยฐาน	ชั้นที่ 1	ชั้นที่ 2	ชั้นที่ 3	ค่ามัธยฐาน
0	0.0001	0.0001	0.0002	0.0001	0.0001	0.0001	0.0002	0.0001	0.0001	0.0001	0.0002	0.0001
25	0.0001	0.0001	0.0001	0.0001	0.0001	0.0001	0.0001	0.0001	0.0000	0.0000	0.0000	0.0000
50	0.0001	0.0001	0.0001	0.0001	0.0001	0.0001	0.0001	0.0001	0.0001	0.0001	0.0001	0.0001
75	0.0001	0.0001	0.0001	0.0001	0.0002	0.0002	0.0002	0.0002	0.0002	0.0003	0.0004	0.0003
100	0.0001	0.0001	0.0001	0.0001	0.0002	0.0002	0.0002	0.0002	0.0001	0.0001	0.0001	0.0001
150	0.0002	0.0002	0.0002	0.0002	0.0002	0.0002	0.0002	0.0002	0.0000	0.0002	0.0003	0.0002
200	0.0004	0.0004	0.0005	0.0004	0.0002	0.0002	0.0002	0.0002				

ตารางที่ 37 ผลทดสอบการสูญเสียมวล

PVC 100 ส่วน + DOP 15 ส่วน

ปริมาณรังสี ดูดกลืน (kGy)	ความแตกต่างระหว่างมวลที่ซังได้ต่อพื้นที่ผิว (มิลลิกรัม/ตารางเซนติเมตร)											
	บรรยากาศ				สุญญากาศ				ไนโตรเจน			
	ชั้นที่ 1	ชั้นที่ 2	ชั้นที่ 3	ค่ามัธยฐาน	ชั้นที่ 1	ชั้นที่ 2	ชั้นที่ 3	ค่ามัธยฐาน	ชั้นที่ 1	ชั้นที่ 2	ชั้นที่ 3	ค่ามัธยฐาน
0	0.0002	0.0002	0.0002	0.0002	0.0001	0.0001	0.0002	0.0001	0.0001	0.0001	0.0002	0.0001
25	0.0002	0.0002	0.0002	0.0002	0.0001	0.0001	0.0001	0.0001	0.0001	0.0001	0.0001	0.0001
50	0.0003	0.0002	0.0002	0.0002	0.0001	0.0001	0.0001	0.0001	0.0000	0.0002	0.0002	0.0002
75	0.0001	0.0001	0.0001	0.0001	0.0004	0.0004	0.0003	0.0004	0.0003	0.0002	0.0007	0.0003
100	0.0001	0.0001	0.0001	0.0001	0.0002	0.0002	0.0002	0.0002	0.0003	0.0002	0.0003	0.0003
150	0.0001	0.0001	0.0001	0.0001	0.0002	0.0002	0.0002	0.0002	0.0001	0.0002	0.0002	0.0002
200	0.0003	0.0003	0.0003	0.0003	0.0002	0.0002	0.0002	0.0002				

ตารางที่ 38 ผลทดสอบการสูญเสียมวล

PVC 100 ส่วน + EG 5 ส่วน

ปริมาณรังสี ดูดกลืน (kGy)	ความแตกต่างระหว่างมวลที่ซึ่งได้ต่อพื้นที่ผิว (มิลลิกรัม/ตารางเซนติเมตร)											
	บรรยากาศ				สุญญากาศ				ไนโตรเจน			
	ชั้นที่ 1	ชั้นที่ 2	ชั้นที่ 3	ค่ามัธยฐาน	ชั้นที่ 1	ชั้นที่ 2	ชั้นที่ 3	ค่ามัธยฐาน	ชั้นที่ 1	ชั้นที่ 2	ชั้นที่ 3	ค่ามัธยฐาน
0	0.0001	0.0001	0.0001	0.0001	0.0001	0.0001	0.0001	0.0001	0.0001	0.0001	0.0001	0.0001
25	0.0002	0.0002	0.0002	0.0002	0.0002	0.0002	0.0002	0.0002	0.0001	0.0000	0.0000	0.0000
50	0.0002	0.0003	0.0002	0.0002	0.0001	0.0001	0.0001	0.0001	0.0003	0.0001	0.0002	0.0002
75	0.0002	0.0002	0.0002	0.0002	0.0002	0.0002	0.0002	0.0002	0.0003	0.0003	0.0003	0.0003
100	0.0002	0.0002	0.0002	0.0002	0.0002	0.0002	0.0002	0.0002	0.0003	0.0002	0.0002	0.0002
150	0.0003	0.0003	0.0003	0.0003	0.0003	0.0003	0.0003	0.0003	0.0003	0.0003	0.0003	0.0003
200	0.0003	0.0003	0.0003	0.0003	0.0003	0.0002	0.0002	0.0002				

ตารางที่ 39 ผลทดสอบการสูญเสียมวล

PVC 100 ส่วน + EG 10 ส่วน

ปริมาณรังสี ดูดกลืน (kGy)	ความแตกต่างระหว่างมวลที่ซึ่งได้ต่อพื้นที่ผิว (มิลลิกรัม/ตารางเซนติเมตร)											
	บรรยากาศ				สุญญากาศ				ไนโตรเจน			
	ชั้นที่ 1	ชั้นที่ 2	ชั้นที่ 3	ค่ามัธยฐาน	ชั้นที่ 1	ชั้นที่ 2	ชั้นที่ 3	ค่ามัธยฐาน	ชั้นที่ 1	ชั้นที่ 2	ชั้นที่ 3	ค่ามัธยฐาน
0	0.0001	0.0001	0.0001	0.0001	0.0001	0.0001	0.0001	0.0001	0.0001	0.0001	0.0001	0.0001
25	0.0001	0.0001	0.0001	0.0001	0.0002	0.0002	0.0002	0.0002	0.0007	0.0006	0.0008	0.0007
50	0.0002	0.0002	0.0002	0.0002	0.0001	0.0001	0.0001	0.0001	0.0009	0.0010	0.0010	0.0010
75	0.0002	0.0002	0.0002	0.0002	0.0002	0.0002	0.0002	0.0002	0.0007	0.0008	0.0008	0.0008
100	0.0002	0.0002	0.0002	0.0002	0.0002	0.0002	0.0002	0.0002	0.0003	0.0003	0.0004	0.0003
150	0.0003	0.0003	0.0003	0.0003	0.0003	0.0003	0.0003	0.0003	0.0004	0.0003	0.0004	0.0004
200	0.0005	0.0005	0.0005	0.0005	0.0002	0.0002	0.0002	0.0002				

ตารางที่ 40 ผลทดสอบการสูญเสียมวล

PVC 100 ส่วน + EG 15 ส่วน

ปริมาณรังสี ดูดกลืน (kGy)	ความแตกต่างระหว่างมวลที่ซึ่งได้ต่อพื้นที่ผิว (มิลลิกรัม/ตารางเซนติเมตร)											
	บรรยากาศ				สุญญากาศ				ไนโตรเจน			
	ชั้นที่ 1	ชั้นที่ 2	ชั้นที่ 3	ค่ามัธยฐาน	ชั้นที่ 1	ชั้นที่ 2	ชั้นที่ 3	ค่ามัธยฐาน	ชั้นที่ 1	ชั้นที่ 2	ชั้นที่ 3	ค่ามัธยฐาน
0	0.0006	0.0006	0.0006	0.0002	0.0006	0.0006	0.0006	0.0002	0.0006	0.0006	0.0006	0.0002
25	0.0006	0.0007	0.0006	0.0006	0.0004	0.0005	0.0004	0.0004	0.0007	0.0006	0.0008	0.0007
50	0.0008	0.0008	0.0008	0.0008	0.0001	0.0001	0.0001	0.0001	0.0007	0.0006	0.0004	0.0006
75	0.0008	0.0008	0.0007	0.0008	0.0002	0.0002	0.0002	0.0002	0.0003	0.0003	0.0002	0.0003
100	0.0007	0.0007	0.0007	0.0007	0.0002	0.0002	0.0002	0.0002	0.0006	0.0008	0.0007	0.0007
150	0.0007	0.0006	0.0007	0.0007	0.0002	0.0002	0.0002	0.0002	0.0006	0.0005	0.0005	0.0005
200	0.0004	0.0004	0.0004	0.0004	0.0007	0.0007	0.0006	0.0007				

ตารางที่ 41 ผลทดสอบการสูญเสียมวล

PVC 100 ส่วน + DOP 5 ส่วน + EG 5 ส่วน

ปริมาณรังสี ดูดกลืน (kGy)	ความแตกต่างระหว่างมวลที่ชั่งได้ต่อพื้นที่ผิว (มิลลิกรัม/ตารางเซนติเมตร)											
	บรรยากาศ				สุญญากาศ				ไนโตรเจน			
	ชั้นที่ 1	ชั้นที่ 2	ชั้นที่ 3	ค่ามัธยฐาน	ชั้นที่ 1	ชั้นที่ 2	ชั้นที่ 3	ค่ามัธยฐาน	ชั้นที่ 1	ชั้นที่ 2	ชั้นที่ 3	ค่ามัธยฐาน
0	0.0001	0.0001	0.0001	0.0001	0.0001	0.0001	0.0001	0.0001	0.0001	0.0001	0.0001	0.0001
25	0.0002	0.0002	0.0002	0.0002	0.0002	0.0002	0.0002	0.0002	0.0001	0.0002	0.0003	0.0002
50	0.0001	0.0001	0.0001	0.0001	0.0002	0.0002	0.0002	0.0002	0.0006	0.0007	0.0008	0.0007
75	0.0002	0.0002	0.0002	0.0002	0.0004	0.0003	0.0004	0.0004	0.0003	0.0003	0.0003	0.0003
100	0.0002	0.0002	0.0002	0.0002	0.0003	0.0003	0.0003	0.0003	0.0007	0.0007	0.0006	0.0007
150	0.0003	0.0003	0.0003	0.0003	0.0005	0.0004	0.0004	0.0004	0.0006	0.0005	0.0006	0.0006
200	0.0006	0.0006	0.0006	0.0006	0.0004	0.0004	0.0004	0.0004				

ตารางที่ 42 ผลทดสอบการสูญเสียมวล

PVC 100 ส่วน + DOP 5 ส่วน + EG 10 ส่วน

ปริมาณรังสี ดูดกลืน (kGy)	ความแตกต่างระหว่างมวลที่ซั่งได้ต่อพื้นที่ผิว (มิลลิกรัม/ตารางเซนติเมตร)											
	บรรยากาศ				สุญญากาศ				ไนโตรเจน			
	ชั้นที่ 1	ชั้นที่ 2	ชั้นที่ 3	ค่ามัธยฐาน	ชั้นที่ 1	ชั้นที่ 2	ชั้นที่ 3	ค่ามัธยฐาน	ชั้นที่ 1	ชั้นที่ 2	ชั้นที่ 3	ค่ามัธยฐาน
0	0.0002	0.0002	0.0002	0.0002	0.0002	0.0002	0.0002	0.0002	0.0002	0.0002	0.0002	0.0002
25	0.0002	0.0002	0.0002	0.0002	0.0004	0.0004	0.0004	0.0004	0.0001	0.0002	0.0001	0.0001
50	0.0003	0.0003	0.0003	0.0003	0.0004	0.0004	0.0003	0.0004	0.0006	0.0005	0.0008	0.0006
75	0.0003	0.0003	0.0003	0.0003	0.0005	0.0005	0.0005	0.0005	0.0005	0.0006	0.0004	0.0005
100	0.0003	0.0003	0.0003	0.0003	0.0004	0.0005	0.0005	0.0005	0.0006	0.0006	0.0006	0.0006
150	0.0006	0.0006	0.0006	0.0006	0.0005	0.0004	0.0005	0.0005	0.0006	0.0007	0.0008	0.0007
200	0.0006	0.0007	0.0007	0.0007	0.0006	0.0006	0.0007	0.0006				

ตารางที่ 43 ผลทดสอบการสูญเสียมวล

PVC 100 ส่วน + DOP 10 ส่วน + EG 5 ส่วน

ปริมาณรังสี ดูดกลืน (kGy)	ความแตกต่างระหว่างมวลที่ชั่งได้ต่อพื้นที่ผิว (มิลลิกรัม/ตารางเซนติเมตร)											
	บรรยากาศ				สุญญากาศ				ไนโตรเจน			
	ชั้นที่ 1	ชั้นที่ 2	ชั้นที่ 3	ค่ามัธยฐาน	ชั้นที่ 1	ชั้นที่ 2	ชั้นที่ 3	ค่ามัธยฐาน	ชั้นที่ 1	ชั้นที่ 2	ชั้นที่ 3	ค่ามัธยฐาน
0	0.0002	0.0002	0.0002	0.0002	0.0002	0.0002	0.0002	0.0002	0.0002	0.0002	0.0002	0.0002
25	0.0002	0.0002	0.0002	0.0002	0.0007	0.0007	0.0007	0.0007	0.0001	0.0002	0.0001	0.0001
50	0.0003	0.0003	0.0003	0.0003	0.0005	0.0005	0.0005	0.0005	0.0005	0.0002	0.0002	0.0002
75	0.0003	0.0003	0.0004	0.0003	0.0006	0.0007	0.0007	0.0007	0.0005	0.0006	0.0006	0.0006
100	0.0004	0.0004	0.0004	0.0004	0.0006	0.0006	0.0006	0.0006	0.0015	0.0016	0.0014	0.0015
150	0.0005	0.0005	0.0005	0.0005	0.0005	0.0004	0.0004	0.0004	0.0012	0.0008	0.0010	0.0010
200	0.0006	0.0006	0.0006	0.0006	0.0008	0.0007	0.0007	0.0007				

ตารางที่ 44 ผลทดสอบการสูญเสียมวล

PVC 100 ส่วน + DOP 10 ส่วน + EG 10 ส่วน

ปริมาณรังสี ดูดกลืน (kGy)	ความแตกต่างระหว่างมวลที่ซึ่งได้ต่อพื้นที่ผิว (มิลลิกรัม/ตารางเซนติเมตร)											
	บรรยากาศ				สุญญากาศ				ไนโตรเจน			
	ชั้นที่ 1	ชั้นที่ 2	ชั้นที่ 3	ค่ามัธยฐาน	ชั้นที่ 1	ชั้นที่ 2	ชั้นที่ 3	ค่ามัธยฐาน	ชั้นที่ 1	ชั้นที่ 2	ชั้นที่ 3	ค่ามัธยฐาน
0	0.0003	0.0002	0.0002	0.0002	0.0003	0.0002	0.0002	0.0002	0.0003	0.0002	0.0002	0.0002
25	0.0002	0.0002	0.0002	0.0002	0.0008	0.0010	0.0009	0.0009	0.0004	0.0004	0.0005	0.0004
50	0.0008	0.0008	0.0009	0.0008	0.0002	0.0002	0.0002	0.0002	0.0002	0.0002	0.0002	0.0002
75	0.0007	0.0008	0.0008	0.0008	0.0007	0.0008	0.0008	0.0008	0.0004	0.0004	0.0006	0.0004
100	0.0007	0.0007	0.0007	0.0007	0.0010	0.0011	0.0011	0.0011	0.0005	0.0005	0.0006	0.0005
150	0.0005	0.0005	0.0005	0.0005	0.0004	0.0004	0.0004	0.0004	0.0003	0.0004	0.0005	0.0004
200	0.0005	0.0004	0.0005	0.0005	0.0002	0.0003	0.0003	0.0003				